

# مبادئ كيمياء الكم

أ.د. محمد مجدي واصل

أستاذ الكيمياء الفيزيائية بكلية العلوم  
جامعة الأزهر

بِسْمِ اللَّهِ الرَّحْمَنِ الرَّحِيمِ

## الإهداء

إلى روح أبي وأمي.....

إلى زوجتي وأولادي .....

إلى أحفادي .....

( نور الدين ، ومحمد ، وجنى ، وحنين ، وروان )

إلى كل الباحثين والدارسين .....

في مصر والعالم العربي .....

أ . د محمد مجدي واصل

CO<sub>2</sub>



مبادئ  
كيمياء الكم

بطاقة فهرسة  
فهرسة أثناء النشر إعداد الهيئة العامة لدار الكتب والوثائق القومية  
إدارة الشئون الفنية

واصل، محمد مجدي  
مبادئ كيمياء الكم / أ.د. محمد مجدي واصل - ط ١ - القاهرة:  
دار النشر للجامعات، ٢٠٠٨.  
٢٠٨ ص، ٢٤ سم  
تدمك ٨ ٢٥٠ ٣١٦ ٩٧٧  
١ - الكيمياء الكمية  
أ - العنوان  
٥٤١،٢٨

حقوق الطبع: محفوظة للناشر

الناشر: دار النشر للجامعات

رقم الإيداع: ٢٠٠٨/١٦٣٤

الترقيم الدولي: I.S.B.N: 977 - 316 - 250 - 8

الكوود: ٢/٢٠٧

تحذير: لا يجوز نسخ أو استعمال أي جزء من هذا الكتاب  
بأي شكل من الأشكال أو بأية وسيلة من الوسائل  
(المعروفة منها حتى الآن أو ما يستجد مستقبلاً)  
سواء بالتصوير أو بالتسجيل على أشرطة أو أقراص  
أو حفظ المعلومات واسترجاعها دون إذن كتابي من  
الناشر.



دار النشر للجامعات

ص.ب (١٣٠) محمد فريد القاهرة ١١٥١٨  
ت: ٢٦٣٤٧٩٧٦ - ٢٦٣٢١٧٥٣ ف: ٢٦٤٤٠٠٩٤  
E-mail: darannshr@link.net



## المقدمة

إن أول معطيات حضارة الأمم أن تقرأ وتفكر وتدرس بلغتها الأم . ولقد شهدت الحقبة الأخيرة من هذا القرن مجادلات لبعث اللغة العربية كلغة علمية من جديد . وبدأت تشكل ظاهرة مرتبطة أساساً بعمق تمسك العرب والمسلمين بلغتهم ، وارتباط هذه الظاهرة الواضح بالرغبة الملحة بضرورة دخول القرن الحادي والعشرين كأمة مساهمة ومشاركة في الحضارة الإنسانية وليست أمة متفرجة ومستهلكة فقط لهذه الحضارة.

ولقد كانت الظواهر العلمية في القرن التاسع عشر يمكن شرحها باستخدام قوانين نيوتن للحركة والقوانين الفيزيائية . هذه القوانين اتفق على تسميتها بقوانين الميكانيكا الكلاسيكية ، وأمكن تطبيق هذه القوانين على الأجسام الكبيرة نسبياً . ثم ظهرت بعد ذلك أسس وقوانين الديناميكا الحرارية وأمكن شرح الخواص العامة للمواد . ثم بعد اكتشاف الذرات والجزيئات ومكوناتها من بروتونات وإلكترونات وخلافه أصبح إلزاماً على العلماء دراسة ديناميكية الظواهر العلمية وفق مفهوم الجسيمات متناهية الصغر .

وتم تطبيق قوانين الميكانيكا الكلاسيكية لشرح بعض الظواهر العلمية المرتبطة بحركة الذرات والجزيئات ولكن هذه النظرية عجزت عن تحليل وشرح سلوك الأجسام المتناهية في الصغر .

ثم جاء بعد ذلك ماكس بلانك ١٩٠٠ م وهيزنبرج وشرودنجر كل على حدة تمكن من وضع اللمسات الأخيرة لهذه النظرية التي سميت نظرية ميكانيكا الكم ، ويجب أن نوضح هنا أن هذه النظرية أكثر أساساً وأوسع تطبيقاً . فالسائد أن نظرية الكم تطبق فقط في حالة الأجسام متناهية الصغر مثل الذرات وما تحتها . ولكن هذا غير صحيح . فإن نظرية ميكانيكا الكم هي الأساس الذي يمكن تطبيقه على الأجسام متناهية الصغر وأيضاً على الأجسام الكبيرة . حيث إن الميكانيكا الكلاسيكية هي حالة خاصة من النظرية العامة " ميكانيكا الكم " .

وكيمياء الكم هو ذلك الفرع من الكيمياء المهتم أساساً بتطبيق ميكانيكا الكم في شتى مجالات الكيمياء . والهدف الأساسي لكيمياء الكم هو بيان وتفسير لماذا يحدث التغير الكيميائي . وأصبح اعتماد جميع فروع الكيمياء على ميكانيكا الكم أساسياً وضرورياً لشرح وفهم نتائج التجارب العلمية المختلفة وأيضاً لاستنتاج ما إذا كان التغير الكيميائي يمكن حدوثه أم لا . وباختصار أصبحت الكيمياء تتكلم لغة جديدة تماماً تعتمد أساساً على مفردات هذه النظرية الجديدة ميكانيكا الكم .

ولقد مَنَّ الله علينا بتأليف هذا الكتاب لنقدم لطلابنا ولزملائنا الأساتذة مرجعاً بلغتنا العربية في هذا المجال الحيوي والمهم في العلوم . ولقد راعينا عند تأليفنا لهذا الكتاب الخلفية العلمية للطالب وعدم إلمامه التام بالتفاصيل الرياضية التي تمثل الإطار العام لنظرية الكم . ولذلك فقد قدمنا العمليات الرياضية بصورة مفصلة وأجرينا جميع الإثباتات الرياضية كاملة مع شرح توضيحي لكل خطوة .

وقد قدمنا هذا الكتاب في تسعة أبواب وهي : " مقدمة في  
كيمياء الكم - مبادئ رياضية في كيمياء الكم - الصياغة  
العامة لميكانيكا الكم - المهتز التوافقي في كيمياء الكم - ذرة  
الهيدروجين والعزم الزاوي في كيمياء الكم - الطرق التقريبية في  
ميكانيكا الكم - طرق المدار الجزيئي في كيمياء الكم - نظرية  
أوربيتال هيكل الجزيئي في كيمياء الكم - أمثلة محلولة وأسئلة  
عامة " .

وإذ نقدم هذا المجهود المتواضع " مقدمة في كيمياء الكم " إلي  
المكتبة العربية ، نأمل أن نكون قد وفقنا في تقديم مرجع في كيمياء الكم  
يثرى المعرفة ويكون لبنة من لبنات ترسيخ استخدام اللغة العربية في  
جميع المعارف والعلوم والله نسأل أن يوفقنا لما فيه الخير والصلاح  
والحمد لله رب العالمين .

**والله ولي التوفيق .**

**أ.د. محمد مجدي واصل**



# الباب الأول

## مقدمة في كيمياء الكم

### أولاً - المقدمة :

كان الاعتقاد السائد عند بعض الفيزيائيين في القرن التاسع عشر بأن التركيب النظري للفيزياء الكلاسيكية والفيزياء الكلاسيكية هي العلم الذي نما قبل ١٩٠٠ ويتضمن ميكانيكا نيوتن الكلاسيكية ونظرية ماكسويل في الكهربائية والمغناطيسية والأشعة الكهرومغناطيسية والديناميكا الحرارية ونظرية الحركة للغازات .

ثم بعد ذلك أصبح العلم متكاملًا وبمقدوره إعطاء التفسير عن الظواهر الملحوظة ولكن في الربع الأخير من ذلك القرن ، ظهرت نتائج عملية لم تتمكن نظريات الفيزياء الكلاسيكية من تفسيرها .

وهذه النتائج العملية كانت تتعلق بظواهر ذرية وجزئية وقد حدا هذا الأمر آنذاك الباحثين إلى صياغة نظرية جديدة بإمكانها إعطاء تفسير مقبول منسجم مع النتائج العملية . هذه النظرية تسمى بنظرية الكم Quantum theory .

### ثانيًا - إخفاقات الفيزياء الكلاسيكية :

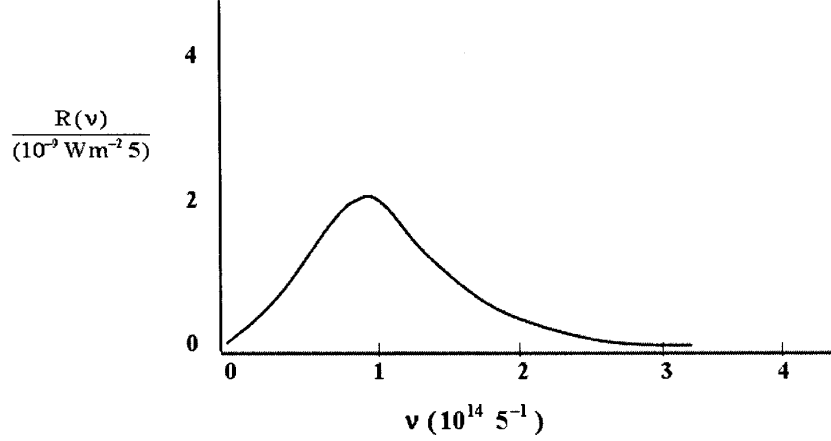
أخفقت الفيزياء الكلاسيكية في تفسير المسائل المتعلقة بالظواهر الذرية والجزئية وهي تتضمن :

#### ( أ ) إشعاع الجسم الأسود :

إن الجسم الأسود هو الجسم أو المادة التي تمتص جميع الأشعة الكهرومغناطيسية الساقطة عليه . وأحسن نموذج تقريبي

للجسم الأسود هو مجوف كروي ذو ثقب صغير جدًا يسمح بدخول الأشعة .

إن أية أشعة تدخل هذا الثقب سيتم حجزها في داخل المجوف وبالتالي امتصاصها والشكل التالي يوضح التوزيع الطاقوي في الجسم الأسود عند درجة حرارة 1500K .



التوزيع الترددي لأشعة الجسم الأسود عند درجة حرارة 4000 k

إن المحاولات النظرية لاستنباط هذا السلوك ثنائية كانت من قبل ألفين عام 1896 ورايلي عام 1900 ولم يحالفهما النجاح . حيث تمكن قين من اشتقاق معادلة ملائمة للنتائج عند الأطوال الموجية القصيرة في حين تمكن رايلي من الحصول على معادلة مناسبة عند الأطوال الموجية الكبيرة .

وإن عدم وجود علاقة رياضية تلائم جميع الأطوال دفعت ماكس بلانك وذلك عام 1900 إلى اقتراح فرضية جديدة مفادها أن ذرات أو جزيئات الجسم الأسود يمكنها بعث أو امتصاص طاقة كهرومغناطيسية ذات تردد  $\nu$  بمقادير معينة أو كميات والمقدار هنا هو  $h\nu$  سمي بثابت بلانك فقط .

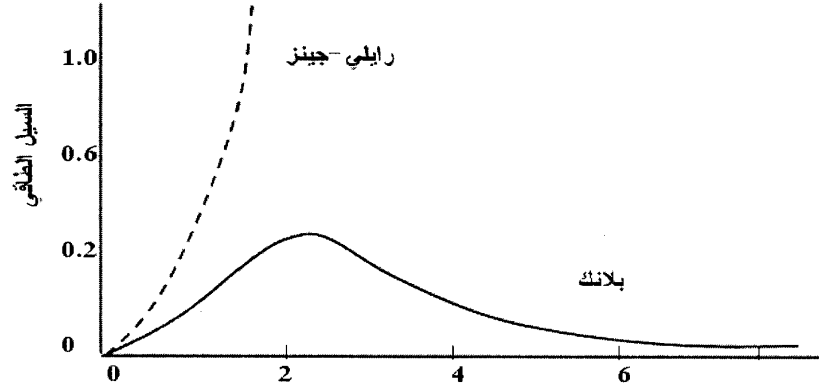
في حين وفقاً للفيزياء الكلاسيكية يفقد أو يكتسب النظام أية مقدار من الطاقة دون تحديد .

وإذا رمزنا  $\Delta E$  لتغير الطاق في ذرة الجسم الأسود نتيجة لانبعاث أشعة كهرومغناطيسية ذات التردد  $\nu$  عندئذ يكون  $\Delta E = h\nu$  وتسمى  $\Delta E$  أيضاً بطاقة الكم **energy of quantum** أما ثابت بلانك  $h$  فيساوي  $6.626 \times 10^{-34} \text{ J s}$  . وباستخدام هذه الفرضية- أي فرضية بلانك- استطاع وضع تعبير رياضي للتوزيع الطاق في الجسم الأسود .

$$R(\nu) = \frac{2\pi h \nu^3}{c^2} (e^{h\nu/kT} - 1)^{-1} \quad \dots (1)$$

حيث  $R(\nu)$  هي دالة تمثل التوزيع الترددي لأشعة الجسم الأسود المنبعثة أما  $k$  فهو ثابت بولتزمان و  $c$  هي سرعة الضوء .

هذه العلاقة تسمى بقانون بلانك وهي تعطي نتيجة منسجمة بصورة جيدة مع التوزيع الطيفي الملحوظ لأشعة الجسم الأسود . والشكل التالي يبين ملاءمة محاولة بلانك النظرية مع النتيجة العملية المبينة في الشكل السابق بعكس محاولة رايلي .



قوانين الأشعة لجسم أسود عند درجة حرارة 4000 k

( ب ) التأثير الكهروضوئي :

إن أول شخص أدرك قيمة فكرة بلانك هو ألبرت أينشتاين الذي استخدم مفهوم التكمم الطاقى **energy of quantization** للأشعة الكهرومغناطيسية لتفسير النتائج العملية في ظاهرة التأثير الكهروضوئي .

والتأثير الكهروضوئي يحدث عند تسليط أشعة كهرومغناطيسية -أي ضوء- على سطح معدن مؤدية إلى انبعاث إلكترونات من المعدن فالإلكترونات تمتص طاقة من الضوء وبذلك تكتسب طاقة كافية لمغادرة المعدن .

وقد بينت نتائج لينارد **Lenard** العملية بأن :  
 أولاً- الإلكترونات تنبعث فقط عندما يكون تردد الضوء الساقط يتجاوز حدًا أدنى من التردد  $\nu_0$  بتردد العتبة **Threshold frequency**



وإن قيمة  $v_0$  تختلف من معدن لآخر وهي تقع ضمن المنطقة فوق البنفسجية لمعظم المعادن.

ثانيًا - زيادة شدة الضوء الساقط سيزيد من عدد الإلكترونات المنبعثة ولكنها لا تؤثر في الطاقة الحركية للإلكترونات المنبعثة .

ثالثًا - زيادة تردد الضوء الساقط سيزيد الطاقة الحركية للإلكترونات المنبعثة، كما أن ملاحظات لينارد على التأثير الكهروضوئي لا يمكن فهمها باستخدام الصورة الكلاسيكية للضوء التي تعتبره على أساس أنه موجة **wave** .

ووجد أن الطاقة في موجة تتناسب مع شدتها **intensity** ولا تعتمد على ترددها وبذا نتوقع ازدياد الطاقة الحركية للإلكترونات المنبعثة كلما زادت شدة الضوء ولا تعتمد على تردد الضوء .

وإضافة إلى ذلك فالصورة الموجية للضوء تتوقع حدوث التأثير الكهروضوئي عند أي تردد بشرط أن يكون الضوء الساقط بدرجة كافية من الشدة وقد اقترح أينشتاين إلى جانب كون الضوء يمتلك خواصا موجية فإنه أيضا يمكن أن يؤخذ على أساس أنه مكون من كيانات جسيمية أي كمات **quanta** .

وكل كم من الضوء له طاقة **hv** ، هذه الكيانات تدعى فوتونات **photons** ، وإن الطاقة في الضوء هي مجموع طاقات الفوتونات المنفردة وبذا فهي مكمأة **quantized** .

ويحدث التأثير الكهروضوئي عندما يرتطم فوتون لاكترون في المعدن . هذا الفوتون سيختفي وإن طاقته **hv** تنتقل إلى الإلكترون . بحيث

إن جزءاً من هذه الطاقة تمتصها الإلكترونات لاستخدامها في التخلص من القوى التي تربطه بالمعدن .

والطاقة الإضافية المتبقية تظهر بشكل طاقة حركية يحملها الإلكترون المنبعث . وحسب قانون حفظ الطاقة عندئذ نكتب :

$$h\nu = \phi + \frac{1}{2} mv^2 \quad \dots (2)$$

حيث  $\phi$  هي دالة الشغل **work function** وهي أقل طاقة يحتاجها الإلكترون للتخلص من المعدن أما  $\frac{1}{2} mv^2$  فهي الطاقة الحركية للإلكترون الطليق . وإذا كانت  $h\nu < \phi$  أي أن الفوتون له طاقة غير كافية في السماح للإلكترون في مغادرة المعدن ومن ثم لا يحدث التأثير الكهروضوئي .  
إن أقل تردد  $\nu_0$  الذي تحدث عنده هذه الظاهرة يعطى بالعلاقة  $\phi = h\nu_0$  وإن قيمة  $\phi$  تختلف من معدن لآخر وتكون أقلها بالنسبة للمعادن القلوية .

### ( ج ) الخطوط الطيفية للذرات :

عندما نضع غاز الهيدروجين في أنبوبة تحت ضغط مائل وتخضعه لتفريغ عالي الفولتية فسوف ينبعث ضوء وعند مروره خلال منشور فسوف يتجزأ إلى سلسلة من الخطوط الطيفية كل منها مرتبط بطول موجي أو تردد مختلف .

ولم تتمكن النظرية الكلاسيكية من إعطاء قيم مضبوطة لترددات الخطوط الطيفية أو حتى قيم قريبة منها .

وخلال الفترة من 1885 إلى 1910 توصل بالمر **Balmer** وريد **Rydberg** وآخرون إلى إيجاد علاقة تجريبية تعطي الترددات المضبوطة لخطوط طيف الهيدروجين .

$$\frac{v}{c} = \frac{1}{\lambda} = R \left( \frac{1}{n_b^2} - \frac{1}{n_a^2} \right) \quad \dots (3)$$

حيث إن :  $n_b = 1, 2, 3, \dots, n_a = 2, 3, 4, \dots, n_a > n_b$

وإن R هو ثابت ريديرج ويساوي  $109.677 \text{ cm}^{-1}$  .

ولم يوجد تفسير لهذه العلاقة التجريبية إلى أن جاء بوهر عام 1913 وبين أن انبعاث ترددات معينة من الضوء من ذرات الهيدروجين يشير إلى أن ذرة الهيدروجين موجودة فقط في حالات طاقة معينة . وبذا فقد افترض بوهر الفروض التالية :

١- إن طاقة الهيدروجين توجد بشكل كمات ، أي أن الذرة تتخذ طاقات منفصلة معينة فقط  $E_1, E_2, E_3, \dots$  وقد سمى بوهر هذه الحالات المسموحة ذات الطاقة الثابتة بالحالات المستقرة **stationary states** للذرة ( ولا يقصد بهذا التعبير على أن الإلكترون يكون عند سكون في الحالة المستقرة ) .

٢- لا تنبعث من الذرة في حالتها المستقرة أشعة كهرومغناطيسية .

٣- إذا حدث انتقال إلكترون من حالة مستقرة  $E_a$  إلى أخرى أقل طاقياً  $E_b$  فإن تردد الضوء المنبعث  $\nu$  يعطى حسب قانون حفظ الطاقة :

$$E_a - E_b = h\nu \quad \dots (4)$$

وبصورة مشابهة يحدث انتقال إلكترون من حالة طاقة واطئة إلى أخرى أعلى طاقياً وذلك بامتصاص ضوء تردده معطى بالمعادلة ( 5 - 4 ) والآن عند ربط معادلتى ( 3 ) و ( 4 ) نحصل على :

$$E_a + E_b = Rhc \left( \frac{1}{n_b^2} - \frac{1}{n_a^2} \right) \quad \dots (5)$$

وهذه المعادلة تشير بقوة إلى أن طاقات الحالات المستقرة لذرة الهيدروجين التي تعطي بـ :

$$E = - Rhc / n^2 \quad ( n = 1,2,3, ..... ) \quad \dots ( 6 )$$

٤- يتحرك الإلكترون في ذرة الهيدروجين في مدار دائري حول ويخضع لقوانين الميكانيك الكلاسيكي وإن طاقة الإلكترون تساوي حاصل جمع طاقته الحركية وطاقة جهد التجاذب الكهروستاتيكي بين إلكترون - نواة.

ووفقاً للميكانيك الكلاسيكي تعتمد الطاقة على نصف قطر المدار ، وطالما أن الطاقة هي مكتملة ( أي موجودة بشكل مضاعفات لـ كم ثابت ) لذا يوجد فقط مدارات معينة مسموحة وقد استخدم بوهلر فرضية أخرى لاختيار المدارات المسموحة .

٥- إن المدارات المسموحة هي تلك التي يكون لها عزم الإلكترون الزاوي  $mvr$  مساوياً لـ  $n\hbar$  ( حيث إن  $\hbar = \frac{h}{2\pi}$  ) وإن  $v \cdot m$  هما كتلة وسرعة الإلكترون . أما  $r$  فهو نصف قطر المدار وإن  $( n = 1,2,3, .... )$  .

ومع هذه الفرضيات تمكن بوهلر من اشتقاق التعبير التالي لمستويات الطاقة في ذرة الهيدروجين :

$$E = - \frac{2\pi^2 me^4}{n^2 h^2} \quad \dots ( 7 )$$

حيث  $e$  شحنة البروتون . وعند مقارنة معادلتني ( 6 ) و ( 7 ) ينتج لنا :

$$R = - \frac{2\pi^2 me^4}{h^3 c} \quad \dots ( 8 )$$

وعند التعويض عن قيم  $m$  ,  $e$  ,  $h$  ,  $c$  فإننا سنحصل على قيمة ثابت ويدبيرج  $R$  منسجمة مع قيمته التجريبية ( العملية ) وهو دليل على أن بوهلر قد أعطى مستويات طاقته مضبوطة لذرة الهيدروجين .

### ثالثاً - فرضية دي بروجلي - De - Broglie hypothesis :

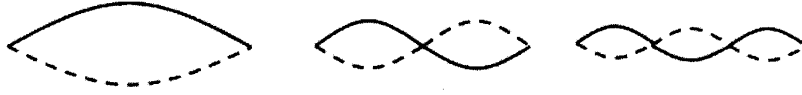
جرت محاولات لتطبيق نظرية بوهر على ذرات تحتوي على أكثر من إلكترون واحد وكانت جميع المحاولات غير ناجحة، وبدأ الشعور بأن هناك خطأ جوهرياً في نظرية بوهر والحقيقة بدأت التصور عند البعض بأن نجاح نظرية بوهر مع ذرة الهيدروجين كان محض مصادفة .

وقد كانت نقطة البداية باتجاه إيجاد الحلول لهذه الصعوبات وإعطاء صورة صحيحة عن سلوك الإلكترون في الذرات والجزيئات . ثم جاءت من قبل الفيزيائي الفرنسي دي بروجلي في عام 1923 وتبعه هايزنبرج وشرودنجر في عام 1926 .

حيث إن حقيقة كون الذرات أو الجزيئات المسخنة تبعث أشعة بترددات معينة فقط تبين أن طاقات الذرات والجزيئات هي كممة ، وإن قيم طاقة معينة ستكون مسموحة .

إن التكمم الطاقى غير موجود في الميكانيكا الكلاسيكية وإن الجسم يمكنه أن يأخذ أي مقدار من الطاقة وإن دخول فكرة التكمم الطاقى في نظرية بوهر جاءت بالتأكيد اعتباطياً ولم يعط بوهر أي سبب عن وجود مدارات وطاقات معينة فقط .

كما أن التكمم Quantization يحدث أيضاً في الحركة الموجية wave motiom فمثلاً في حالة سلك مربوط بثبات من نهايته يمتلك هذا السلك نسقاً كمى quantized modes من التذبذب كما هو مبين في الشكل التالي :



نسق تذبذب سلك مربوط النهايتين

وكما هو الحال مع الضوء حيث تظهر سلوك موجي وجسمي فقد اقترح دي بروجلي بأن المادة **matter** تمتلك أيضاً طبيعة مزدوجة فالإلكترون إضافة إلى ما يملكه من سلوك جسمي فإنه أيضاً يظهر سلوكاً موجياً . وهذا السلوك الموجي للإلكترون يعكس نفسه في المستويات الطاقية المكممة للإلكترونات في الذرات أو الجزيئات .

وفي حالة الفوتون : فإن طاقته  $E$  تساوي  $h\nu$  ووفقاً لنظرية أينشتاين النسبية فإن طاقة الفوتون تساوي  $mc^2$  . حيث  $c$  سرعة الضوء و  $m$  هي الكتلة النسبية للفوتون .

ويمتلك الفوتون كتلة سكون مساوية للصفر ولكن الفوتونات تتحرك دائماً بسرعة  $c$  في الفراغ ولن تكون في سكون . وبذا فعند سرعة  $c$  يمتلك الفوتون كتلة  $m$  غير صفرية . وعند مساواة التعبيرين أعلاه نحصل على :

$$H\nu = mc^2 \quad \dots (9)$$

وبما أن  $\nu = \frac{c}{\lambda}$  حيث  $\lambda$  هو الطول الموجي للضوء ، عندئذ تصبح

$$\frac{hc}{\lambda} = mc^2 \quad \text{معادلة (9) بالشكل التالي :}$$

أو :

$$\lambda = \frac{h}{mc} \quad ( \text{للفوتون} ) \quad \dots (10)$$

وبصورة مشابهة اقترح دي بروجلي أن جسيما ماديا كتلته  $m$  وسرعته  $v$  سيمتلك طولاً موجياً  $\lambda$  معطى بالعلاقة التالية :

$$\lambda = \frac{h}{mv} = \frac{h}{p} \quad \dots (11)$$

( حيث  $p$  هو ضغط الجسيم ،  $p = mv$  ) .

ويكون طول موجي دي بروجلي لإلكترون يتحرك بسرعة  $1.0 \times 10^8 \text{ cm/s}$  هو :

$$\lambda = \frac{6.6 \times 10^{-27} \text{ erg.s}}{(9.1 \times 10^{-28} \text{ g})(1.0 \times 10^8 \text{ cm/s})} = 7 \times 10^{-8} \text{ cm} = 7 \text{ \AA}$$

وإن هذا الطول الموجي هو في حدود الأبعاد الجزيئية وهو الأمر الذي يعطي التأثيرات الموجية أهمية في الحركات الإلكترونية في الذرات والجزيئات .

ولكن في حالة جسيم مرئي **macroscopic particle**

ذي كتلة  $1.0 \text{ g}$  وسرعة  $1.0 \text{ cm s}^{-1}$  نرى بعد استخدام معادلة (11) أن الطول الموجي الناتج يساوي  $7 \times 10^{-27}$  وهو صغير جداً وهذا يشير إلى أن تأثيرات الكم تكون غير ملحوظة بالنسبة لحركة الأجسام الكبيرة .

وقد لاقت فرضية دي بروجلي تأكيدات عملية من قبل دافيسن Davison وجيرمر Germer اللذين لاحظا ظاهرة الحيود عند مرور الإلكترونات خلال صفيحة رقيقة معدنية .

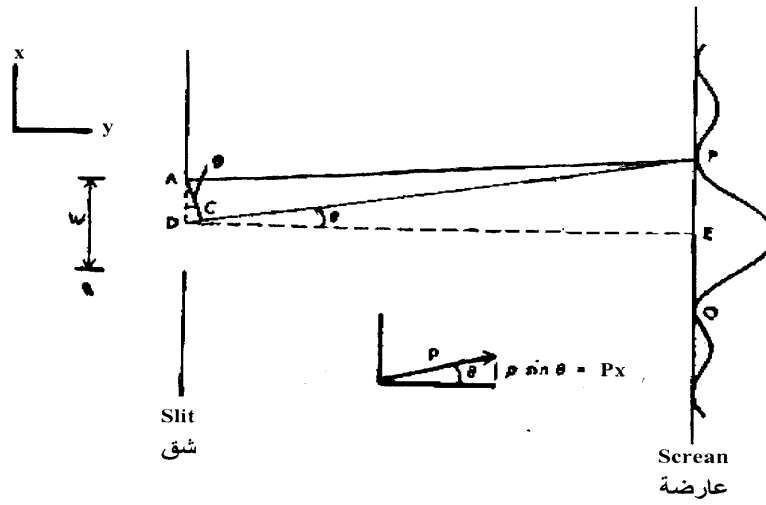
ظاهرة الحيود تؤكد السلوك الموجي للجسيم ( الإلكترون ) . وهكذا فعند ظروف عملية معينة يسلك الإلكترون سلوكاً شبيهاً بجسيم وعند ظروف عملية أخرى يسلك سلوكاً شبيهاً بموجة .

وعلى أية حالة فالإلكترون هو ليس جسيمًا ولا هو موجة . إنه بعض الشيء الذي لا يمكن وصفه بدلالة هيئة أو نموذج يمكن رؤيتها .

#### رابعًا - مبدأ اللادقة - The Uncertainty Principle :

إن الطبيعة المزدوجة أي الجسيمية والموجية للمادة والأشعة قد سلطت تحديدات معينة على المعلومات الممكن الحصول عليها عن النظام المجهرى أو غير المرئى أي المايكروسكوبى **microscopic system** .

ولنأخذ جسيمًا مايكروسكوبيا كالإلكترون مثلا يتحرك بالاتجاه  $Y$  ولنفترض أن قياسنا سيكون على المحور  $x$  للجسيم الذي سنجعله يمر خلال شق **Slit** ضيق ذي عرض  $w$  وبعد ذلك ندعه يسقط على عارضة فلوروسينية كما هو مبين في الشكل التالي :



الحيود عند الشق



وقبل البدء بالقياس أي قبل وصول الجسم للشق يمتلك الجسم سرعة  $v_x$  تساوي صفراً . وبالتالي يكون ضغطه  $P_x$  مساوياً لصفر حيث  $P_x = mv_x$  في الاتجاه . وبما أن الجسم المايكروسكوبي له خواص شبيهة بالموجية لذا نتوقع حيوده **Diffraction** عند الشق .

والمنحنى في الشكل السابق يوضح شدة الموجة عند عدة نقاط على العارضة حيث تظهر فيه نهايات عظمى **maxima** وأخرى دنيا **minima** وهي ناشئة من تداخلات بناءة وتداخلات هدامة بين الموجات القادمة من عدة أجزاء في الشق . والتداخل ينتج من تراكب موجتين مستقلتين خلال نفس المنطقة من الفراغ .

فإذا كانت الموجات متوافقة الطور **in phase** أي حدوث الذروات **crests** سوية فنتوقع حدوث تداخل بناء وظهور موجة قوية ولكن عندما تكون الموجات متفاوتة الطور **out of phase** ( ذروات موجة تتطابق مع بطون **troughs** الموجة الثانية ) فسيحدث تداخل هدام وإن شدة الموجة تتلاشي .

ووجد أن النهايات العظمى الأولى ( **P** , **Q** ) التي تظهر في منحنى الشكل السابق تقع عند مناطق على العارضة حيث الموجات الناشئة من طرفي الشق تنتقل بنصف طول موجي أكثر أو أقل من الموجات الناشئة من مركز الشق .

وبذلك فإن هذه الموجات الناشئة من طرف الشق ستكون بالضبط غير متوافقة الطور وستلغي بعضها البعض ولنركز الآن على النهاية الدنيا عند **p** في الشكل السابق ونكتب شرط الحيود لها كالآتي :

$$\overline{DP} - \overline{AP} = \frac{1}{2} \lambda = \overline{CD}$$

حيث  $C$  قد وضعت بحيث يكون  $\overline{CD} = \overline{AP}$  .

وبما أن المسافة بين الشق والعارضة هي أكبر بكثير من عرض الشق لذا فإن الزاوية  $APC$  تكون قريبة من صفر وإن كلا من الزاويتين  $PAC$  ,  $ACP$  ستكون قريبة من  $90^\circ$  وبالتالي فإن الزاوية  $ACD$  ستكون  $90^\circ$  .

ونجد أن كلا من الزاويتين  $PDE$  ,  $DAC$  تساوي  $90^\circ$  مطروحاً منها زاوية  $ADC$  أي أن هاتين الزاويتين متساويتان لكل منهما بـ  $\theta$  .  
أما  $\sin \theta$  فتساوي :

$$\sin \theta = \frac{\overline{DC}}{\overline{AD}} = \frac{\frac{1}{2} \lambda}{\frac{1}{2} w} = \frac{\lambda}{w} \quad \dots (12)$$

حيث إن الزاوية  $\theta$  التي عندها يحدث حيود النهاية الدنيا الأولى تعطي بـ  $\sin \theta \frac{\lambda}{w}$  والآن نرجع إلى الجسم المايكروسكوبي المار خلال الشق .

ونجد أن الحيود عند الشق يتسبب في تغيير اتجاه حركة الجسم ، فالجسم الذي يحيد بزاوية  $\theta$  ويسقط على العارضة عند  $P$  أو  $Q$  ستكون مركبة  $x$  الضغطة (  $P_x$  ) مساوية  $P \sin \theta$  عند الشق ( انظر الشكل السابق ) .

أما  $P$  فهي ضغط الجسم ويرجى تمييزها عن الرمز  $P$  نقطة النهاية الدنيا في المنحنى، ويتضح من منحنى هذا الشكل أيضاً بأن الحيود الأكثر احتمالاً للجسم هو عند زاوية تقع بين  $\theta$  ,  $-\theta$  .

ولقد ذكرنا في البداية أن مركبة الضغط  $P_x$  قبل الحيود أي قبل دخولها الشق تساوي صفرًا . ولكن بعد الحيود لا نمتلك علمًا مؤكدًا حول قيمتها . وإن اللادقة في  $P_x$  عند الشق نرسم فيها  $\Delta P_x$  تساوي :

$$\Delta P_x = P \sin\theta - ( - P \sin\theta ) = 2P \sin\theta \quad \text{معادلة} \quad \dots (13)$$

وعند التعويض عن  $\sin\theta$  من معادلة (12) في معادلة (13) نحصل على :

$$\Delta P_x = 2P\lambda / w \quad \dots (14)$$

وباستخدام علاقة دي بروجلي (11) يمكننا كتابة معادلة (14) بالصيغة التالية :

$$\Delta P_x \frac{2h}{w} \quad \dots (15)$$

أما بالنسبة لحدية معلوماتنا أو اللادقة في موقع الجسم على المحور  $x$  ونرمز بـ  $\Delta x$  فتعطى بواسطة عرض الشق  $w$  أي أن :

$$\Delta x = w \quad \dots (16)$$

وعندئذ نحصل على :

$$\Delta P_x \Delta x = \frac{2h}{w} \cdot w = 2h \quad \dots (17)$$

أي أن حاصل ضرب اللادقة لموقع وعزم الجسم هو كمية محددة .

بالرغم من أننا قمنا بتحليل تجربة واحدة . إلا أنه لوحظ أن تحليل تجارب عديدة أخرى تؤدي إلى نفس النتيجة وهي أن حاصل ضرب اللادقة في  $x$  ,  $P_x$  لجسيم هو مقارب لمقدار ثابت بلانك أو أكبر منه ، أي أن :

$$\Delta P_x \Delta x \geq h \quad \dots (18)$$

وهذا هو مبدأ اللادقة الذي اكتشفه هايزنبرج عام 1927 .

ويلاحظ أن الحجم الصغير لثابت بلانك يجعل استخدام مبدأ اللادقة للأجسام كبيرة مرئية **macroscopic particles** لا معنى له .

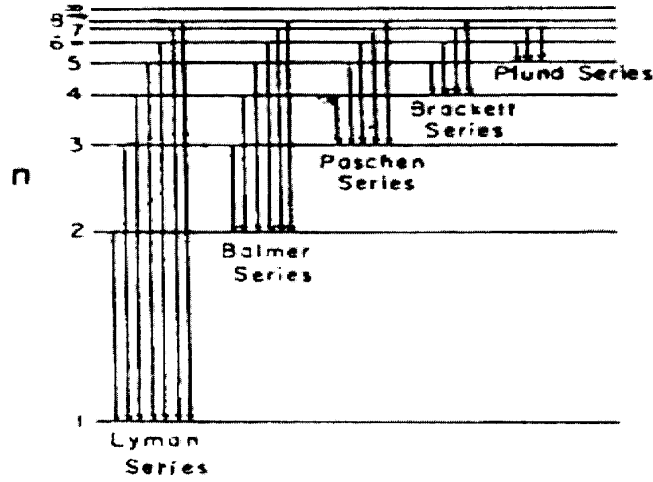
خامساً - أمثلة محلولة :

مثال ( ١ ) :

عين التردد  $\nu$  والطول الموجي  $\lambda$  والعدد الموجه  $\bar{\nu}$  لعدد من الانتقالات الممكنة بين المستويات الطاقة في ذرة الهيدروجين .

الحل :

إن المستويات الطاقة الملحوظة لذرة الهيدروجين قد دونت في الشكل التالي :



وإن سلاسل الخطوط الطيفية الناتجة قد سميت بأسماء مكتشفها .

أما الانتقالات الممكنة لمجموعة من سلاسل الخطوط الطيفية لذرة الهيدروجين فندونها في الجدول أدناه :

المجموعات	k	n	Spectral region
ليمان ( Lyman )	1	2, 3, 4, ...	Ultraviolet فوق البنفسجية
بالمر ( Balmer )	2	3, 4, 5, ...	Visible المرئية
باشن ( Paschen )	3	4, 5, 6, ...	Infrared تحت الحمراء
براكيت ( Brackett )	4	5, 6, 7, ...	Infrared تحت الحمراء

والآن نستخدم معادلة ( 3 ) :

$$\frac{1}{\lambda} = R \left( \frac{1}{n_b^2} - \frac{1}{n_a^2} \right)$$

ولو أخذنا سلسلة بالمر حيث  $n_a = 1$  ونختار قيمتين من  $n_b$  هما  $\infty$  , 2 فإننا سنحصل لـ  $n_a$  ,  $n_b = 2$  النتائج التالية :

$$\frac{1}{\lambda} = 1.097 \times 10^5 \text{ cm}^{-1} \left( \frac{1}{n^2} - \frac{1}{n^2} \right)$$

$$\lambda = 1.22 \times 10^{-5} \text{ cm} = 1.22 \times 10^{-7} \text{ m}$$

$$v = \frac{c}{\lambda} = \frac{2.998 \times 10^8 \text{ ms}^{-1}}{1.22 \times 10^{-7}} = 2.46 \times 10^{15} \text{ s}^{-1}$$

$$\frac{1}{v} = \frac{1}{\lambda} = \frac{1}{1.22 \times 10^{-5} \text{ cm}} = 8.23 \times 10^4 \text{ cm}^{-1}$$

ونحصل لـ  $n_a$  ,  $n_b = \infty$  ما يلي :

$$\frac{1}{v} = \frac{1}{\lambda} = 1.097 \times 10^5 \text{ cm}^{-1} \left( \frac{1}{1^2} - 0 \right) = 1.097 \times 10^5 \text{ cm}^{-1}$$

$$\lambda = \frac{1}{1.097 \times 10^5 \text{ cm}^{-1}} = 9.12 \times 10^{-6} \text{ cm}$$

$$v = \frac{c}{\lambda} = 3.29 \times 10^{16} \text{ s}^{-1}$$

وبالنسبة لسلسلة بالمر حيث  $n_a$  ونختار  $n_b = 3, \infty$ .

$$\bar{v} = (1.097 \times 10^5 \text{ cm}^{-1}) \left[ \frac{1}{2^2} - \frac{1}{3^2} \right]$$

$$= 1.52 \times 10^4 \text{ cm}^{-1} = 1.52 \times 10^6 \text{ m}^{-1}$$

$$\lambda = 6.56 \times 10^{-7} \text{ m}$$

$$v = 4.57 \times 10^{14} \text{ s}^{-1}$$

ولـ  $n_b = \infty, n_a = 2$  يكون :

$$\bar{v} = (1.097 \times 10^5 \text{ cm}^{-1}) \left[ \frac{1}{2^2} - 0 \right] = 2.74 \times 10^4 \text{ cm}^{-1}$$

$$\lambda = 3.65 \times 10^{-7} \text{ m}$$

$$v = 8.22 \times 10^{14} \text{ s}^{-1}$$

وهكذا .....

مثال ( ٢ ) :

ما هو الطول الموجي المرتبط بالإلكترون معجل خلال جهد مقداره 400V علماً بأن كتلة الإلكترون  $m_a$  هي  $9.1 \times 10^{-31} \text{ kg}$  ؟

الحل :

إن الإلكترون المعجل لـ 400 V يمتلك طاقة حركية  $E_{kin}$  مقدارها 400 eV ( حيث eV هي إلكترون فولت وإن  $1 \text{ eV} = 1.602 \times 10^{-19} \text{ J}$  ) إذن :

$$E_{kin} = 400 \text{ eV} = 6.41 \times 10^{-17} \text{ J} = \frac{1}{2} m_e v^2$$

$$v = 1.2 \times 10^7 \text{ ms}^{-1}$$

ومنها نحصل على السرعة v

والآن نستخدم علاقة دي بروجلي (11) كالتالي :

$$\lambda = \frac{h}{m_e v} = \frac{(6.626 \times 10^{-34} \text{ J s})}{(9.1 \times 10^{-31} \text{ kg})(1.2 \times 10^7 \text{ ms}^{-1})}$$

$$= 6.1 \times 10^{-11} \text{ m}$$

ملاحظة :  $J = \text{kg m}^2 \text{ s}^{-2}$

مثال ( ٣ ) :

فيما يلي النتائج التي حصل عليها ميليكان عند دراسته ظاهرة التأثير الكهروضوئي :

الطاقة الحركية للإلكترون $(J) \times 10^{19}$	التردد $\nu (s^{-1}) \times 10^{14}$
3.41	9.58
2.56	8.21
1.95	7.40
1.64	6.91
0.74	5.49

ما هو مقدار طاقة العتبة ثم احسب قيمة ثابت بلانك ؟

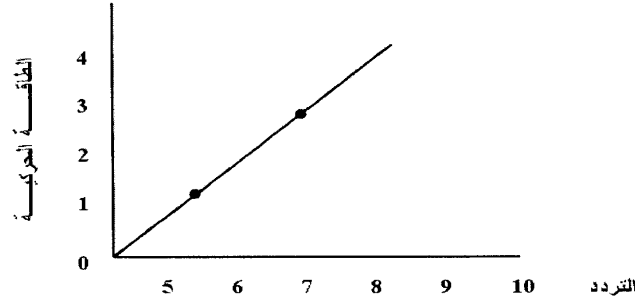
الحل :

نكتب هنا معادلة (2) .  $h\nu = \phi + \frac{1}{2}mv^2$

أو بالشكل التالي :  $h\nu = h\nu_0 + E_{kin}$

( حيث  $E_{kin}$  هي الطاقة الحركية وإن  $\phi = h\nu_0$  ) وعند رسم بياني بين  $E_{kin}$  مقابل  $\nu$  فإننا سنحصل على الشكل التالي :

وإن نقطة تقاطع امتداد الخط المستقيم الناتج لمحور التردد يعطي  $\nu_0$   
 تردد العتبة أما ميل الخط المستقيم فيعطي ثابت بلانك  $h$  . ومن الشكل التالي  
 تظهر قيمة  $\nu_0 = 4.35 \times 10^{15} \text{ s}^{-1}$



أما الميل فهو :

$$\text{الميل} = h = \frac{(2.56 \pm 0.075) \times 10^{-19} \text{ J}}{(8.21 - 5.49) \times 10^{14} \text{ s}^{-1}} = 6.65 \times 10^{-34} \text{ J s}$$

أما طاقة العتبة فتساوي  $h\nu_0$  .

مثال ( ٤ ) :

إذا كان موقع دقيقة من الغبار كتلتها  $1 \mu\text{g}$  معلوماً ضمن  $10^{-3} \text{ mm}$   
 وإلكترون محدد لمنطقة بحجم الذرة ( $1 \times 10^{-10} \text{ m}$ ) قارن بين نتيجتي تطبيق  
 مبدأ اللادقة لهايزنبرج على هاتين الجسيمين :

الحل :

نكتب مبدأ اللادقة لهايزنبرج (18) .

$$\Delta x \Delta P_x \geq$$

وبالنسبة لدقيقة الغبار تكون اللادقة في  $P_x$  كالآتي :



$$\Delta P_x \approx \frac{h}{\Delta x} = \frac{6.625 \times 10^{-34} \text{ J s}}{10^{-6} \text{ m}} = 6.625 \times 10^{-28} \text{ kgms}^{-1}$$

وهذه تعود إلى الدقة في السرعة ( نرسم لها  $\Delta v_x$  ) تساوي :

$$\Delta v_x \approx \frac{6.625 \times 10^{-28} \text{ kg m s}^{-1}}{1 \times 10^{-8} \text{ kg}} = 6.625 \times 10^{-20} \text{ m s}^{-1}$$

وهي على العموم صغيرة جدًا وغير ممكنة القياس بواسطة أجهزة المختبر ، أما بالنسبة للإلكترون فتكتب الدقة في  $P_x$  له كالآتي :

$$\Delta P_x \approx \frac{6.625 \times 10^{-34} \text{ J s}}{1 \times 10^{10} \text{ m}} = 6.625 \times 10^{-24} \text{ kg m s}^{-1}$$

وبما أن كتلة الإلكترون تساوي  $0.9 \times 10^{-30} \text{ kg}$  لذا فإن الدقة في سرعته تعطى كالآتي :

$$\Delta v_x \approx \frac{6.625 \times 10^{-24} \text{ kg m s}^{-1}}{0.9 \times 10^{-30} \text{ kg}} = 7.36 \times 10^6 \text{ m s}^{-1}$$

وهي عالية جدًا بالمقارنة مع تلك العائدة لدقيقة الغبار .



## الباب الثاني

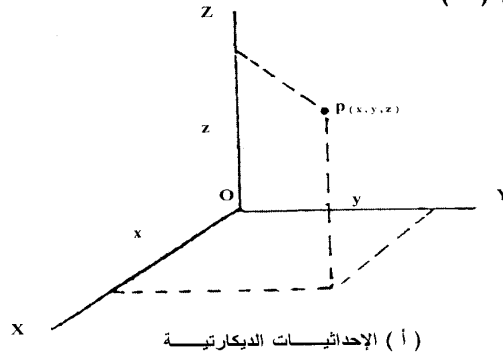
### مبادئ رياضية في كيمياء الكم

#### مبادئ رياضية : Mathematical Preliminaries :

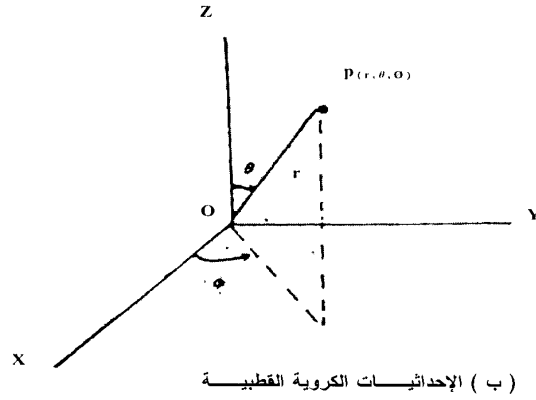
في هذا الجزء سنركز اهتمامنا على بعض الأسس الرياضية التي نحتاجها في توضيح مواد هذا الموضوع المهم وهو كيمياء الكم . لذا يجب التأكد من أنك قد فهمتها جيداً .

#### ١ - الأنظمة الإحداثية : Coordinate Systems :

ونذكر هنا نظامين إحداثيين هما النظام الإحداثي الديكارتي **Coordinates Cartesian** ونظام الإحداثيات القطبية الكروية **Polar Coordinates Spherical** ففي النظام الأول وهو الأكثر شيوعاً يمكن تمثيل نقطة  $P$  في الفراغ بواسطة مسافات  $x, y, z$  على طول ثلاثة محاور  $X, Y, Z$  على التوالي . وكما هو مبين في الشكل التالي ( أ ) أدناه :



وفي الإحداثيات القطبية الكروية يمكن تمثيل النقطة  $P$  في الفراغ بواسطة مسافة  $(r)$  وزاويتين  $(\theta, \phi)$  كما هو مبين في الشكل التالي (ب) .



وبلاحظ أن الإحداثي  $r$  يمثل الخط الواصل بين النقطة  $P$  ونقطة الأصل  $O$  . أما الزاوية  $\theta$  فتدعى بالزاوية القطبية في حين تدعى  $\phi$  بالزاوية السمتية **azimuthal angle** . أما العلاقة بين النظامين الإحداثيين المذكورين أعلاه فيمكن التعبير عنها بالمعادلات التالية :

$$x = r \sin\theta \cos\phi$$

$$y = r \sin\theta \sin\phi$$

$$z = r \cos\theta$$

$$r^2 = x^2 + y^2 + z^2$$

وأيضاً يمكنك إثبات أن :

أما حدود الإحداثيات فهي :

$$0 \leq r \leq \infty , 0 \leq \theta \leq \pi , 0 \leq \phi \leq 2\pi$$

## ٢- المحددات : Determinants :

ولنأخذ المحددة ذات الرتبة  $n$  ( رتبة المحددة هي عدد الصفوف rows أو الأعمدة columns فيه ) .

$$|M| = \begin{vmatrix} M_{11} & M_{12} & M_{13} & \dots & M_{1n} \\ M_{12} & M_{22} & M_{23} & \dots & M_{2n} \\ \dots & \dots & \dots & \dots & \dots \\ M_{n1} & M_{n2} & M_{n3} & \dots & M_{nn} \end{vmatrix}$$

ونعرف هنا المصغر minor للعنصر  $M_{rc}$  على أساس أنه المحددة المتبقية بعد حذف الصف  $r$  والعمود  $c$  الحاويان على الصفر  $M_{rc}$  . أما الإشارة التي تسبق المصغر فنحصل عليها بواسطة  $(-1)^{r+c}$  والتي تسمى بالعامل المرافق cofactor للعنصر .

ومن أجل تعيين قيمة المحددة نستخدم طريقة لابلاز وهي تتوضح بالمثل التالي :

$$\begin{vmatrix} a & b & c \\ d & e & f \\ g & h & i \end{vmatrix} \equiv a \begin{vmatrix} e & f \\ h & i \end{vmatrix} - b \begin{vmatrix} d & f \\ g & i \end{vmatrix} + c \begin{vmatrix} d & e \\ g & h \end{vmatrix}$$

$$= a (ei - fh) - b (di - fg) + c (dh - eg)$$

$$= aei - afh - bdi + bfg + cdh - ceg$$

## ٣- المتجهات : Vectors :

تسمى الكميات التي تمتلك مقداراً واتجاهاً بالكميات الاتجاهية vector quantities مثل القوة أو المجال الكهربائي والتعجيل . أما تلك التي تمتلك فقط

مقداراً فتدعى الكميات الاتجاهية scalar quantities  
مثل  $x^2 + x + 1$  , 15 .

ويوضع عادة فوق الرموز التي تستخدم لتمثيل  
المتجهات علاقة سهم (  $\rightarrow$  ) وذلك لتمييزها عن الرموز  
الأخرى . ومن الملائم العمل مع المتجهات بدلالة مركباتها وهذا  
يتم بتحديد ثلاثة متجهات وحدة .

وهذه المتجهات الثلاث هي متجهة واحدة unit vector  
هو المتجه الذي يكون طوله وحدة واحدة ( متعامدة على  
بعضها البعض يرمز لها  $\vec{i}$  ,  $\vec{j}$  ,  $\vec{k}$  وهي تمتد على  
طول المحاور  $X$  ,  $Y$  ,  $Z$  على التوالي . وهكذا يمكن كتابة  
المتجه  $\vec{A}$  بالشكل التالي .

$$\vec{A} = A_x \vec{i} + A_y \vec{j} + A_z \vec{k}$$

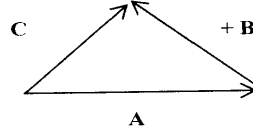
ونكتب متجه  $\vec{r}$  في الشكل السابق ( ب ) كما يلي :

$$\vec{r} = x\vec{i} + y\vec{j} + z\vec{k}$$

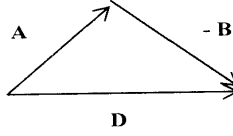
والآن نتطرق بإيجاز لبعض القواعد في المتجهات .

#### ٤- جمع وطرح المتجهات :

إن عملية جمع المتجهات مثل  $\vec{A} + \vec{B} = \vec{C}$  يمكن  
إنجازها بطريقة بيانية أو بطريقة تحليلية . فبيانياً ، نضع  
مؤخرة المتجه  $\vec{B}$  عند رأس المتجه  $\vec{A}$  أما حاصل الجمع الاتجاهي  
 $\vec{C}$  فهو يبدأ عند مؤخرة  $\vec{A}$  وينتهي عند رأس  $\vec{B}$  كما هو مبين  
في الشكل التالي ( أ ) أدناه :



( أ ) الجمع الاتجاهي بالطريقة التحليلية



( ب ) الطرح الاتجاهي بالطريقة التحليلية

وإذا استطعنا كتابة المتجهين  $\vec{A}$  ,  $\vec{B}$  بدلالة مركباتهما . عندئذ يمكن إنجاز عملية الجمع الاتجاهي بطريقة تحليلية وكما يلي :

$$\vec{A} = A_x \vec{i} + A_y \vec{j} + A_z \vec{k}$$

$$\vec{B} = B_x \vec{i} + B_y \vec{j} + B_z \vec{k}$$

ويكون الجمع الاتجاهي :

$$\vec{C} = (A_x + B_x) \vec{i} + (A_y + B_y) \vec{j} + (A_z + B_z) \vec{k}$$

وكما هو الحال مع عملية الجمع الاتجاهي يمكننا معالجة عملية الطرح الاتجاهي  $\vec{A} - \vec{B} = \vec{D}$  بطريقة بيانية انظر الشكل السابق وبطريقة تحليلية :

$$\vec{D} = (A_x - B_x) \vec{i} + (A_y - B_y) \vec{j} + (A_z - B_z) \vec{k}$$

المقدار **Magnitude** أي أن المقدار لأي متجه يعطى بـ:

$$\|A\| = (A_x^2 + A_y^2 + A_z^2)^{1/2}$$

٥- حاصل ضرب المتجهات :

هناك نوعان من حاصل ضرب المتجهات :

( أ ) حاصل ضرب لا اتجاهي لمتجهين يعطي عددًا ويعرف كالاتي :

$$\vec{A} \cdot \vec{B} = AB \cos \theta$$

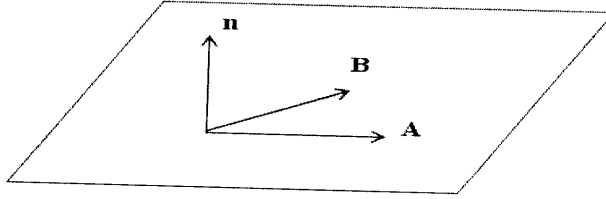
حيث  $B \cdot A$  هما مقدارا المتجهين  $\vec{B}$  ،  $\vec{A}$  ، أما  $\theta$  فهي الزاوية بينهما . وثمة حالة مهمة تبرز لهذا النوع هي :  $\vec{A} \cdot \vec{B} = 0$  ولمثل هذه التجربة يقال عن المتجهين بأنهما متعامدان .

( ب ) حاصل ضرب اتجاهي المتجهين يعطي متجهًا جديدًا عموديًا على المتجهين **Orthogonal** الأصليين . ويعرف كالاتي :

$$\vec{A} \times \vec{B} = \vec{n} \ A B \sin \theta$$

حيث  $\vec{n}$  هو متجه وحدة عمودي على كل من  $\vec{B}$  ،  $\vec{A}$  .

أما اتجاه  $\vec{n}$  فيحدد بواسطة ( قاعدة اليد اليمنى ) وتتلخص بأن نضع الحافة السفلى للكف الأيمن على طول المتجه  $\vec{A}$  ونلوي الأصابع على طول المتجه  $\vec{B}$  وعندئذ يمتد الإبهام باتجاه  $\vec{n}$  كما هو مبين في الشكل التالي . ونتيجة لهذه القاعدة يتضح أن الضرب الاتجاهي لا يكون تبادلياً أي أن :



استخدام قاعدة اليد اليمنى لتعيين اتجاه المتجه  $\vec{A} \times \vec{B}$



$$\vec{A} \times \vec{B} \neq \vec{B} \times \vec{A}$$

وبدلالة مركبات المتجهات يمكن كتابة الضرب الاتجاهي  $\vec{A} \times \vec{B}$  بصيغة محددة كالآتي :

$$\begin{aligned} \vec{B} \times \vec{A} &= \begin{vmatrix} \vec{i} & \vec{j} & \vec{k} \\ A_x & A_y & A_z \\ B_x & B_y & B_z \end{vmatrix} \\ &= \vec{i} \begin{vmatrix} A_y & A_z \\ B_y & B_z \end{vmatrix} - \vec{j} \begin{vmatrix} A_x & A_z \\ B_x & B_z \end{vmatrix} + \vec{k} \begin{vmatrix} A_x & A_y \\ B_x & B_y \end{vmatrix} \\ &= (A_y B_z - A_z B_y) \vec{i} - (A_x B_z - A_z B_x) \vec{j} + (A_x B_y - A_y B_x) \vec{k} \end{aligned}$$

#### ٦- الأعداد المعقدة : Complex Numbers :

تتضمن الأعداد المعقدة جزأين : جزء حقيقي real part وجزء خيالي imaginary part . ويكتبان كالتالي :

$$D = E + iF$$

حيث  $D, E, F$  هي أعداد ، وإن  $i = \sqrt{-1}$  .

وإذا تم استبدال  $i$  بـ  $-i$  فسيستنتج معقد مرادف  $D^*$

له يكون  $D^* = E - iF$  وإن  $DD^* = E^2 + F^2$  ( لأن  $D^* = E^2 - i^2 F^2 = E^2 + F^2$  )

أما قيمة  $D$  magnitude فهو :  $E^2 - (-1) F^2 = E^2$

$$\|D\| = (DD^*)^{1/2}$$

وفي عملية جمع وطرح الأعداد المعقدة تستخدم الأجزاء الحقيقية والخيالية بصور منفصلة .

## ٧- المؤثرات : Operators :

المؤثر هو عبارة عن رمز symbol يشير إلى إنجاز عمل ما على أي شيء يتبعه فمثلاً في التعبير  $\frac{d}{dx} f(x)$  يكون المؤثر ها هنا هو  $\frac{d}{dx}$  وهو يأمرنا بعمل التفاضل نسبة إلى  $x$  لما يتبعه وهو الدالة  $f(x)$  وعادة نميز المؤثرات عن بقية الرموز وذلك بوضع علامة رأس سهم ( $\wedge$ ) فوقها مثل  $\hat{P}$  ,  $\hat{Q}$  .

ويقال عن المؤثرين  $\hat{Q}$  ,  $\hat{P}$  بأنهما متبادلان إذا كان  $\hat{P}\hat{Q} = \hat{Q}\hat{P}$  ولنفترض على سبيل المثال بأن :

$$\hat{P} = \frac{d}{dx}, \hat{Q} = x$$

وأيضاً نفترض أنه عندنا دالة  $f(x) = x^2$  والآن في هذه الحالة هل سيكون  $\hat{P}\hat{Q} = \hat{Q}\hat{P}$  ؟ لنرى :

$$\hat{P}\hat{Q}f(x) = \frac{d}{dx}(x)(x^2) = \frac{d}{dx}x^3 = 3x^2$$

ملاحظة عندما نتعامل مع المؤثرات يجب أن نكون حذرين في ترتيب عمل هذه المؤثرات والمعتاد عليه أن نبدأ الكائن على جهة اليمين ونعمل باتجاه اليسار .

$$\hat{P}\hat{Q}f(x) = (x) \frac{d}{dx}(x^2) = x(2x) = 2x^2$$

وهكذا فإن  $\hat{P}\hat{Q} \neq \hat{Q}\hat{P}$  ونقول هنا أن  $\hat{P}$  ,  $\hat{Q}$  غير متبادلين .

وفي ميكانيك الكم تستخدم المؤثرات الخطية **linear operators** فقط ، ويكون المؤثر خطيًا إذا كان ما يلي صحيحًا :

$$\hat{P} ( af + bg ) = a\hat{P}f + b\hat{P}g$$

حيث **a** , **b** هي ثوابت وإن **f** , **g** هما دالتين .

ويعد  $\frac{d}{dx}$  مؤثرًا خطيًا ولكن المؤثر ليس مؤثرًا خطيًا فمثلاً :

$$\sqrt{3+4} \neq \sqrt{3} + \sqrt{4}$$

ومن المؤثرات التي يكثر استخدامه في ميكانيك الكم هو مؤثر لابلاز  $\nabla^2$  **Laplacian operator** وهو يعرف بدلالة الإحداثيات الديكارتية كالآتي :

$$\nabla^2 \equiv \frac{\partial^2}{\partial x^2} + \frac{\partial^2}{\partial y^2} + \frac{\partial^2}{\partial z^2}$$

وبدلالة الإحداثيات القطبية الكروية يكتب كالتالي :

$$\nabla^2 \equiv \frac{1}{r^2} \frac{\partial}{\partial r} \left( r \frac{\partial}{\partial r} \right) + \frac{1}{r^2 \sin \theta} \frac{\partial}{\partial \theta} \left( \sin \theta \frac{\partial}{\partial \theta} \right) + \frac{1}{r^2 \sin^2 \theta} \frac{\partial^2}{\partial \phi^2}$$

٨- معادلات القيمة الذاتية ( قيمة إيجن ) : **Eigenvalue Equations** :

إن المعادلة من نوع :  $\hat{P}f = cf$  .

تسمى بمعادلة القيمة الذاتية ، وذلك أن  $\hat{P}$  هو المؤثر الذي يؤثر على الدالة **f** وتكون النتيجة ظهور نفس الدالة مضروبة بمقدار ثابت **c** وفي مثل هذه الحالة تدعى الدالة **f** بالدالة الذاتية **eigenfunction** والثابت **c** بالقيمة الذاتية **eigenvalue** ولنأخذ بعض الأمثلة :

المؤثر	الدالة	نتيجة تأثير المؤثر على الدالة	الملاحظات
$\frac{d}{dx}$	$x^2$	$\frac{d}{dx} x^2 = 2x$	لا تكون $x^2$ دالة ذاتية
$\frac{d}{dx}$	$e^{cx}$	$\frac{d}{dx} e^{cx} = ce^{cx}$	تكون $e^{cx}$ دالة ذاتية
$\frac{d}{dx}$	$\cos x$	$\frac{d}{dx} \cos x = \sin x$	لا تكون $\cos x$ دالة ذاتية
$\frac{d^2}{dx^2}$	$\cos x$	$\frac{d}{dx} \left( \frac{d}{dx} \cos x \right) = \frac{d}{dx} (-\sin x) = -\cos x$	تكون هنا $\cos x$ دالة ذاتية

دالتي لاجرنج وهاملتون :

### Functions of Lagrange & Hamilton:

تعرف أولاً السرعة والتعجيل بدلالة الإحداثيات الديكارتية وفي

اتجاه  $x$  بالشكل التالي :

$$x = \frac{dx}{dt} \quad (\text{السرعة}) \quad \dots (19)$$

$$x = \frac{d^2x}{dt^2} = \frac{dx}{dt} \quad \dots (20)$$

أما قانون نيوتن الثاني في الحركة الذي يربط القوة

( على المحور  $x$  نرسم لها  $F_x$  ) المسطرة على جسيم مع تعجيل (  $x$  ) وكتلة

(  $m$  ) ذلك الجسيم فيكتب كالاتي :

$$F_x = mx \quad \dots (21)$$

ونفس الشيء مع الاتجاهين الآخرين فنكتب :

$$F_y = my \quad \dots (22)$$

$$F_z = mz \quad \dots (23)$$

وكذلك يمكن اشتقاق القوى لنظام محافظ ( وهو النظام الذي فيه يكون مجموع طاقتي الجهد والحركية يساوي كمية ثابتة ) من الجهد  $V$  ( إن  $V$  هو دالة للإحداثيات أي أن  $V = V(x, y, z)$  ) وبالشكل التالي :

$$F_x = - \frac{\partial V}{\partial x} \quad \dots (24)$$

$$F_y = - \frac{\partial V}{\partial y} \quad \dots (25)$$

$$F_z = - \frac{\partial V}{\partial z} \quad \dots (26)$$

ولنظام يتكون من  $n$  من الجسيمات فإن الطاقة الحركية الكلية  $T$  ( نذكر بأن طاقة الحركية لجسيم واحد وفي اتجاه واحد هي  $(\frac{1}{2} m u_x^2)$  ستكون :

$$\begin{aligned} T &= \frac{1}{2} m_1 (x_1^2 + y_1^2 + z_1^2) + \frac{1}{2} m_2 (x_2^2 + y_2^2 + z_2^2) \\ &= \frac{1}{2} \sum_i m_i (x_i^2 + y_i^2 + z_i^2) \end{aligned} \quad \dots (27)$$

ويربط المعادلات (21) , (24) , (27) فإن معادلة نيوتن في الحركة يمكن كتابتها بالصيغة التالية :

$$\frac{d}{dt} \frac{\partial T}{\partial \dot{x}_i} + \frac{\partial V}{\partial x_i} = 0 \quad \dots (28)$$

وبصورة مشابهة نكتب :

$$\frac{d}{dt} \frac{\partial T}{\partial \dot{y}_i} + \frac{\partial V}{\partial y_i} = 0 \quad \dots (29)$$

$$\frac{d}{dt} \frac{\partial T}{\partial \dot{z}_i} + \frac{\partial V}{\partial z_i} = 0 \quad \dots (30)$$

وقد أدخل لاكرانج الدالة  $L$  التي تساوي الفرق بين طاقتي  
الحركية والجهد ، أي :

$$L = T - V \quad \dots (31)$$

وعلى هذا الأساس يمكن إعادة كتابة المعادلات ( 28 ) , ( 29 ) , ( 30 )  
بالشكل التالي :

$$\frac{d}{dt} \frac{\partial L}{\partial \dot{X}_i} + \frac{\partial L}{\partial X_i} = 0 \quad \dots (32)$$

$$\frac{d}{dt} \frac{\partial L}{\partial \dot{y}_i} + \frac{\partial L}{\partial y_i} = 0 \quad \dots (33)$$

$$\frac{d}{dt} \frac{\partial L}{\partial \dot{Z}_i} + \frac{\partial L}{\partial Z_i} = 0 \quad \dots (34)$$

حيث إن  $\frac{\partial V}{\partial X_i} = \frac{\partial V}{\partial y_i} = \frac{\partial V}{\partial Z_i}$  وكذلك :

$$\frac{dT}{dx_i} = \frac{\partial T}{\partial y_i} + \frac{\partial T}{\partial Z_i} = 0$$

وهذه المعادلة تدعى بمعادلات لاكرانج في الحركة .

مثال ( ٥ ) :

اكتب معادلات نيوتن لحركة جسيم منفرد كتلته  $m$  واقع في مجال  
الجذب الأرضي المعروف  $V = mgz$  حيث  $z$  هو الارتفاع و  $g$  تمثل ثابت  
العجلة الأرضية ثم استخدم معادلات لاكرانج في الحركة لإثبات معادلات  
نيوتن التي نحصل عليها في هذا المجال .  
الحل :

$$F_x = m \ddot{x} = - \frac{\partial V}{\partial X} = - \frac{\partial (mgz)}{\partial x} = 0$$

$$F_y = m \ddot{y} = - \frac{\partial V}{\partial y} = - \frac{\partial (mgz)}{\partial y} = 0$$

$$F_x = m \ddot{z} = -\frac{\partial V}{\partial Z} = -\frac{\partial (mgz)}{\partial Z} = mg$$

ومن هذا يتضح أن القوة والتعجيل الوحيد هما اللذان يقعان في اتجاه  $z$  كما متوقع . والآن نكتب دالة لاجرنج كالتالي :

$$L = T - V = \frac{1}{2} m ( \dot{x}^2 + \dot{y}^2 + \dot{z}^2 ) - mgz$$

ونطبق معادلات لاجرنج في الحركة ( واحدة بعد الأخرى ) وكما يلي :

$$\frac{d}{dt} \frac{\partial L}{\partial \dot{x}} - \frac{\partial L}{\partial x} = \frac{d}{dt} ( m \dot{x} ) - 0 = 0$$

ومنها نحصل على :

$$m \ddot{x} = 0$$

$$\frac{d}{dt} \frac{\partial L}{\partial \dot{y}} - \frac{\partial L}{\partial y} = \frac{d}{dt} ( m \dot{y} ) - 0 = 0$$

$$m \ddot{y} = 0 \quad \text{عندئذ يكون :}$$

$$\frac{d}{dt} \frac{\partial L}{\partial \dot{z}} - \frac{\partial L}{\partial z} = \frac{d}{dt} ( m \dot{z} ) - mg = 0 \quad \text{وأخيراً :}$$

$$m \ddot{z} = mg \quad \text{ومنها نحصل على :}$$

وهذه النتائج متشابهة في الحالتين .

والآن نرجع إلى معادلات لاجرنج في الحركة :

وبدلاً من كتابتها بدلالة  $x, y, z$  ( أو  $r, \theta, \phi$  ) يكون من المناسب استخدام إحداثيات عامة يمكنها أن تأخذ دور أي متغير للموقع في الفراغ .

هذه الإحداثيات تعرف بشكل  $q_i$  أما السرعة المقابلة لها فهي  $q_i = dq_i / dt$  ولنظام يحوي  $N$  من الجسيمات يوجد  $3N$  من

هذه الإحداثيات و  $3N$  من السرعة المقابلة لها . وهكذا فإن معادلات لاجرانج للحركة تكتب بالصيغة التالية :

$$\frac{d}{dt} \frac{\partial L}{\partial \dot{q}_i} - \frac{\partial L}{\partial q_i} = 0 \quad \dots (35)$$

ولجسيم كتلته  $m$  نكتب العزم  $p_i$  بدلالة الإحداثيات العامة كالآتي :

$$P_i = m\dot{q}_i \quad \dots (36)$$

ونكتب أيضاً دالة لاجرانج  $L$  لنظام محافظ بدلالة الإحداثيات العامة بالشكل التالي :

$$L = T - V$$

$$= \sum_i \left[ \frac{1}{2} m \dot{q}_i^2 - V(q_i) \right] \quad \dots (37)$$

وإذا أجرينا تفاضلاً لهذه المعادلة نسبة إلى السرعة  $\dot{q}_i$  فإننا سنحصل على :

$$\frac{\partial L}{\partial \dot{q}_i} = m\dot{q}_i = P_i \quad \dots (38)$$

الآن نعرف دالة هاملتون  $H$  ( من دون الدخول في اشتقاق رياضية ) بالشكل التالي :

$$H = \sum_i^{3N} p_i \dot{q}_i - L \quad \dots (39)$$

إن الدالة الهاملتونية لنظام محافظ تمتلك ميزة مهمة من أنها تمثل الطاقة الكلية للنظام . ولإثبات ذلك نتبع ما يلي :

نعوض في معادلة (39) عن  $L$  بـ  $T - V$  وعن  $P_i$  بـ  $\frac{\partial L}{\partial \dot{q}_i}$  كما في معادلة (38) لنحصل على :

$$H = \sum_i \dot{q}_i \frac{\partial L}{\partial \dot{q}_i} - T + V \quad \dots (40)$$



وبما أن الحد  $\frac{\partial L}{\partial q_i}$  يساوي  $\frac{\partial T}{\partial q_i}$  ( لأن  $V$  هي دالة للإحداثيات فقط وأن تفاضلها نسبة إلى السرعة يساوي صفرًا ) عندئذ تصبح معادلة (40) بالشكل التالي :

$$H = \sum_i q_i \frac{\partial T}{\partial q_i} - T + V \quad \dots (41)$$

ونجد أن الحد الأول في جهة اليمين من المعادلة أعلاه يساوي  $2T$  ونثبت ذلك كما يلي :

نأخذ جسيما مجيزا على الحركة باتجاه واحد ونكتب الطاقة الحركية له :

$$T = \frac{1}{2} m q_i^2$$

وتفاضلهما نسبة إلى السرعة  $q_i$  يعطي :

$$\frac{\partial T}{\partial q_i} = m q_i$$

وبضرب الطرفين في  $q_i$  ينتج لنا :

$$q_i \frac{\partial T}{\partial q_i} = m q_i^2 = 2 \left( \frac{1}{2} m q_i^2 \right) = 2T$$

وهكذا يكون :

$$\sum_i q_i \frac{\partial T}{\partial q_i} = 2T$$

وبالتالي تصبح معادلة (41) كالآتي :

$$H = 2T - T + V = T + V \quad \dots (42)$$

وهكذا نرى أن  $H$  تكافئ الطاقة الكلية للنظام .

والآن نرجع إلى معادلة ( 39 ) لإيجاد معادلات هاملتون في الحركة وكما يلي :

$$\frac{\partial H}{\partial p_i} = q_i \quad \dots (43)$$

( لأن  $L$  هي دالة للإحداثيات والسرعة وبذا فإن تفاضلها نسبة إلى الزخم يساوي صفراً ) وكذلك نحصل على :

$$\frac{\partial H}{\partial q_i} = - \frac{\partial L}{\partial q_i} \quad \dots (44)$$

وإذا عوضنا عن  $\frac{\partial L}{\partial C_i}$  من معادلة ( 38 ) في معادلة ( 35 ) سينتج

لنا :

$$\frac{d}{dt} P_i = \frac{\partial L}{\partial q_i} \quad \dots (45)$$

وعندئذ نكتب معادلة ( 44 ) بالشكل التالي :

$$\frac{\partial H}{\partial q_i} = - \frac{d}{dt} P_i \equiv P_i \quad \dots (46)$$

$$\left( P_i = \frac{dP_i}{dt} \right) .$$

وتدعى معادلتنا (43) ، (46) بمعادلات هاملتون في الحركة .

مثال ( ٦ ) :

ما هي دالة هاملتون ومعادلات الحركة لجسيم في مجال الجذب الأرضي الذي ورد في المثال السابق ؟

الحل :

نكتب دالة لاجرنج ( كما هو الحال في المثال السابق ) الآتي :

$$L = T - V \\ = \frac{1}{2} m ( x^2 + y^2 + z^2 ) - mgz$$

وإذا جعلنا  $z = q_3$  ,  $y = q_2$  ,  $x = q_1$  فإن المعادلة أعلاه بدلالة

الإحداثيات العامة تصبح كالتالي :

$$L = \frac{1}{2} m \sum_{i=1}^3 \dot{q}_i^2 - \frac{1}{2} \sum_{i=1}^3 m q_i^2 + mgq_3$$

$$= \frac{1}{2} m \sum_{i=1}^3 q_i^2 + mg q_3$$

وهذه المعادلة يمكن كتابتها بدلالة الزخوم (  $P_i = mq_i$  ) كالآتي :

$$H = \frac{1}{2m} \sum_i (mq_i)^2 + mg q_3$$

$$= \frac{1}{2m} \sum_i P_i^2 + mg q_3$$

والآن نطبق معادلات هاميلتون (43) ، (46) في الحركة وكما يلي :

$$\begin{aligned} \frac{\ell H}{\ell P_i} &= \frac{\ell}{\ell P_i} \left( \frac{1}{2m} P_i^2 + mg q_3 \right) \\ &= \frac{P_i}{m} = \frac{mq_i}{m} = q_i \end{aligned}$$

وكذلك :

$$= \frac{\ell H}{2\ell q_i} = \frac{\ell}{\ell P_i} \left( \frac{1}{2m} \sum_i P_i^2 + mg q_3 \right)$$

وطالما أن  $i = 1, 2, 3$  لذا يمكننا أن نكتب ( انظر معادلة (46) ) الآتي :

$$\frac{\ell H}{\ell q_i} = - P_i = 0 \quad \text{or} \quad mq_i = 0 \quad ( m \ddot{x} = 0 )$$

$$\frac{\ell H}{\ell q_2} = - P_2 = 0 \quad \text{or} \quad mq_2 = 0 \quad ( m \ddot{y} = 0 )$$

$$\frac{\ell H}{\ell q_3} = - P_3 = mg \quad \text{or} \quad m\ddot{q}_3 = mg \quad ( m \ddot{z} = mg )$$

وهذه نفس النتائج التي حصلنا عليها سابقاً .

1. The first part of the document is a list of names and addresses of the members of the committee.

## الباب الثالث

### الصياغة العامة لميكانيكا الكم

إن حقيقة إظهار الإلكترونات والجسيمات المايكروسكوبية الأخرى للطبيعة المزدوجة أي سلوك مادي وموجي ، تشير إلى أن الإلكترونات لا تتقبل قوانين الميكانيك الكلاسيكي التي تمت صياغتها من السلوك الملحوظ للأجسام المرئية .

أما نوع الميكانيك الذي تخضع له الأنظمة المايكروسكوبية فيسمى بميكانيك الكم وإن الأفكار الأساسية لميكانيكا الكم قد وضعت على شكل فرضيات **postulates** . أما اختبار مصداقية هذه الفرضيات فكان يستند على درجة التوافق بين القيم المحسوبة على أساسها مع تلك المحصل عليها عملياً في المختبر .

وسنتطرق أولاً في هذا الجزء إلى هذه الفرضيات ومن ثم سنأخذ مثلاً يوضح لنا كيفية تطبيق هذه الفرضيات .  
فرضيات ميكانيكا الكم :

#### الفرضية الأولى :

( أ ) يمكن وصف أية حالة **state** للنظام بصورة كاملة بواسطة دالة رياضية  $\psi$  ( تُلَفَظ بِسَاي **Psi** ) تعرف بالدالة الموجية **Wave function** أو دالة الحالة **State function** وهي دالة لإحداثيات جسيمات النظام وهي أيضاً دالة للزمن .  
( ب ) تمتلك الدالة  $\psi$  خاصية هي أن  $\psi\psi^*d\tau$  تمثل احتمالية إيجاد الجسيم في حجم صغير  $d\tau$  ( أن  $\psi^*$  هو المرادف المعقد

**complex conjugate** للدالة  $\psi$  ) فمثلاً لنظام يحوي جسيمين فإنه وفقاً للفقرة ( أ ) أعلاه تكون دالة الحالة  $\psi$

$$\psi = \psi (x_1, y_1, z_1, : x_2, z_2, t)$$

حيث  $x_1, y_1, z_1$  هي إحداثيات الجسيم الأول و..... إلخ.

وعندما تكون الخصائص الملحوظة غير معتمدة على الزمن فإن الدالة التي تصف مثل هذه الحالة تسمى بدالة الموجة غير المعتمدة على الزمن ( أي أنها دالة للإحداثيات فقط ) أما الكمية  $\psi^2 d\tau$  أو  $\psi\psi^* d\tau$  ( الواردة في الفقرة ( ب ) فهي تعطينا التفسير الفيزيائي للدالة  $\psi$  :

فقد اقترح ماكس بورن **Max Born** في عام 1926 أن  $|\psi^2|$  تعطي احتمالية إيجاد جسيم كالإلكترون مثلاً عند مواقع محددة من الفراغ وبصورة أكثر شمولية استخدم الكمية  $\psi\psi^*$  . للتعبير عن الاحتمالية مجيزين بذلك الدالة  $\psi$  أن يكون لها مرادف معقد .

وحتى نكون أكثر دقة نفترض أن احتمالية إيجاد الجسيم في حجم صغير  $d\tau$  معطاة بـ  $\psi\psi^* d\tau$  إن  $\psi$  هي دالة رياضية ولكنها تصف نظاماً فيزيائياً لذا يجب أن تكون دالة مقبولة فيزيائياً وطالما أن  $\psi\psi^* d\tau$  تمثل احتمالية إيجاد الإلكترون فإن قيود الدالة المقبولة هي :

أولاً - أن تكون أحادية القيمة ( أي تكون لها قيمة واحدة عند كل نقطة في الفراغ ) .

ثانياً - يكون مربع الدالة قابلاً للتكامل ، أي أن :

$$\int \psi\psi^* d\tau < \infty$$

ثالثاً - إذا كان التكامل  $\int |\psi|^2 d\tau$  (أو  $\int \psi \psi^* d\tau$ ) مساوياً واحد فإن  $\psi$  يقال لها بأنها دالة متناسقة **normalized function** .

**الفرضية الثانية :**

لكل متغير ديناميكي **dynamic variable** ملحوظ أو كمية فيزيائية ملحوظة في النظام يوجد مؤثر هيرميتي خطي **Linear Hermitian operator** مصاحب له . وإن الخواص الفيزيائية لهذا المتغير الملحوظ يمكن استنباطها من الخواص الرياضية لذلك المؤثر .

ونلاحظ أن الخاصية الهيرميتية هي ضرورية لضمان حصولنا دائماً على أجوبة حقيقية في حساب الكميات الفيزيائية الملحوظة . وعند هذه المرحلة لا توجد حاجة في الدخول في شرح الهيرميتية .

وسوف نبحث الآن كيف نقرر صيغة أو شكل مؤثر يمثل ملحوظاً معلوماً والجواب على هذا هو اتباع القواعد التالية :

( أ ) يكتب التعبير الكلاسيكي للكمية الفيزيائية الملحوظة بدلالة الإحداثيات الديكارتية والعزوم والزمن .

( ب ) تجري التبديلات التالية :

أولاً - تترك الإحداثيات والزمن على حالها من دون تغيير .

ثانياً - يبذل العزم  $P_q$  ( المعبر عنه بالإحداثيات الديكارتية ) بواسطة المؤثر

التفاضلي :  $-i\hbar \left( \frac{\partial}{\partial q} \right)$  ( حيث  $\hbar$  تساوي  $\frac{h}{2\pi}$  وإن  $h$  هو ثابت

بلانك ) ولتأخذ المثال التالي :

إن الطاقة  $E$  لنظام ذي جسيم منفرد تساوي مجموع الطاقة

الحركية  $T$  وطاقة الجهد  $V$  .

$$E = T + V$$

$$= \frac{1}{2} m (v_x^2 + v_y^2 + v_z^2) + V(x, y, z)$$

ولأجل التعبير عن الطاقة ( المتغير الديناميكي ) بدلالة الضغوط

والإحداثيات نستخدم  $p_z = mv_z$ ,  $p_y = mv_y$ ,  $p_x = mv_x$  ويصبح عندنا :

$$E = \frac{1}{2m} (P_x^2 + P_y^2 + P_z^2) + V(x, y, z)$$

إن تعبير الطاقة  $E$  المعطى بدلالة الضغوط والإحداثيات يسمى

بهاملتوني النظام أو الدالة الهاملتونية  $H$  للنظام .

والآن نأخذ أولاً الطاقة الحركية ثم نطبق القاعدة ( ب )

المذكورة أعلاه :

$$T = \frac{1}{2m} (P_x^2 + P_y^2 + P_z^2)$$

$$\begin{aligned} \hat{T} &= \frac{1}{2m} \left\{ \left[ -i\hbar \left( \frac{\partial}{\partial x} \right) \right]^2 + \left[ -i\hbar \left( \frac{\partial}{\partial y} \right) \right]^2 + \left[ -i\hbar \left( \frac{\partial}{\partial z} \right) \right]^2 \right\} \\ &= -\frac{\hbar^2}{2m} \left\{ \frac{\partial^2}{\partial x^2} + \frac{\partial^2}{\partial y^2} + \frac{\partial^2}{\partial z^2} \right\} = -\frac{\hbar^2}{2m} \nabla^2 \end{aligned}$$

أما دالة الجهد  $V$  فهي دالة للإحداثيات فقط ولهذا استناداً إلى

القاعدة ( ب ) ستبقى على حالها . وبالتالي سنكتب :

$$\hat{E} = \hat{H} = \hat{T} + \hat{V}$$

أي أن :

$$H = \frac{\hbar^2}{2m} \nabla^2 + V \quad \dots (47)$$



### الفرضية الثالثة :

نفترض أنه عندنا نظام موصوف بدالة ذاتية  $\psi_n$  eigenfunction .  
وعليه فعندما نقيس الكمية الفيزيائية الملحوظة ( أو للاختصار نسميها  
الملحوظ ) العائدة للمؤثر A فإن القيم الممكنة التي نحصل عليها هي قيم  
ذاتية  $a_n$  eigenvalues للمعادلة التالية :

$$A\psi_n = a_n \psi_n \quad \dots (48)$$

وهذه الفرضية تعني أنه إذا قسنا الملحوظ a فسوف يمكننا الحصول  
على قيم مضبوطة له فقط عندما يكون النظام في حالة ذاتية eigen state  
لمؤثر مرتبط بالمحوظ a .

فمثلاً نأخذ مسألة حساب الطاقات E ( وهي القيم الذاتية  $a_n$  )  
المسموح بها في نظام ذري أو جزيئي موصوف بدالة ذاتية  $\psi$  لمؤثر الطاقة  
الكلية ( أي المؤثر الهاملتوني H ) وكما يلي :

حيث في هذه الحالة نعيد كتابة معادلة ( 48 ) بالشكل التالي :

$$\hat{H} \psi_n = E_n \psi_n \quad \dots (49)$$

والآن نعوض معادلة (47) في معادلة (49) حيث ينتج

$$\left( \frac{\hbar^2}{2m} \nabla^2 + V \right) \psi = 0 \quad \text{لجسيم منفرد الآتي :}$$

ويمكن ترتيب هذه المعادلة إلى الصيغة التالية :

$$\frac{\hbar^2}{2m} \nabla^2 \psi + (E - V) \psi = 0 \quad \dots (50)$$

وهذه المعادلة تسمى بمعادلة شرودنجر اللازمونية ( أي غير المعتمدة  
على الزمن ) لنظام ذي جسيم منفرد .

#### الفرضية الرابعة :

في حالة كون النظام غير موصوف بدالة ذاتية فإن معدل **average** عدد كبير من القياسات الملحوظ (مرتبط بمؤثر  $A$ ) يمكن التعبير عنه بالمعادلة التالية :

$$\langle A \rangle_{\text{average}} = \frac{\int \psi_x^* A \psi_s d\tau}{\int \psi_x^* \psi_s d\tau} \quad \dots (51)$$

حيث  $\psi$  هي الدالة الموجية للنظام (وهي ليست دالة ذاتية) أما  $\langle A \rangle_{av}$  فتدعى بقيمة التوقع **expectation value** أو معدل القيمة **average value** للكمية المرتبطة بالمؤثر  $\hat{A}$ . ولنأخذ المثال التالي :

مثال ( ٧ ) :

بين أن الدالات الموجية  $\psi_n = \left(\frac{2}{a}\right)^{1/2} \sin \frac{n\pi x}{a}$  ليست دالات ذاتية لمؤثر العزم  $\hat{P}_x$ . ثم احسب معدل القيمة للكمية المرتبطة بالمؤثر  $\hat{P}_x$  لجسيم يتحرك على اتجاه  $x$  في داخل صندوق (حيث  $a$  هنا تمثل طول الصندوق) .

**الحل :**

أولاً - نجعل المؤثر  $\hat{P}_x$  (وهو يساوي  $-i\hbar \frac{\partial}{\partial x}$ ) يؤثر في الدالات  $\psi_n$  وإن كانت نتيجة هذا التأثير ظهور نفس الدالة  $\psi_n$  مضروبة بمقدار ثابت . فإن في مثل هذه الحالة ستكون دالات ذاتية ولكن عدم ظهورها يعني أنها ليست دالات ذاتية ولنرى كالاتي :

$$\begin{aligned}\hat{P} \psi_n &= -i\hbar \left( \frac{\partial}{\partial x} \right) \left[ \left( \frac{2}{a} \right)^{1/2} \sin \frac{n\pi x}{a} \right] \\ &= -i\hbar \left( \frac{n\pi}{a} \right) \left( \frac{2}{a} \right)^{1/2} \cos \frac{n\pi x}{a}\end{aligned}$$

وهكذا يتضح أن  $\psi_n$  ليست دالات ذاتية للمؤثر  $\hat{P}_x$  .

ثانيًا - نوجد معدل القيمة باستخدام معادلة (51) وكما يلي :

$$\langle \hat{P}_x \rangle_{av} = \frac{\int_0^a \psi_n \hat{P}_x \psi_n dx}{\int_0^a \psi_n^2 dx}$$

ونحسب البسط فقط لأن المقام يساوي واحدًا لدالات متتاسقة

( انظر الفرضية الأولى ) :

$$\begin{aligned}\langle \hat{P}_x \rangle_{av} &= \int_0^a \left[ \left( \frac{2}{a} \right)^{1/2} \sin \frac{n\pi x}{a} \right] \left[ -i\hbar \left( \frac{n\pi}{a} \right) \left( \frac{2}{a} \right)^{1/2} \cos \frac{n\pi x}{a} \right] dx \\ &= -i\hbar \left( \frac{2n\pi}{a^2} \right) \int_0^a \sin \frac{n\pi x}{a} \cos \frac{n\pi x}{a} dx \\ &= \left( -\frac{2i\hbar n\pi}{a^2} \right) \left( \frac{a}{2n\pi} \right) \left[ \sin^2 \frac{n\pi x}{a} \right]_0^a = 0\end{aligned}$$

وهذا يشير إلى أن عددًا كبيرًا في القياسات لـ  $\hat{P}_x$  على أنظمة متماثلة

سيعطي معدل قيمة للعزم تساوي صفرًا .

وهناك عدد آخر من الفرضيات ولكننا سنكتفي بالفرضيات

الأربع المذكورة أعلاه حيث ستكون كافية من أجل اشتقاق والحصول

على خواص العديد من أنظمة ميكانيكا الكم . ومن بين أنظمة ميكانيكا

الكم البسيطة هي :

## Free Particle

نظام جسيم حر

## particle in a box

وجسيم في صندوق

والمهتز التوافقي **Harmonic oscillator** والدوار الصلب **Rigid Rotator** وذرة الهيدروجين وإلخ . وسوف نتطرق إلى تطبيقات الفرضيات على بعض من هذه الأنظمة .

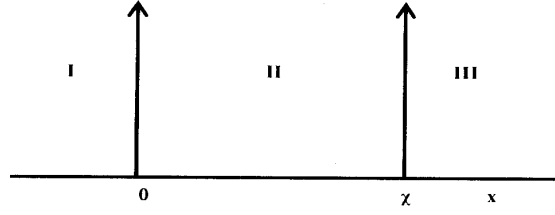
### جسيم في صندوق :

إن أبسط الأنظمة ذات الأهمية الفيزيائية هو ذلك لجسيم مجبر على الحركة في منطقة محددة من الفراغ وقد أخذنا هذه المنطقة المحددة على أساس أنها صندوق متوازي المستطيلات أبعاده الثلاث هي  $a, b, c$  . إن تحديد منطقة حركة الجسيم في الفراغ يتم بجعل الطاقة الكامنة خارج تلك المنطقة تساوي  $\infty$  ( ما لانهاية ) .

أما الطاقة الجهد ضمن المنطقة المذكورة أعلاه فهي ثابتة ( وقد أخذت على أساس أنها تساوي صفراً عند كل نقطة من مسار الجسيم ما عدا النقاط الحدودية أي عند نقاط تلاقي أضلاع الصندوق .

والآن إذا استخدمنا النظام الإحداثي الديكارتي وجعلنا مركزه عند أحد رؤوس الصندوق . عندئذ ستكون المحاور  $X, Y, Z$  ممتدة على طول أضلاع الصندوق  $a, b, c$  على التوالي .

ولننظر أولاً في حركة جسيم ذي كتلة  $m$  مجبر على الحركة في اتجاه واحد . وليكن الاتجاه  $x$  ومثالاً على هذا النظام هو إلكترون مجبر على حركة في رابطة بين ذرتين والشكل التالي يوضح طاقة الجهد لمثل هذا النظام .



طاقة الجهد لجسيم في صندوق (وعلى محور واحد)

والآن ندون سلوك طاقة الجهد كالآتي :

تكون  $V(x) = 0$  عندما تكون  $0 < x < a$  .

وتكون  $V(x) = \infty$  عندما تكون  $x \leq 0$  أو  $x \geq a$  .

والآن سوف ننظر في الحالات ذات طاقة ( هذه الحالات تسمى الحالات المستقرة **stationary state** ) ولهذه الحالات يتم إيجاد الدالات الموجية  $\psi$  وذلك بحل معادلة شرودنجر (50) والتي نكتبها لهذا النظام بالصيغة التالية :

$$\frac{\hbar^2}{2m} = \frac{d^2\psi}{dx^2} + (E - V) \psi = 0 \quad \dots (52)$$

ولنأخذ أولاً احتمال وجود الجسيم خارج الصندوق حيث  $V = \infty$

وتصبح المعادلة أعلاه كالآتي :

$$\frac{\hbar^2}{2m} = \frac{d^2\psi}{dx^2} + (E - \infty) \psi = 0 \quad \dots (53)$$

وبما أن  $E$  هي بوضوح صغيرة جداً بالمقارنة بـ  $\infty$  لذا ستهمل

وتأخذ المعادلة أعلاه الشكل التالي :

$$\frac{\hbar^2}{2m} = \frac{d^2\psi}{dx^2} \quad \dots (54)$$

وهكذا يتضح بأنه لا توجد دالة ( محددة وأحادية القيمة وبالإمكان تكامل مربعها ) يمكنها أن تتناسب معادلة (54) وهذا يعني أن  $\psi = 0$  خارج الصندوق وبالتالي فإن احتمالية إيجاد الجسيم في تلك المنطقة تساوي صفراً  $(\psi^2 dx = 0)$  . وهذا هو ما نتوقعه .

أما الآن فنأخذ افتراض وجود الجسيم داخل الصندوق حيث  $V = 0$  وهنا تصبح معادلة شرودنجر (52) كما يلي :

$$\frac{d^2\psi}{dx^2} = -\frac{2mE}{\hbar^2} \psi \quad \dots (55)$$

ولأجل حل هذه المعادلة . نحتاج إلى دالة معينة عند إجراء التفاصيل لها مرتين ستعطينا مرة الدالة نفسها ولكنها ستكون مضروبة بكمية ثابتة ولنجرب الدالة الثانية :

$$\psi_{(x)} = A \sin \alpha x \quad \dots (56)$$

حيث  $A$  و  $\alpha$  هما ثابتان .

وإذا أجرينا تفاضلاً لمعادلة (56) مرتين نسبة إلى  $x$  فإننا سنحصل على :

$$\begin{aligned} \frac{d^2\psi}{dx^2} &= -\alpha^2 A \sin \alpha x \\ &= \alpha^2 \psi \quad (\psi = A \sin \alpha x \text{ حيث إن}) \end{aligned} \quad \dots (57)$$

وعند مقارنة معادلتنا (55) و (57) فإننا سنرى بأن معادلة (56) هي الحل لمعادلة (55) عندما يكون :

$$\alpha^2 = \frac{2mE}{\hbar^2} \quad \dots (58)$$

ولحد الآن لم نضع أية قيود على القيم المسموحة بـ  $E$  في المعادلة الأخيرة ، وعلى أية حال فهناك قيود على الحلول عند حافات الصندوق ،

حيث  $\psi = 0$  وحسب الفرضية الأولى من أن الدالة يجب أن تكون أحادية القيمة وهذا يعني أنه عند  $x = a$  ,  $x = 0$  ( أي عند الحافات ) يكون :

$$\psi_{(x)} = \psi_{(0)} = 0 \quad \dots (59)$$

$$\psi_{(x)} = \psi_{(a)} = 0 \quad \dots (60)$$

القيد المعطى في معادلة (59) لا يضيف لنا شيئاً جديداً . ولكن لنرى ماذا يحدث عندما نستخدم القيد الحدودي في معادلة (60) .

$$\psi_{(a)} = A \sin \alpha a = 0 \quad \dots (61)$$

وهذه المعادلة الأخيرة تكون صحيحة فقط عندما يكون :

$$\alpha a = n\pi \quad (n = 1, 2, 3, \dots \text{ حيث إن } ) \quad \dots (62)$$

والآن عند التعويض عن  $\alpha$  من معادلة (62) في معادلة (58) ينتج لنا :

$$\frac{n^2 \pi^2}{a^2} = \frac{2mE}{\hbar^2} \quad \dots (63)$$

وبما أن  $\hbar = \frac{h}{2\pi}$  لذا تصبح المعادلة (63) بالشكل التالي :

$$\frac{n^2 \pi^2}{a^2} = \frac{8\pi^2 mE}{\hbar^2}$$

ومنها نحصل على :

$$E = \frac{n^2 \hbar^2}{8ma^2} \quad (n = 1, 2, 3, \dots) \quad \dots (64)$$

( يسمى  $n$  بعدد الكم quantum number ) والمعادلة (64) أعلاه توضح بأن الطاقة ستمتلك فقط قيمًا منفصلة discrete values وهكذا ففي مسائل ميكانيكا الكم ، يؤدي تطبيق الشروط أو القيود الحدودية على حلول معادلة شرودنجر إلى ظهور أعداد الكم .

والتي بدورها تحدد الطاقة لقيم منفصلة . والآن نرجع إلى معادلة (56) ونعوض فيها عن  $\alpha$  من معادلة (62) لنحصل على :

$$\psi = A \sin \frac{n\pi x}{a} \quad \dots (65)$$

ولنحاول إيجاد الثابت  $A$  . ومن أجل عمل هذا نستخدم شرط التناسق المعطى في الفرضية الأولى :

وينص هذا الشرط على " أن احتمالية إيجاد الجسيم في مكان ما من الفراغ يساوي واحدًا " . وفي مثالنا هنا يكون هذا الفراغ ممثلاً بإبعاد الصندوق على اعتبار أن الجسيم غير مسموح له أن يكون خارجه . وهكذا نكتب :

$$1 = \int_0^a |\psi|^2 dx = |A|^2 \int_0^a \sin^2 \frac{n\pi x}{a} \quad \dots (66)$$

وعند الاستعانة بالعلاقة الجبرية التالية :

$$\sin^2 x = \frac{1}{2} (1 - \cos 2x)$$

يمكننا عندئذ تبسيط معادلة (66) كالآتي :

$$\begin{aligned} 1 &= \frac{|A|^2}{2} \int_0^a \left( 1 - \cos \frac{2n\pi x}{a} \right) dx \\ &= \frac{|A|^2}{2} (a) \end{aligned}$$

وعندئذ سيكون :

$$|A| = \left( \frac{2}{a} \right)^{1/2} \quad \dots (67)$$

إن ثابت التناسق  $A$  يمكن أن يأخذ  $\left( \frac{2}{a} \right)^{1/2}$  أو  $-\left( \frac{2}{a} \right)^{1/2}$

ولكن الشائع هو تبني الجذر التربيعي الموجب . وهكذا فإن النتائج النهائية لجسيم مجبر على الحركة في اتجاه واحد داخل الصندوق وتحت جهد  $V = 0$  هي :



$$E_x = \frac{n_x^2 h^2}{8ma^2} (a)$$

$$\Psi_{(x)} = \left( \frac{2}{a} \right)^{1/2} \sin \frac{n\pi x}{a} \quad \dots (68)$$

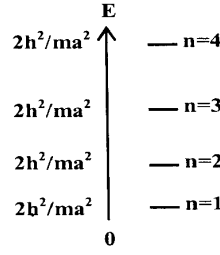
وعند النظر في معادلة الطاقة  $E_x$  السابقة يمكننا أن نستنتج أنه كلما زادت قيمة  $a$  فإن الطاقة الحركية  $E$  ستقل ( لأن طاقة الجهد صفر ).

وإذا كانت جميع العوامل الأخرى ثابتة ، فإنه كلما كبرت المنطقة التي يتحرك فيها الإلكترون فإنه سيمتلك طاقة حركية أقل . فإذا كلما زاد التحدد في منطقة حركة الإلكترون ( mor localized ) . فإنه سيمتلك طاقة حركية أكبر .

وكما هو معروف أن انخفاض طاقة نظام زيادة ثابتية أو استقرارية **stability** ذلك النظام . وهكذا فإن الإلكترونات العائدة لمنطقة محددة ستعمل على جعل النظام أقل استقرارية من تلك الإلكترونات في نظام لها حرية الحركة فوق منطقة أكبر ( delocalized ) ومن الأمثلة على النوع الأخير هو حركة الإلكترونات في الجزيئات العضوية الأورمانية .

المقارنة بين صورتي ميكانيكا الكم والميكانيكا الكلاسيكية :

أولاً - فالجسيم وفقاً للصورة الكلاسيكية يمكنه التحرك هنا وهناك في الصندوق وبأي طاقة غير سالبة القيمة ، أي أن  $E$  كلاسيكياً تأخذ أي عدد من صفر وصاعداً أما الطاقة  $E$  وفقاً لميكانيكا الكم فإنها تقبل فقط القيم المعطاة بالمعادلة (64) لاحظ الشكل التالي :



فالطاقة إذن هي مكممة تأخذ قيما محددة منفصلة في ميكانيكا الكم في حين تكون مستمرة في الميكانيكا الكلاسيكية .

ثانيًا - إن أقل طاقة **minimum energy** وفقًا للصورة الكلاسيكية تساوي صفرًا ولكن في ميكانيكا الكم يمتلك الجسيم في الصندوق أقل طاقة تساوي  $\frac{h^2}{8ma^2}$  وهي أكبر من صفر وهذه الطاقة تسمى طاقة النقطة صفر ( zero-point energy ) .

كما أن ظهور هذه القيمة هو نتيجة متوقعة من مبدأ اللادقة لهايزنبرج :

فلو افترضنا أن الجسيم يمكنه أن يمتلك طاقة تساوي صفرًا ، وبما أن طاقة الجسيم داخل الصندوق جميعها طاقة حركية فهذا يعني أن سرعته  $v_x$  وبالتالي ضغطه  $P_x = mv_x$  سوف يساوي صفرًا أيضًا .

ومن هذا يتضح أننا عندنا ضغط محدد بدقة ويساوي صفرًا وبالتالي فإن اللادقة في الضغط  $\Delta P_x$  سوف تساوي صفرًا . ووفقًا لمبدأ اللادقة المعطى في معادلة (18) ستكون اللادقة في الموقع  $\Delta x$  مساوية  $\infty$  .

ولكننا نعرف أن الجسيم هو في مكان ما بين  $x = 0$  ,  $x = a$  لذا فإن  $\Delta x$  لا يمكنها أن تتجاوز  $a$  وعلى هذا الأساس لا يمكن للطاقة أن تساوي صفراً لجسيم في صندوق .

ولنتأكد من مبدأ اللادقة للحالة المستقرة **ground state** التي لها  $n = 1$  وهي أقل حالة طاقة . ولنأخذ  $\Delta x = a$  . أما طاقة الحالة المستقرة هنا تكون جميعها طاقة حركية ( على اعتبار أن طاقة الجهد تساوي صفراً ) أي أن :

$$\frac{h^2}{8ma^2} = \frac{1}{2}mv_x^2 = \frac{m^2v_x^2}{2m} = \frac{P_x^2}{2m}$$

ومنها نحصل على :

$$P_x = \pm \frac{h}{2a}$$

وهي تعود إلى حركة الجسيم إلى اليمين أو إلى اليسار .  
وعندئذ تعطى اللادقة في الضغط  $\Delta p_x$  كالآتي :

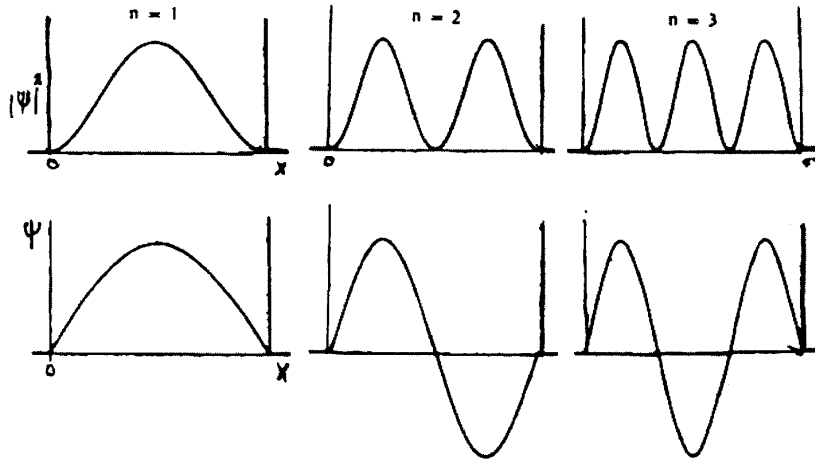
$$\Delta P_x = \frac{h}{2a} - \left( -\frac{h}{2a} \right) = \frac{h}{a}$$

وإن حاصل ضرب اللادقة في الموقع الضغط هو :

$$\Delta_x \Delta_{p_x} = a \cdot \frac{h}{a} = h \quad \dots (69)$$

وهذه المعادلة في توافق مع معادلة مبدأ اللادقة (18) .

**ثالثاً -** إن الشكل التالي يعطي تمثيلاً تخطيطياً للدالات الموجية  $\psi$  وتراكيز الاحتمالية  $|\psi|^2$  للحالات المستقرة الثلاث الأولى وهي الحالات التي لها : (  $n = 1, 2, 3$  ) لجسيم في صندوق ومازلنا نعمل باتجاه واحد :



الدالات الموجبة وتراكيز الاحتمالية لأقل ثلاث حالات مستقرة لجسيم في صندوق

وفقاً للتصور الكلاسيكي تكون جميع المواقع لجسيم في صندوق محتملة بالتساوي أي أن تراكيز الاحتمالية يكون منتظماً ومتجانساً على عكس ما يظهره ميكانيكا الكم ، حيث إن تركيز الاحتمالية هو غير منتظم ولكنه يظهر تذبذبات **Oscillations** .

وعند الحد الذي فيه تكون أعداد الكم  $n$  الواصفة للنظام كبيرة جداً تقترب التذبذبات في  $|\psi|^2$  من بعضها البعض أكثر فأكثر وبالتالي تصبح بدرجة من التقارب يصعب تمييزها أي أننا سنصل إلى نتيجة مماثلة لتلك الكلاسيكية ذات تركيز الاحتمالية المنتظم .

رابعاً - إن النقطة التي عندها تصبح الدالة الموجية صفراً تسمى العقدة **node** وإن عدد العقد يزداد بمقدار 1 لكل زيادة في  $n$  .

ولقد أبدت وجهة النظر الكلاسيكية دهشة كبيرة حول وجود العقد في الدالات :

فمثلاً لحالة  $n = 2$  يصعب إدراك كيف يمكن أن يتواجد الجسيم في النصف الأيسر من الصندوق أو في نصفه الأيمن .

وما ينبغي ذكره هنا هو التأكيد على أن سلوك المايكروسكوبية كالإلكترونات لا يمكن تفسيره بدلالة نماذج يمكن للشخص تصورها إن تخيلها وسنكتفي بهذا القدر من المقارنة بين صورتَي ميكانيكا الكم الكلاسيكي . ولنأخذ بعضاً من الأمثلة :

مثال ( ٨ ) :

احسب الطاقة بين أقل مستويين طاقيين (  $n = 1$  ,  $n = 2$  ) الكل مما يلي :

أ- كرة كتلتها  $50 \text{ g}$  تتحرك على طريق طوله  $100 \text{ m}$  .

ب- دقيقة ألفا ( أي نواة الهيليوم ) المتحركة في أنبوبة المعجل طولها  $10 \text{ m}$  .

ج- إلكترون في رابطة طولها  $1.5 \text{ A}^\circ$  (  $1.5 \times 10^{-10} \text{ m}$  ) وثم قارن بين النتائج .

الحل :

أ- نستخدم معادلة ( 64 ) .

$$E_1 = \frac{(1)^2 (6.626 \times 10^{-34} \text{ Js})^2}{8 (50 \times 10^{-3} \text{ kg}) (100 \text{ m})^2} = 1.097 \times 10^{-70} \text{ J}$$

$$E_2 = 2^2 E_1 = 4.388 \times 10^{-70}$$

ب- كتلة دقيقة ألفا نحصل عليها من :

$$m = \frac{M}{N} = \frac{4 \times 10^{-3}}{6.023 \times 10^{23}} = 0.66 \times 10^{-26} \text{ kg}$$

والآن نجد  $E_1, E_2$  بنفس الطريقة في ( أ ) :

$$E_1 = \frac{(1)^2 (6.626 \times 10^{-34} \text{ Js})^2}{8 (0.66 \times 10^{-26} \text{ kg}) (10 \text{ m})^2} = 8.26 \times 10^{-44} \text{ J}$$

$$E_2 = 4E_1 = 33.0 \times 10^{-44} \text{ J}$$

$$E_1 = \frac{(1)^2 (6.626 \times 10^{-34} \text{ Js})^2}{8 (9.1 \times 10^{-31} \text{ kg}) (1.5 \times 10^{-10})^2} = 2.68 \times 10^{-18} \text{ J} \quad (\text{ج})$$

$$E_2 = 4E_1 = 10.7 \times 10^{-18} \text{ J}$$

ويتضح مما تقدم أعلاه بأن المسافات الطاقية بين المستويات ذات الأهمية هي فقط المبينة في ( ج ) . في حين تكون أ و ب صغيرة جدًا .

فإذا حولنا الطاقات من وحدات جول بالجزء ( الناتجة أعلاه ) إلى وحدات جول بالمول فإن  $E_1, E_2$  في ( ج ) تعطي كالآتي :

$$E_1 = 2.68 \times 10^{-18} \text{ J / molecule} = (2.68 \times 10^{-18}) (6.023 \times 10^{23}) = 1.61 \times 10^6 \text{ J mol}^{-1}$$

$$E_2 = 10.7 \times 10^{-18} \text{ J / molecule} = 6.44 \times 10^6 \text{ J mol}^{-1}$$

وبالمقارنة مع الطاقة الحرارية  $RT$  , Thermal energy عند درجة حرارة الغرفة ( أي إنها  $RT = 2.48 \times 10^3 \text{ J mol}^{-1}$  ) يتبين أن الطاقات التي تخص جسيمات صغيرة محددة لمناطق صغيرة هي التي تكتسب أهمية في القياسات والتشخيص .

مثال ( ٩ ) :

أوجد الطول الموجي للضوء المنبعث عندما يقفز جسيم ( في صندوق وعلى اتجاه واحد ) كتلته  $1 \times 10^{-27} \text{ g}$  من  $n = 2$  إلى  $n = 1$  علماً بأن  $a = 3 \text{ \AA}$ .

الحل :

إن ربط معادلة ( 4 - 5 ) :  $E_2 - E_1 = h\nu$  بالمعادلة ( 64 ) يعطي :

$$h\nu = E_2 - E_1 = \frac{2^2 h^2}{8ma^2} - \frac{1^2 h^2}{8ma^2}$$

ومنها نحصل على :

$$\nu = \frac{3h}{8ma^2}$$

وبما أن  $\lambda = \frac{c}{\nu}$  إذن سيكون :

$$\lambda = \frac{8ma^2 c}{3h} = \frac{8(1 \times 10^{-27} \text{ g})(3 \times 10^{-8} \text{ cm})^2 (3 \times 10^{10} \text{ cm}^{-1} \text{ s})}{3(6.626 \times 10^{-27} \text{ erg.s})}$$

$$= 1 \times 10^{-5} \text{ cm} = 1000 \text{ \AA}$$

لقد تطرقنا حتى الآن لحركة الجسيم في الصندوق على اتجاه واحد .  
ولنحاول الآن أخذ هذا النظام على الاتجاهات الثلاث وكما يلي :  
إن معادلة شرودنجر لهذا النظام ( حيث  $V$  داخل الصندوق تساوي صفراً ) نكتب بالشكل التالي :

$$-\frac{h^2}{2m} \left( \frac{d^2 \psi}{dx^2} + \frac{d^2 \psi}{dy^2} + \frac{d^2 \psi}{dz^2} \right) = E\psi \quad \dots (70)$$

وهذه معادلة تفاضلية جزئية بثلاثة متغيرات ولأجل حلها  
نستخدم طريقة فصل المتغيرات separation of variables  
ولنحاول استخدام البديل التالي :

$$\psi = X(x)Y(y)Z(z) \quad \dots (71)$$

حيث إن التفاضل الجزئي لهذه المعادلة يعطي :

$$\left. \begin{aligned} \frac{\ell^2 \psi}{\ell x^2} &= X''(x)Y(y)Z(z) \\ \frac{\ell^2 \psi}{\ell y^2} &= X(x)Y''(y)Z(z) \\ \frac{\ell^2 \psi}{\ell z^2} &= X(x)Y(y)Z''(z) \end{aligned} \right\} \quad \dots (72)$$

( حيث تعني  $X''(x)$  المشتقة الثانية أي  $\frac{\ell^2 \psi}{\ell x^2}$  وهكذا )

وعند تعويض معادلة (72) في معادلة (70) ومن قسمة طرفي المعادلة الناتجة على  $X(x)Y(y)Z(z)$  فنحصل على :

$$\frac{1}{X} \frac{d^2 X}{dx^2} + \frac{1}{Y} \frac{d^2 Y}{dy^2} + \frac{1}{Z} \frac{d^2 Z}{dz^2} + \frac{2mE}{\hbar^2} = 0 \quad \dots (73)$$

وهذه هي متطابقة تكون صحيحة لجميع قيم  $z, y, x$  ويمكن فصلها إلى ثلاث :

$$\left. \begin{aligned} \frac{1}{X} \frac{d^2 X}{dx^2} + \frac{2mE_x}{\hbar^2} &= 0 \\ \frac{1}{Y} \frac{d^2 Y}{dy^2} + \frac{2mE_y}{\hbar^2} &= 0 \\ \frac{1}{Z} \frac{d^2 Z}{dz^2} + \frac{2mE_z}{\hbar^2} &= 0 \end{aligned} \right\} \quad \dots (74)$$

وكما هو واضح من أعلاه . إننا من أجل تحقيق المتطابقة فقد حللنا

الحد الثابت  $\frac{2mE}{\hbar^2}$  وذلك بكتابة  $E$  بالشكل التالي :

$$E = E_x + E_y + E_z \quad \dots (75)$$



وإن كل معادلة في (74) هي نفس معادلة شرودنجر  
انظر معادلة (55) لجسيم في صندوق وعلى اتجاه واحد . وعلى هذا  
الأساس يمكننا أن نكتب :

$$X(x) = \left( \frac{2}{a} \right)^{1/2} \sin \frac{n_x \pi x}{a}, E_x = \frac{n_x^2 h^2}{8ma^2} \quad \dots (76)$$

$$Y(y) = \left( \frac{2}{b} \right)^{1/2} \sin \frac{n_y \pi y}{b}, E_y = \frac{n_y^2 h^2}{8mb^2} \quad \dots (77)$$

$$Z(z) = \left( \frac{2}{c} \right)^{1/2} \sin \frac{n_z \pi z}{c}, E_z = \frac{n_z^2 h^2}{8mc^2} \quad \dots (78)$$

وبالتالي فإن :

$$\begin{aligned} \psi &= X(x) Y(y) Z(z) \\ &= \left( \frac{8}{abc} \right)^{1/2} \sin \frac{n_x \pi x}{a} \sin \frac{n_y \pi y}{b} \sin \frac{n_z \pi z}{c} \quad \dots (79) \end{aligned}$$

$$\begin{aligned} E &= E_x + E_y + E_z \\ &= \frac{h^2}{8m} \left( \frac{n_x^2}{a^2} + \frac{n_y^2}{b^2} + \frac{n_z^2}{c^2} \right) \quad \dots (80) \end{aligned}$$

وعندما تكون حافات الصندوق متساوية الأطوال أي أن :  $a = b = c$   
فمعادلتا (79) , (80) تكتب كالتالي :

$$\psi = \left( \frac{2}{a} \right)^{3/2} \sin \frac{n_x \pi x}{a} \sin \frac{n_y \pi y}{b} \sin \frac{n_z \pi z}{c} \quad \dots (81)$$

$$E = \frac{h^2}{8ma^2} (n_x^2 + n_y^2 + n_z^2) \quad \dots (82)$$

إن أعداد الكم  $n_x$  ,  $n_y$  ,  $n_z$  تتغير بصورة مستقلة عن بعضها  
البعض وإن الحالة للجسيم في الصندوق يتم تحديدها بإعطاء قيم  
لـ  $n_x$  ,  $n_y$  ,  $n_z$  .

فمثلاً لأقل حالة طاقية ( طاقة النقطة صفر حيث يكون  $n_x = n_y = n_z = 1$  ) لجسيم في صندوق حافته متساوية الأطوال ، تصبح المعادلة (82) كالآتي :

$$E_{(1,1,1)} = \frac{3h^2}{8ma^2} \quad \dots (83)$$

وهكذا فإن أقل حالة طاقية  $\psi(1,1,1)$  تمتلك طاقة تساوي  $\frac{3h^2}{8ma^2}$  أما الحالات  $\psi(2,1,1)$  و  $\psi(1,2,1)$  و  $\psi(1,1,2)$  فكل منها تمتلك طاقة تساوي  $\frac{3}{4} \frac{h^2}{ma^2}$  وبالرغم من كون هذه الحالات states لها نفس الطاقة إلا أنها حالات مختلفة .

حيث مع  $n_x = 2, n_y = 1, n_z = 1$  نحصل على دالة موجية تختلف عن تلك التي تمتلك  $n_x = 1, n_y = 2, n_z = 1$  .

وعند النظر في الشكل السابق نرى أن الحالة  $\psi(2,1,1)$  تمتلك كثافة احتمالية لإيجاد جسيم مساوية إلى صفر عند  $x = \frac{a}{2}$  ولكننا نرى عند هذه المنطقة أقصى احتمالية بالنسبة للحالة  $\psi(1,2,1)$  .

إن التعبيرين حالة state ومستوى طاقى energy level لها معنيين مختلفين في ميكانيكا الكم . فالحالة المستقرة تحدد بواسطة الدالة الموجية  $\psi$  . وإن كل دالة موجية  $\psi$  مختلفة تمثل حالة مختلفة أما المستوى الطاقى فيحدد بواسطة قيمة الطاقة . وإن كل قيمة طاقة مختلفة تمثل مستوى طاقى مختلف .

فالحالات الثلاث  $\psi(2,1,1)$  و  $\psi(1,2,1)$  و  $\psi(1,1,2)$  .  
لجسيم في صندوق جميعها تعود إلى نفس المستوى الطاقى  $\frac{3h^2}{4ma^2}$  .

ويقال عن المستوى الطاقى الذي يعود لأكثر من حالة بأنه منحل أو قابل للانحلال **degenerate** وإن عدد الحالات المختلفة العائدة لنفس المستوى يمثل درجة الانحلال لذلك المستوى الطاقى . وفي حالتنا هذه فإن المستوى  $\frac{3h^2}{4ma^2}$  هو ثلاثي الانحلال .

إن الانحلال فى مسألة جسيم فى صندوق يظهر عندما نأخذ أبعاد الصندوق على أساس أنها متساوية . وعادة ينشأ الانحلال من التماثل **symmetry** للنظام .

ولابد أن نشير إلى أن معالجتنا لموضوع جسيم فى صندوق كان الهدف منها هو إعطاء صورة توضيحية لبعض الفكر الأساسية لميكانيكا الكم.

1  
2  
3  
4  
5  
6  
7  
8  
9  
10  
11  
12  
13  
14  
15  
16  
17  
18  
19  
20  
21  
22  
23  
24  
25  
26  
27  
28  
29  
30  
31  
32  
33  
34  
35  
36  
37  
38  
39  
40  
41  
42  
43  
44  
45  
46  
47  
48  
49  
50  
51  
52  
53  
54  
55  
56  
57  
58  
59  
60  
61  
62  
63  
64  
65  
66  
67  
68  
69  
70  
71  
72  
73  
74  
75  
76  
77  
78  
79  
80  
81  
82  
83  
84  
85  
86  
87  
88  
89  
90  
91  
92  
93  
94  
95  
96  
97  
98  
99  
100

## الباب الرابع

### المهتز التوافقي في كيمياء الكم

المهتز التوافقي :

يعتبر موضوع المهتز التوافقي على اتجاه واحد نموذجًا مفيدًا لمعالجة تذبذبات **vibrations** جزيئة ثنائية الذرة . والآن نبدأ بالمعالجة الكلاسيكية لهذا الموضوع قبل تطبيق مبادئ ميكانيكا الكم لها .

ولننظر في جسيم كتلته  $m$  يتحرك في اتجاه واحد ومنجذبًا نحو المركز الإحداثي بواسطة قوة  $F$  متناسبة مع مقدار إزاحته  $x$  من المركز الإحداثي :  $F = -kx$  حيث  $k$  يسمى ثابت القوة .

وعندما تكون  $x$  موجبة فإن القوة ستكون في الاتجاه  $(-x)$  . ولكن عندما تكون  $x$  سالبة فإن  $F$  تكون في اتجاه  $(+x)$  .

إن هذا النوع من القوى يمكن تمثيله بواسطة التغير في طاقة الجهد ، أي :

$$F = -\frac{dV}{dx}$$

( حيث  $V$  هي طاقة الجهد ) . وبذا سيكون عندنا :

$$F = -kx = -\frac{dV}{dx}$$

ومنها نحصل على :

$$V = \frac{1}{2} kx^2 \quad \dots (84)$$

وحسب قانون نيوتن الثاني  $F = ma^2$  يمكننا كتابة الآتي :

$$ma^2 \equiv m \frac{d^2x}{dt^2} = -kx$$

أو نكتب :

$$\frac{d^3x}{dt^2} = -\frac{k}{m}x \quad \dots (85)$$

وهذه هي معادلة تفاضلية لحركة توافقية بسيطة ، حلها سيكون كالآتي :

$$x(t) = A \sin \left( \frac{k}{m} \right)^{1/2} t \quad \dots (86)$$

إن أقصى وأدنى قيمتين لدالة الجيب هما  $(-1, +1)$  وهذا يعني أن الإحداثي  $x$  يهتز إلى الخلف إلى الأمام بين  $(-A, +A)$  هي سعة أو متسع Amplitude الحركة .

إن دورة المهتز  $(\tau)$  هي الزمن اللازم لإكمال دورة واحدة في التذبذب . وهي تساوي مقلوب تردد المهتز  $\nu$  .

والآن لدورة واحدة في التذبذب فإن دالة الجيب في معادلة (86) يجب أن تزداد بـ  $2\pi$  لأن  $2\pi$  هي دورة دالة الجيب . وعندئذ تحقق الدورة الآتي:

$$\left( \frac{k}{m} \right)^{1/2} \tau = 2\pi \quad \dots (87)$$

ومنها نحصل على :

$$\tau = 2\pi \left( \frac{m}{k} \right)^{1/2} \quad \dots (88)$$

أما تردد المهتز  $(\nu)$  فيكون :

$$\nu = \frac{1}{\tau} = \frac{1}{2\pi} \left( \frac{k}{m} \right)^{1/2} \quad \dots (89)$$

أما الآن فسنركز اهتمامنا على معالجة ميكانيكا الكم لهذا الموضوع .

ولنكتب أولاً الدالة الهاملتونية لها وكالتالي :

$$H = T + V$$

$$H = \frac{1}{2m} P_x^2 + \frac{1}{2} kx^2 \quad \dots (90)$$

ويصبح المؤثر الهاملتوني عندئذ :

$$\hat{H} = -\frac{\hbar^2}{2m} \frac{d^2}{dx^2} + \frac{1}{2} kx^2 \quad \dots (91)$$

أما معادلة شرودنجر فتكتب كما يلي :

$$\left( -\frac{\hbar^2}{2m} \frac{d^2}{dx^2} + \frac{1}{2} kx^2 \right) \psi = E\psi$$

وبعد ترتيبها تصبح :

$$\frac{d^2\psi}{dx^2} + \frac{2m}{\hbar^2} \left[ E - \frac{1}{2} kx^2 \right] \psi = 0 \quad \dots (92)$$

ولأجل إيجاد الطاقات والدالات الموجية الممكنة يجب أن نحل معادلة

(92) وحل هذه المعادلة يتضمن معالجة رياضية معقدة ليس ضروريًا علينا

الدخول في تفاصيلها وسنكتفي بذكر النتائج وهي :

$$E_v = \left( v + \frac{1}{2} \right) h\nu \quad \dots (93)$$

حيث  $v$  هو عدد الكم يأخذ قيمة غير سالبة

( أي أن :  $v = 0, 1, 2, 3, \dots$  ) أما  $v$  التردد المعطى في

معادلة (89) والطاقة هنا تكون مكممة **quantized** . وإن

مستويات الطاقة متباعدة عن بعضها البعض بالتساوي .

وإن طاقة النقطة صفر (  $E_0$  ) تساوي  $\frac{1}{2} h\nu$

( حيث يكون :  $v = 0$  ) أما الدالات الموجية فهي تأخذ صيغا

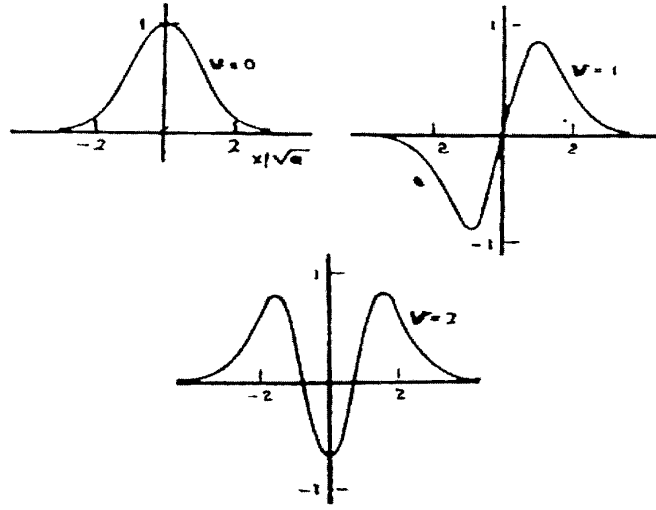
تحتوي الحد  $e^{-ax^2} / 2$  مضروبًا بمعتد الحدود ذات الدرجة  $v$

( حيث إن  $\alpha = 2\pi v m / h$  ) ونذكر هنا فقط صيغا أقل  
ثلاث دالات موجية :

$$\left. \begin{aligned} \psi_0 &= (\alpha / \pi)^{1/4} e^{-\alpha x^2 / 2} \\ \psi_1 &= (4\alpha^3 / \pi)^{1/4} x e^{-\alpha x^2 / 2} \\ \psi_2 &= (\alpha / 4\pi)^{1/4} (2\alpha x^2 - 1) e^{-\alpha x^2 / 2} \end{aligned} \right\} \dots (94)$$

( إن الرموز السفلية على  $\psi$  تمثل قيم  $v$  ) .

والشكل التالي يعطي الدالات الموجية لأقل ثلاث حالات للمهتز  
التوافقي ( أي للحالات حيث:  $v = 0, 1, 2$  ) .



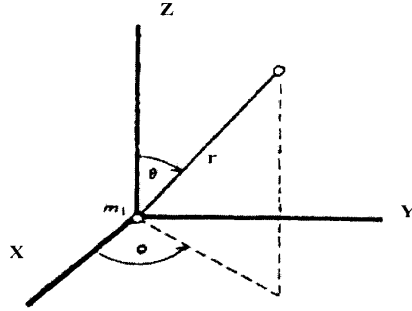
الدالات الموجية لأقل ثلاث حالات للمهتز التوافقي ( الحالات لها  $v = 0, 1, 2$  )



وكما هو واضح مع مسألة الجسيم في صندوق يتضح من الشكل أعلاه أن عدد العقد يزداد بمقدار  $I$  لكل زيادة في عدد الكم  $v$  .

#### الدوار الصلب ثنائي الجسيم :

يتضمن هذا الدوار جسيمين لهما كتلة  $m_1$  ,  $m_2$  تفصلهما مسافة ثابتة كما هو مبين في الشكل التالي هذه المسألة لها أهمية في مناقشة أطيف الجزيئات الثنائية الذرة والحركة الدورانية للجزيئة .



الدوار الصلب الثنائي الجسيم

إن طاقة هذا النظام هي كلياً حركية حيث إن طاقة الجهد تساوي صفراً ، ولأجل بناء معادلة شرودنجر لهذا النظام نحتاج أن نعرف صيغة المؤثر الهاملتوني ، وهذا يتطلب أن نجد أولاً تعبير الطاقة الحركية ومن ثم تحويل هذا التعبير الكلاسيكي إلى صيغة مؤثر ميكانيكا الكم . ويكون من الأنسب استخدام الإحداثيات القطبية الكروية في حل هذه المسألة .

الطاقة الحركية للجسيم الأول بدلالة الإحداثيات القطبية تكتب كالتالي :

$$T_1 = \frac{m_1 r_1^2}{2} \left[ \left( \frac{d\theta}{dt} \right)^2 + \sin^2 \theta \left( \frac{d\theta}{dt} \right)^2 \right] \quad \dots (95)$$

وللجسيم الثاني نكتب الطاقة الحركية كالتالي :

$$T_2 = \frac{m_2 r_2^2}{2} \left[ \left( \frac{d\theta}{dt} \right)^2 + \sin^2 \theta \left( \frac{d\theta}{dt} \right)^2 \right] \quad \dots (96)$$

وعندئذ نكتب الطاقة الحركية الكلية بالشكل التالي :

$$\begin{aligned} T = T_1 + T_2 &= \frac{m_1 r_1^2 + m_2 r_2^2}{2} \left[ \left( \frac{d\theta}{dt} \right)^2 + \sin^2 \theta \left( \frac{d\theta}{dt} \right)^2 \right] \\ &= \frac{1}{2} \left[ \left( \frac{d\theta}{dt} \right)^2 + \sin^2 \theta \left( \frac{d\theta}{dt} \right)^2 \right] \quad \dots (97) \end{aligned}$$

حيث إن  $I$  هو عزم القصور الذاتي **moment of inertia** ويساوي  $m_1 r_1^2 + m_2 r_2^2$  ومن أجل تحويل ملحوظ الطاقة الحركية المعطى في معادلة (97) إلى صيغة مؤثر ميكانيكا الكم يتطلب هذا أن نعبر عن معادلة (31) بدلالة ضغوط مناسبة  $P_\theta$  ,  $P_\phi$  . ولإنجاز هذا نستخدم تعريفي دالة لاجرنج (31) والضغط (38) وهما :

$$L(q, \dot{q}) = T(q) - V(q)$$

$$P = \frac{\partial L}{\partial \dot{q}}$$

ومنها سنحصل على :

$$P_\theta = \frac{\partial L}{\partial \dot{\theta}} = \frac{\partial T}{\partial \dot{\theta}} = I\dot{\theta} \quad \dots (98)$$

$$P_\phi = \frac{\partial L}{\partial \dot{\phi}} = \frac{\partial T}{\partial \dot{\phi}} = I \sin^2 \theta (\dot{\phi}) \quad \dots (99)$$

وعند التعويض عن  $\theta$  ,  $\phi$  في معادلة (97) بما يساويهما من معادلتين (98) و (99) سينتج لنا :

$$T = \frac{1}{2I} \left( P_\theta^2 + \frac{P_\phi^2}{\sin^2 \theta} \right) \quad \dots (100)$$

وهذه المعادلة يمكننا تحويلها إلى مؤثر ميكانيك الكم وذلك بوضع  $\left( -i\hbar \frac{\partial}{\partial \theta} \right)$  عن  $P_\theta$  ,  $\left( -i\hbar \frac{\partial}{\partial \phi} \right)$  عن  $P_\phi$  وعلى أية حال إذا قمنا بذلك هكذا سنواجه مشكلة هي أن المؤثر الناتج يكون غير هيرميتي ولكن عند ضرب الحدود داخل الأقواس في معادلة (100) بواسطة  $\frac{\sin \theta}{\sin \theta}$  . وذلك قبل إجراء التحويل فسوف نتغلب على تلك الصعوبة وستكون النتيجة كالتالي :

$$T = \frac{1}{2I} \left[ \frac{1}{\sin \theta} P_\phi (\sin \theta) P_\phi + \frac{P_\phi^2}{\sin^2 \theta} \right] \quad \dots (101)$$

وبهذا سيكون مؤثر الطاقة الحركية بالشكل التالي :

$$\hat{T} = -\frac{\hbar^2}{2I} \left[ \frac{1}{\sin \theta} \frac{\partial}{\partial \theta} \left( \sin \theta \frac{\partial}{\partial \theta} \right) + \frac{1}{\sin^2 \theta} \frac{\partial^2}{\partial \phi^2} \right] \quad \dots (102)$$

وعندئذ نكتب معادلة شرودنجر بالصيغة التالية :

$$-\frac{\hbar^2}{2I} \left[ \frac{1}{\sin \theta} \frac{\partial}{\partial \theta} \left( \sin \theta \frac{\partial}{\partial \theta} \right) + \frac{1}{\sin^2 \theta} \frac{\partial^2}{\partial \phi^2} \right] \quad \dots (103)$$

إن حل هذه المعادلة يشتمل على قسط كبير من العمليات الرياضية المعقدة وسوف نكتفي هنا بذكر النتائج فقط :

$$E_{rot} = l(l+1) \frac{\hbar^2}{2I} \quad (l=0,1,2,\dots \text{ حيث } )$$

إن  $E_{rot}$  هي الطاقة الدورانية أما  $l$  فهو عدد الكم ويأخذ قيما صحيحة موجبة أو صفر .

أما الدالات الموجية الدورانية  $\phi_{rot}$  فهي :

$$\phi_{rot} = \Theta_{l,m}(\theta) \oplus_m(\phi) \quad \dots (105)$$

حيث إن  $\Theta_{l,m}(\theta)$  هي دالة لـ  $\theta$  والتي يعتمد شكلها على عددي الكم  $m, l$  أما  $\oplus_m(\phi)$  فهي دالة لـ  $\phi$  وإن شكلها يعتمد على عدد الكم  $m$  وبصورة عامة ، إن الدالة الموجية لحركة داخلية لنظام ذي جسيمين هي دالة لإحداثيات ثلاثة .

ولكن في نظامنا هنا كانت المسافة بين الجسيمين ثابتة لذا فإن  $\psi_{rot}$  ستكون دالة لإحداثين  $\theta, \phi$  فقط . وبما أنه يوجد إحداثيان فإنه يوجد عدد كم هما  $m, l$  وإن القيم الممكنة لـ  $m$  هي :

$$m = -l, -l+1, -l+2, \dots, l-1, l$$

$$m = -2, -1, 0, 1, 2 \quad \text{فإن} \quad l=2$$

ولقيمة معلومة من  $l$  يوجد  $2l+1$  من قيم لـ  $m$  .

## الباب الخامس

### ذرة الهيدروجين والعزم الزاوي في كيمياء الكم

#### ذرة الهيدروجين :

ذرة الهيدروجين هي أبسط الأنظمة الذرية . وسوف ننظر هنا إلى ذرة الهيدروجين للأيونات الشبيهة بالهيدروجين ( مثل  $\text{Li}^{2+}$  ,  $\text{He}^{+}$  وغير ذلك ) على أساس أنها مجموعة واحدة .

وهذه تختلف بعضها عن البعض الآخر فقط بعدد شحناتها النووية وهي تمتلك نواة شحنتها  $+Ze$  ، وتكون  $Z$  للهيدروجين مساوية واحد ، وكتلة  $M$  وإلكتروننا شحنته  $-e$  وكتلته  $m$  .

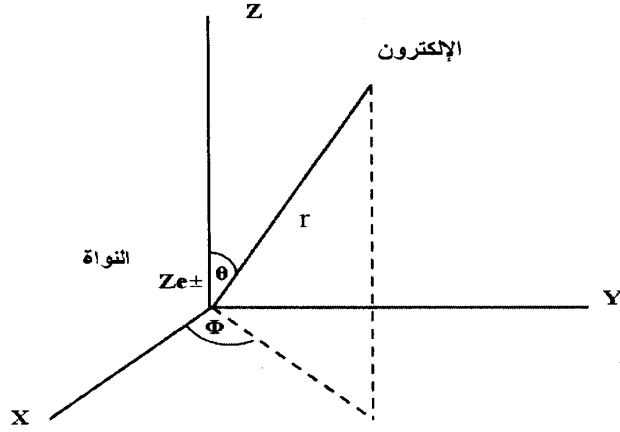
إن وجود الفتحة فوق  $e$  أعلاه تشير إلى وحدات جاوس ( جم سم ثا ) ونكتب هنا شحنة البروتون :

$$e' = 4.8032 \times 10^{-10} \text{ stat C} , e = 1.6022 \times 10^{-19} \text{ C}$$

حيث إن النظام المذكور أعلاه هو موضح بالشكل التالي حيث يكون مركز النظام الأحداثي عند النواة .

أما الكتلة المصححة  $\mu$  reduced mass لذرة الهيدروجين فتساوي تقريباً لكتلة الإلكترون حيث إن كتلة النواة (  $M$  ) تساوي 1846 مرة لكتلة الإلكترون  $e$  وبالتالي فإن  $\mu$  :

$$\mu = \frac{mM}{m + M} = \frac{m (1846 m)}{m + (1846 m)} = \frac{1864 m}{1846} \approx m$$



نظام الإحداثيات الكروية لموضوع ذرة الهيدروجين وأشباه الهيدروجين

وبهذا يمكننا تقريب صورة النظام إلى ذلك النظام الذي فيه يتحرك إلكترون في مجال متماثل كروي ناشئ من النواة عند مركز النظام الإحداثي والآن سنعمل على تركيب معادلة شرودنجر لهذا النظام :

إن طاقة الجهد هنا هي طاقة الجذب بين الإلكترون والنواة وتكتب :

$$V = - \frac{Ze'^2}{r} \quad \dots (106)$$

حيث  $r$  هي المسافة بين النواة والإلكترون . وعندئذ نكتب المؤثر

الهاملتوني كالتالي :

$$\hat{H} = - \frac{\hbar^2}{2\mu} \nabla^2 - \frac{Ze'^2}{r} \quad \dots (107)$$

وتصبح معادلة شرودنجر بالصيغة التالية :

$$\nabla^2 \psi + \frac{2\mu}{\hbar^2} \left( E + \frac{Ze'^2}{r} \right) \psi = 0 \quad \dots (108)$$

ومن أجل حل هذه المعادلة ينبغي أولاً تحويلها إلى صيغة إحداثيات قطبية كروية حيث يسهل حلها بدلالة الإحداثيات القطبية ومن ثم تطبيق طريقة فصل المتغيرات عليها ، أما الدالات الموجية المسموحة الناتجة فتمتلك الصيغة التالية :

$$\psi = R_{n,l}(r) (\Theta)_{l,m}(\theta) \phi_m(\Phi) \quad \dots(109)$$

وبما أنه توجد ثلاثة متغيرات ، فإن الحلول ستتضمن على ثلاثة أعداد كم هي :

عدد الكم الرئيسي , n Principle quantum number

عدد الكم الزاوي , l Angular – momentum quantum number

عدد الكم المغناطيسي , m magnetic quantum number

ولدالات  $\psi$  مقبولة تتحدد قيم أعداد الكم كالتالي :

$$n = 1, 2, 3, 4, \dots$$

$$l = 0, 1, 2, 3, \dots, (n-1)$$

$$m = -l, -l+1, \dots, l-1, l$$

إن العامل نصف القطري  $R_{n,l}(r)$  radial factor في المعادلة (109) هو دالة للمسافة  $r$  وطبيعته تعتمد على عددي الكم  $n, l$  في حين يعتمد العامل الزاوي ثيتا  $(\hat{H})_{l,m}(\theta)$  ، theta factor على  $m, l$  وإن العامل الزاوي فاي  $\Phi_m(\Phi)$  ، phi factor يعطي بـ :

$$\Phi_m(\Phi) = (2\pi)^{-1/2} e^{im\Phi} \quad \dots(110-5)$$

حيث إن :  $i \sqrt{-1} =$

وغالباً ما تستعمل الحروف لتحديد قيمة  $l$  لاكترون كما بالجدول التالي :

قيمة	٠	١	٢	٣	٤	٥
الحرف المستخدم	s	p	d	f	g	h

إن قيمة  $n$  توضع قبل الحرف المدونة أدناه أما قيمة  $m$  فتوضع أسفلها .

فمثلاً يشير  $2s$  إلى حالة  $n = 2$  ,  $l = 0$

وإن  $2p_{-1}$  تشير إلى حالة  $n = 2$  ,  $l = 1$  ,  $m = -1$

إن حل معادلة شرودنجر (108) يعطي أيضاً مستويات الطاقة

المسموحة التالية :

$$E = \frac{-\mu Z^2 E'^4}{2n^2 \hbar^2} = - \frac{Z^2}{n^2} \frac{e'^2}{2a} \quad \dots (111)$$

حيث إن :  $a \equiv \frac{\hbar}{\mu e'^2}$

كما أن  $n = 1, 2, 3, \dots$  وكذلك تكون جميع قيم  $E \geq 0$  مسموحة وهي

تعود إلى ذرة متأينة .

فعندما تكون المسافة بين الإلكترون والنواة لانهائية لها ( أي  $r = \infty$  )

فإن دالة طاقة الجهد  $\frac{Ze'^2}{r}$  في معادلة (107) ستأخذ المستوى حيث الطاقة

صفر . وهكذا فالحالات التي فيها يبقى الإلكترون مرتبطاً أو منجذباً للنواة

فهي تمتلك طاقات سالبة .

وإن طاقات الحالة الارتباطية هذه هي معطاة في المعادلة

(111) أما الشكل التالي فيوضح بعض المستويات الطاقية المسموحة

ودالة طاقة الجهد .

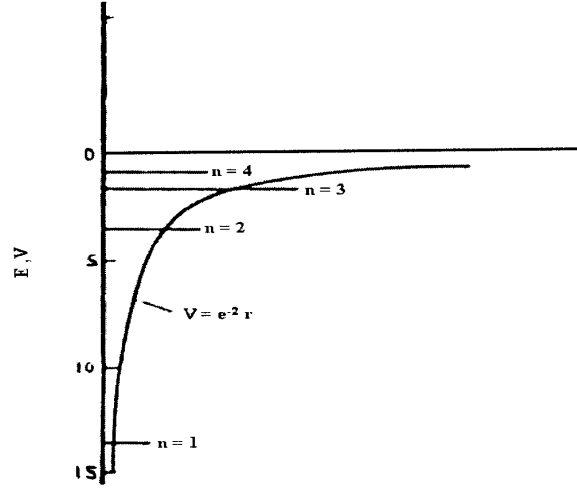
إن  $a$  الموجودة في معادلة (111) لها أبعاد الطول ولذرة الهيدروجين

فإنها تساوي  $0.5295 \text{ \AA}$  بعد التعويض عن القيم العددية لـ  $\hbar^2$  ,  $e'^2$  ,  $\mu$

وإذا استبدلنا الكتلة المصححة  $\mu$  في تعريف  $a$  بـ كتلة الإلكترون  $m$  فإننا

سنحصل على نصف قطر بوهر  $a_0$  .





المستويات الطاقية ودالة طاقة الجهد لذرة الهيدروجين

$$a_0 \equiv \frac{\hbar^2}{me^2} = 0.5392 \text{ \AA} \quad \dots (112)$$

حيث  $a_0$  هو نصف قطر بوهلر لمدار  $n = 1$  دائري في نظرية بوهلر .  
وإذا جعلنا  $n = 1$ ,  $Z = 1$  في معادلة (111) فإننا سنحصل على طاقة  
الحالة المستقرة  $E_{gs}$  لذرة الهيدروجين :

$$E_{gs} = - \frac{e'^2}{2a} = - \frac{(4.803 \times 10^{-10} \text{ stat C})^2}{2 (0.5295 \times 10^{-8} \text{ cm})} = - 2.179 \times 10^{-11} \text{ erg}$$

وإذا أردنا حساب  $E_{gs}$  بوحدات دولية فنستخدم  $e' = \frac{e}{4\pi\epsilon_0^{1/2}}$  حيث  $\epsilon_0$   
هي سماحية الفراغ  $\epsilon_0$  permittivity of vacuum وتساوي  
 $8.854 \times 10^{-12} \text{ C}^2 \text{ J}^{-1} \text{ m}^{-1}$  وكالاتي :

$$E_{gs} = - \frac{(1.6022 \times 10^{-19} \text{ C})^2}{4 \pi (8.854 \times 10^{-12} \text{ C}^2 \text{ J}^{-1} \text{ m}^{-1})^2 (0.5295 \times 10^{-10} \text{ m})}$$

$$= - 2.179 \times 10^{-18} \text{ J} \quad \text{وبما أن :}$$

$$1 \text{ ev} = 1.6022 \times 10^{-19} \text{ J} = 1.6022 \times 10^{-12} \text{ erg} .$$

عندئذ تكون :

$$E_{gs} = - \frac{e'^2}{2a} = - 13.6 \text{ ev} \quad \dots (113)$$

إن  $|E_{gs}|$  هي أقل طاقة مطلوبة لإزالة الإلكترون من ذرة الهيدروجين وهي تمثل طاقة التأين لذرة الهيدروجين هو  $13.6 \text{ eV}$  ويمكننا الآن كتابة معادلة المستويات الطاقية (111) بالصيغة التالية :

$$E = - \left( \frac{Z^2}{n^2} \right) (13.6 \text{ eV}) \quad \dots (114)$$

ويسمى العلماء في مجال كيمياء الكم نظام وحدات جديد يسمى بالوحدات الذرية **atomic units** الذي تعطى فيه الطاقات بوحدات الهارترى **hartree** والمسافات بالبور **Bohr** وتعرف هذه الوحدات كما يلي :

$$1 \text{ bohr} \equiv a_0 = 0.5292 \text{ A}^\circ$$

$$1 \text{ hartree} \equiv e'^2 / a_0 = 27.212 \text{ eV} .$$

وبذلك فإن  $E_{gs}$  للذرة H تساوي  $\frac{1}{2} \text{ hartree}$  - عندما تؤخذ  $a$  على أساس أنها تساوي  $a_0$  .

والآن نرجع إلى الدالات الموجية في معادلة (109) ونذكر هنا بعضاً من العوامل  $R_{n,l}(r)$  ,  $\Theta_{l,m}(\theta)$  الأولى في الدالات الموجية لذرة الهيدروجين حيث  $Z=1$  المعطاة في معادلة (109) .

$$R_{1,2} \equiv R_{1s} = 2 \left( \frac{1}{a} \right)^{3/2} e^{-r/a}$$

$$R_{2,0} \equiv R_{2s} = \left( \frac{1}{2a} \right)^{3/2} \left( 2 - \frac{r}{a} \right) e^{-r/2a}$$

$$R_{2,1} \equiv R_{2p} = \left( \frac{1}{3} \right)^{1/2} \left( \frac{1}{2a} \right)^{3/2} \frac{r}{a} e^{-r/2a}$$

$$R_{3,0} \equiv R_{3s} = \frac{2}{27} \left( \frac{1}{3a} \right)^{3/2} \left[ 27 - \frac{18r}{a} + 2 \left( \frac{r}{a} \right)^2 \right] e^{-r/3a}$$

$$R_{3,1} \equiv R_{3p} = \frac{1}{81(3)^{1/3}} \left( \frac{2}{a} \right)^{3/2} \left( 6 - \frac{r}{a} \right) e^{-r/3a}$$

$$\Theta_{0,0} \equiv \Theta_{s0} = 1 / \sqrt{2}$$

$$\Theta_{1,0} \equiv \Theta_{p0} = (3/2)^{1/2} \cos \theta$$

$$\Theta_{1,\pm 1} \equiv \Theta_{p+1} = \Theta_{p-1} = \left( \frac{3}{4} \right)^{1/2} \sin \theta$$

$$\Theta_{2,0} \equiv \Theta_{d0} = \left( \frac{5}{8} \right)^{1/2} (\cos^2 \theta - 1)$$

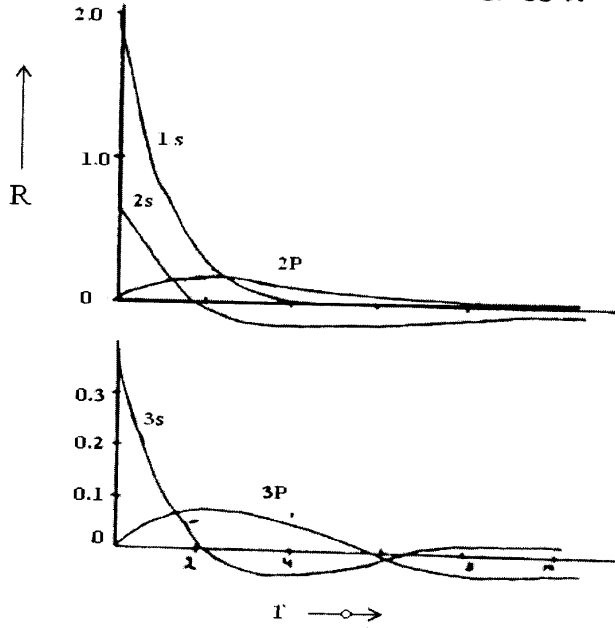
$$\Theta_{2,\pm 1} \equiv \Theta_{d+2} = \Theta_{d-1} = \left( \frac{15}{4} \right)^{1/2} \sin \theta \cos \theta$$

$$\Theta_{2,\pm 2} \equiv \Theta_{d+2} = \Theta_{d-2} = \left( \frac{15}{16} \right)^{1/2} \sin^2 \theta$$

أما العامل الزاوي فاي  $\Phi_m(\theta)$  فيتعين من معادلة (110) وبالنسبة لحالات  $s$  (حيث  $l = 0$ ) فإن معادلة (110) تعطي عامل فاي المقدار  $\frac{1}{\sqrt{2\pi}}$ .

وبالتالي فإن العامل الزاوي ( أي :  $\Phi_m(\theta)$  ) لحالات  $s$  يساوي المقدار  $\frac{1}{\sqrt{4\pi}}$  وهو لا يعتمد على  $\theta$  ، وبذا فإن الدالات  $\psi$  لحالات  $s$  تعتمد فقط على  $r$  وبالتالي يقال عنها بأنها متماثلة كروياً **spherically symmetric** .

أما لحالات  $l \neq 0$  فإن العامل الزاوي لا يساوي كمية ثابتة ، وأن  $\Phi$  ليست متماثلة كروياً وإذا رسمنا  $R_{n,l}(r)$  مقابل  $r$  للحالات  $n=1,2,3$  لذرة الهيدروجين فسنحصل على الشكل التالي:



الدالات القطرية للحالات  $n=1,2,3$  لذرة الهيدروجين ( حيث إن  $r$  هي لوحدات  $a$  )

وفي هذا الشكل نلاحظ أن  $R_{n,l}(r)$  (وبالتالي  $\psi$ ) لا تساوي صفراً عند النواة (الأصل حيث  $r = 0$ ) لحالات  $s$ . وكذلك نلاحظ من الشكل المثبت أنفاً أن عدد العقد هو  $n - l - 1$  (ولا يكون بضمنها العقد  $r = 0, r = \infty$ )

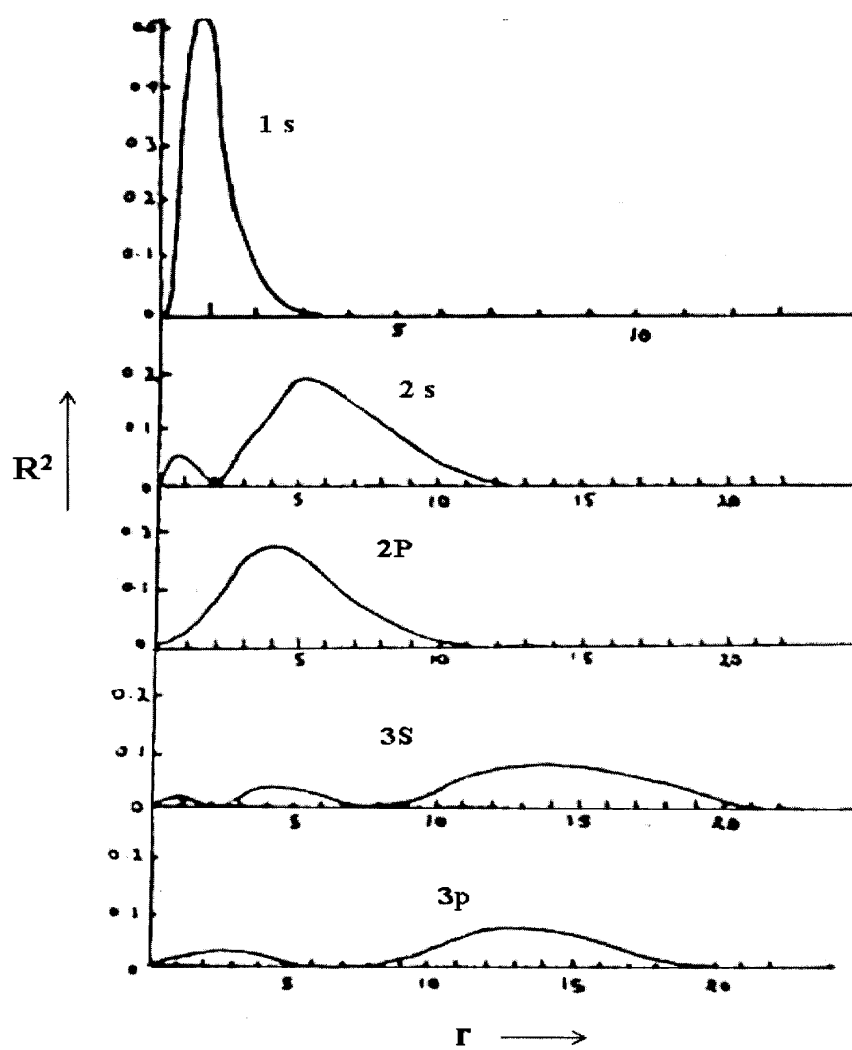
ومن المفيد هنا أن نعرف احتمالية إيجاد إلكترون عند مسافة معينة  $r$  من النواة ولأجل عمل ذلك نرسم دالة الاحتمالية  $r^2 R^2$  مقابل  $r$  وكما هو مبين في الشكل التالي حيث إن معدل المسافة  $r'$  للإلكترون من النواة يعطى بالمعادلة التالية :

$$r' = \int \psi^* r \psi d\tau = \int_0^\infty [R_{n,l}(r)]^2 r^3 dr$$

وبالنسبة لذرة الهيدروجين ( $Z = 1$ ) في أقل حالة (حيث  $l = 0, n = 1$ ) يكون معدل المسافة كما يلي :

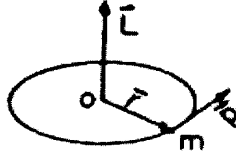
$$r' = \frac{4}{a^3} \int_0^\infty e^{-r/a} r^3 dr = \frac{4}{a^3} \left[ 3! \left( \frac{a}{2} \right)^4 \right] = \frac{3}{2} a$$

أي أن معدل المسافة للإلكترون من النواة هي ثلاثة أنصاف قطر المدار الأول في نظرية بوهر القديمة لذرة الهيدروجين .



## العزم الزاوي Angular momentum :

إن أي جسيم في حركة على خط منحن سيصاحبه عزم زاوي  $\vec{L}$  كما هو مبين في الشكل التالي :



العزم الزاوي  $\vec{L}$  المصاحب لجسيم كتلته  $m$  يتحرك حول  $O$  أما  $\vec{P}$  فهو العزم الخطي

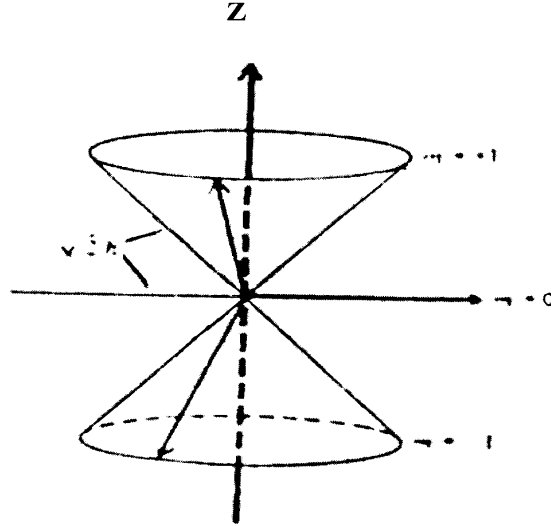
حيث  $\vec{r}$  هو المتجه من مركز أو أصل النظام الإحداثي إلى الجسيم . أما  $\vec{P}$  فهو العزم ( الخطي ) للجسيم ويساوي سرعة الجسيم في كتلته . أما  $\vec{L}$  فهو العزم الزاوي للجسيم واتجاهه يكون عمودياً علي كل من  $\vec{r}$  ،  $\vec{P}$  .

وفي ميكانيكا الكم يوجد نوعان من العزم الزاوي هما العزم الزاوي المداري **orbital angular momentum** ( وهو مماثل العزم الزاوي  $\vec{L}$  المذكور أعلاه ) ويعود إلى حركة الجسيم في الفراغ . والنوع الثاني هو العزم البرمي **Spin angular momentum** وهو نتيجة لبرم الجسيم حول محوره .

وإن عددي الكم  $m$  ,  $l$  يرتبطان بالعزم الزاوي للإلكترون . وقد وجد أن مقدار عزم الإلكترون الزاوي المداري  $\vec{L}$  حول النواة يساوي  $[l(l+1)]^{1/2} \hbar$  .

وإن مقدار مركبة  $\bar{L}$  حول المحور Z ( أي  $L_z$  ) تساوي  $m\hbar$  . إن مقدار عزم الإلكترون الزاوي المداري لحالات s ( حيث  $l=0$  ) يساوي صفراً ولحالات P ( حيث  $l=1$  ) يساوي  $\sqrt{2}\hbar$  ( أما  $L_z$  لحالات P فتساوي  $\hbar$  أو صفراً أو  $-\hbar$  ) .

إن الاتجاهات الممكنة الثلاثة لعزم الزاوي المداري  $\bar{L}$  لحالات P هي مبينة في الشكل التالي :



التوجيهات الفراغية الممكنة لعزم الزاوي المداري الإلكتروني لحالة  $l=1$

**الدالات الموجية الحقيقية : Real wave functions :**

إن الدالة  $\psi$  في معادلة (109) وأيضاً في معادلة (110) هي دالة معقدة **Complex function** وغالباً يجد الكيميائيون التعامل مع دالات



حقيقية يكون أيسر من التعامل مع دالات معقدة . ومن أجل الحصول على دالات حقيقية نستخدم الفرض التالي :

" إن أي اتحاد خطي **Linear combination** لدالتين موجبتين لهما نفس الطاقة هو دالة موجية مقبولة لتلك الطاقة نفسها " . وإذا أخذنا  $2p$  مثلاً لنا فإننا سنكتب الآتي :

$$\Psi_{2p} = R_{2,1}(r) \Theta_{1,0\pm1}(\theta) \Phi_{0,1}(\phi)$$

أو بعد التعويض وأخذ الحالات  $2p+1$  ,  $Sp_0$  ,  $Sp_{-1}$  كل على حدة

نكتب ما يلي :

$$\Psi_{2p+1} = b e^{-Zr/2a} r \sin \theta e^{i\phi} \quad \dots (115)$$

$$\Psi_{2p-1} = b e^{-Zr/2a} r \sin \theta e^{-i\phi} \quad \dots (116)$$

$$\Psi_{2p0} = c e^{-Zr/2a} r \cos \theta \quad \dots (117)$$

حيث إن :

$$C \equiv \left( \frac{1}{\pi} \right)^{1/2} \left( \frac{Z}{2a} \right)^{5/2}, \quad b \equiv \left( \frac{1}{8\pi^{1/2}} \right) \left( \frac{Z}{2a} \right)^{5/2}$$

يتضح من المعادلات الثلاث السابقة أن الدالة  $\Psi_{2p0}$  هي دالة حقيقية ففي حين  $\Psi_{2p+1}$  ,  $\Psi_{2p-1}$  هما دالتان معقدتان وكما هو مبين سابقاً أن :

$$Z = r \cos \theta, \quad y = r \sin \theta \sin \phi, \quad x = r \sin \theta \cos \phi \quad \dots (118)$$

عندئذ نكتب معادلة (117) بالشكل التالي :

$$\Psi_{2p0} = c z e^{-Zr/2a} \equiv \Psi_{2pz} \quad \dots (119)$$

ويرجى الانتباه إلى عدم الخلط بين  $Z$  ,  $z$  حيث الأولي هي إحداثي فراغي ( أما الدالتان  $\Psi_{2p+1}$  ,  $\Psi_{2p-1}$  فهما ذاتيتان للمؤثر الهاملتوني ولهما نفس القيمة الذاتية . لذا يمكننا أخذ أي اتحاد خطي لهما ، وسيكون دالة موجية مقبولة . وفي البدء نكتب العلاقة التالية :

$$e^{i\theta} = \cos \theta + i \sin \theta \quad \dots(120)$$

وكذلك :

$$e^{-i\theta} = (e^{i\theta})^* = \cos \theta - i \sin \theta \quad \dots(121)$$

ونعرف هنا أيضاً الاتحاد الخطي  $\psi_{2px}$  وكذلك الاتحاد الخطي

$\psi_{2py}$  كالآتي :

$$\psi_{2px} = (\psi_{2p+1} + \psi_{2p-1}) / \sqrt{2} \quad \dots(122)$$

$$\psi_{2py} = (\psi_{2p+1} - \psi_{2p-1}) / i \sqrt{2} \quad \dots(123)$$

( إن العامل  $\frac{1}{\sqrt{2}}$  في المعادلتين أعلاه يمثل عامل التناسق لتلك الدالات )

والآن لنأخذ معادلة (122) ونعوض فيها عن  $\psi_{2p+1}$  من معادلة (115)

وعن  $\psi_{2p-1}$  من معادلة (116) ومن ثم نستعين بالمعادلتين (120) , (121)

للتعويض عن  $e^{i\theta}$  ,  $e^{-i\theta}$  فسوف ينتج لنا :

$$\psi_{2px} = \sqrt{2} b e^{-Zr/2a} r \sin \theta \cos \theta \quad \dots(124)$$

وبالاستعانة بعلاقة x في معادلة (118) نكتب المعادلة أعلاه كالآتي :

$$\psi_{2px} = \sqrt{2} b x e^{-Zr/2a} = c x e^{-Zr/2a} \quad \dots(125)$$

حيث إن  $\sqrt{2} b = c$

وبنفس الطريقة أعلاه يمكننا كتابة معادلة (123) بالصيغة التالية :

$$\psi_{2py} = c y e^{-Zr/2a} \quad \dots(126)$$

( ملاحظة أن الرموز السفلية الموجودة مع الأوربييتالات P

( مثلاً  $P_y$  ,  $P_x$  ,  $P_z$  ) توضح أن الأجزاء الزاوية لهذه الدالات الموجية تمتلك

أقصى القيم على طول الاتجاهات x , y , z على التوالي ) .

## الأوربيتالات : Orbitals

الأوربيتال هو دالة موجية فراغية أحادية الإلكترون . وطالما أن الهيدروجين وأشباهه يمتلك إلكترونًا واحدًا ، لذا فإن جميع دالاته الموجية هي أوربيتالات .

يحدد شكل أوربيتال على أساس سطح ذي تركيز احتمالية **Probability Density** ثابت والذي كون منغلَقًا ( أو متضمنًا ) على جزء كبير ( حوالي / 90 ) من احتمالية إيجاد الإلكترون .

إن تركيز الاحتمالية هو  $|\psi|^2$  . وعندما يكون  $|\psi|^2$  ثابتا فإن  $|\psi|$  ستكون أيضًا وعتدئذ فإن  $|\psi|$  تكون ثابتة على سطح كرة مركزها عند النواة. وهكذا فإن أوربيتال s يمتلك شكلا كرويا .  
وإذا أخذنا تركيز احتمالية الذي يتضمنه هذا الشكل فإننا سنكتب الآتي :

$$\int |\psi|^2 d\tau = 0.9 \quad \dots(127)$$

إن  $d\tau$  في النظام الإحداثي القطبي الكروي تعطى كالاتي :

$$d\tau = r^2 \sin \theta dr d\theta d\phi \quad \dots(128)$$

وإذا أخذنا  $r_{1s}$  على أساس أنه نصف قطر الأوربيتال 1s فإننا سنكتب المعادلة (127) بالشكل التالي :

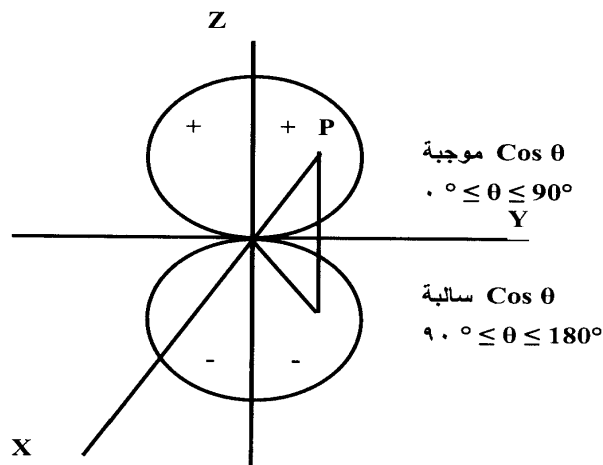
$$\int_0^{1s} |R_{1s}(r)|^2 r^2 dr \int_0^\pi |\Theta_{1s}(\theta)|^2 d\theta \int_0^{2\pi} |\Phi_{1s}(\phi)|^2 d\phi = 0.9 \quad \dots(129)$$

ومنها يمكننا أن نحصل على  $r_{1s} = 1.4 \text{ A}$  لذرة الهيدروجين وسوف لا ندخل في تفاصيل أكثر عن أشكال الأوربيتالات حيث هي مألوفة وليست غريبة ولكن الذي ينبغي ذكره هنا الإشارات **signs** التي تأخذها هذه الدالات أي الأوربيتالات .

فالأوربيتالات s تكون الإشارة موجبة في كل مكان في حين تظهر إشارات موجبة وسالبة للأوربيتالات الأخرى . ولتوضيح كيف تحدث القيم السالبة والموجبة نأخذ أوربيتال  $2P_z$  الذي يعطي ولا بد النظر في معادلتين (117) و (119) كالآتي :

$$\psi_{2p_z} = c e^{-Zr/a} r \cos \theta = cae^{-Zr/2a} \dots (130)$$

إن هذه الدالة تكون صفراً عند المستوى xy (حيث  $z = 0$ ) وتكون موجبة فوق هذا المستوى (لأن  $\cos \theta$  هنا تكون موجبة) وسالبة تحته (حيث تكون  $\cos \theta$  هنا سالبة) كما هو مبين في الشكل التالي :



مخطط يوضح كيفية امتلاك دالة  $2p_z$  إشارات مختلفة في مناطق من الفراغ

وتعتبر إشارات الدالة مهمة عندما نتكلم عن تماثل الأوربيتالات **symmetry of orbitals** وأيضاً في دراسات الترابط الكيميائي عندما نريد مناقشة تراكب أو تداخل الأوربيتالات **overlap of orbitals** .

## البرم الإلكتروني :

البرم هو العزم الزاوي الذاتي **intrinsic angular momentum** التي تمتلكه الجسيمات الأساسية ( وهذا العزم إضافة إلى العزم الزاوي المداري ( الذي مر علينا سابقاً ) يمتلكهما الجسيم نتيجة لحركته في الفراغ . ويميل التصور عن العزم الزاوي البرمي على أساس أنه ناشئ من برم الجسيم حول محوره .

لقد بين ميكانيكا الكم أن مقدار العزم الزاوي المداري  $\bar{L}$  لأي جسيم يمكن أن يتحدد بـ  $h^{+1/2} [l(l+1)]$  حيث  $l = 0, 1, 2, \dots$  وإن مركبة  $z$  ( أي  $L_z$  ) فنأخذ القيم  $mh$  حيث  $l = -1, \dots, +1$  .  $m = -l, \dots, +l$

أما الآن فلنعطي متجه العزم الزاوي البرمي الرمز  $\bar{S}$  لجسيم أساسي . وبصورة مشابهة للعزم الزاوي المداري نفترض أن مقدار العزم الزاوي البرمي يتحد  $h^{+1/2} [s(s+1)]$  وإن  $S_z$  نأخذ القيم  $m_s h$  حيث إن :  $m_s = -s, -s+1, \dots, s-1, s$

إن عدد كم العزم الزاوي البرمي  $s$  ,  $m_x$  يناظران عددي كم العزم الزاوي المداري  $l$  ,  $m$  على التوالي .

إن هذا التناظر ليس كاملاً حيث لوحظ لنوع معين من جسيمات أساسية يمكنها أن تمتلك قيمة واحدة من  $s$  وهي إما أن تكون نصف عدد صحيح ( أي  $\frac{1}{2}, \frac{3}{2}$  ) أو عدد صحيح ( أي  $0.1, \dots$  ) :

وقد بينت التجارب بأن الإلكترون والبروتون والنيوترون هي جسيمات أساسية تهم الكيميائيين كثيراً ( وجميعها تمتلك  $s = \frac{1}{2}$  وبذا فإن  $m_s$  لهذه الجسيمات :

$$m_s = \frac{1}{2}, + \frac{1}{2}$$

وتستعمل في بعض الأحيان العلامتان  $\uparrow$  و  $\downarrow$  لتشيراً إلى  $m_s = + \frac{1}{2}$  و  $m_s = - \frac{1}{2}$  على التوالي . إن الدالة الموجية يفترض بها أن تصف حالة نظام بصورة كاملة قدر الإمكان . والإلكترون يمتلك حالتين برميتين هما  $m_s = + \frac{1}{2}$  ,  $m_x = + \frac{1}{2}$  .

والدالة الموجية ينبغي أن تشير إلى أية حالة برمية يوجد فيها الإلكترون وبذلك نفترض وجود دالة برميتين  $\alpha$  ,  $\beta$  حيث الأولى تعني  $m_x = + \frac{1}{2}$  والثانية  $m_x = - \frac{1}{2}$  ولنظام أحادي الإلكترون نضرب الدالة الموجية الفراغية  $\psi(x,y,z)$  بإحدى الدالتين البرميتين  $\alpha$  ,  $\beta$  من أجل الحصول على دالة موجية كاملة تتضمن البرم وهذه الدالات تسمى بالدالات المدارية - البرمية .

#### الترتيب الإلكتروني والجدول الدوري :

إن أحد الإمكانات المهمة لميكانيك الكم هو تفسير التركيب للجدول الدوري بدلالة حلول مسألة ذرة الهيدروجين . فعلى فرض أن كل إلكترون في ذرة عديدة الإلكترونات يمكن وصفه بدلالة أعداد الكم الأربعة  $m_s, m, l, n$  .

وإن نظام المستويات الطاقة هو مشابه لذلك العائد لذرة الهيدروجين ، فإنه يمكننا توضيح تركيب الجدول الدوري . وقبل الدخول في هذا المجال لابد أن نذكر أولاً نص مبدأ باولي للاستثناء

**Pauli exclusion principle** وهو لا يوجد إلكترونان في نفس الذرة لهما نفس أعداد الكم الأربع .

والآن ومن أجل تركيب الجدول الدوري نستخدم مبدأ البناء **Aufbau principle** وكما يلي :

( أ ) نوصف كل إلكترون في ذرة عديدة الإلكترونات بواسطة أعداد الكم الأربعة  $m_s, m, l, n$  وهي تلك المحصل عليها من حل المعادلة الموجية لذرة الهيدروجين .

( ب ) يكون ترتيب المستويات الطاقية في ذرة عديدة الإلكترونات مشابهاً لما هو عليه في ذرة الهيدروجين .

فالمستويات الإلكترونية تترتب حسب الطاقة والإلكترونات تضاف بشكل إلكترون في كل مرة لأقل مستوى طاقي متوفر وعلى أن يراعى مبدأ باولي للاستثناء .

وبهذه القواعد يمكننا كتابة الترتيب الإلكتروني لأي عنصر ونذكر هنا بأن المستويات الطاقية ذات قيمة معلومة من  $n$  يمكن تحديدها لغلاف **shell** ذي مجموعة من الأغلفة الثانوية **subshells** محددة بواسطة قيم  $l$  المسموحة .

فمثلاً غلاف له :  $n = 4$  فإن قيم  $l$  الممكنة هي 0, 1, 2, 3 وهذه القيم تعود إلى الأغلفة الثانوية **s, p, d, f** على التوالي . أما قيم  $m$  فهي معطاة في الجدول التالي :

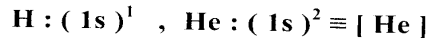
أقصى عدد	$m_s$	$m$	$\ell$	تحت الغلاف
2	$\pm\frac{1}{2}$ $\pm\frac{1}{2}$	0 -1	0	s
6	$\pm\frac{1}{2}$ $\pm\frac{1}{2}$ $\pm\frac{1}{2}$ $\pm\frac{1}{2}$	0 1 -2 -1	1	p
10	$\pm\frac{1}{2}$ $\pm\frac{1}{2}$ $\pm\frac{1}{2}$ $\pm\frac{1}{2}$ $\pm\frac{1}{2}$	0 1 2 -3 -2 -1	2	d
14	$\pm\frac{1}{2}$ $\pm\frac{1}{2}$ $\pm\frac{1}{2}$ $\pm\frac{1}{2}$	0 1 2 3	3	f

بناءً على ذلك يمكننا وصف الجدول الدوري كما يلي :

فالمجموعتان الأوليتان تعودان بـ  $l = 0$  والمجاميع في الوسط تعود لـ  $l = 2$  أما مجاميع السنة الأخيرة فهي للإلكترونات P ولها يكون  $l = 1$  .

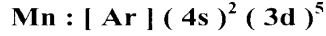
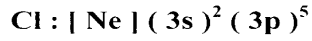
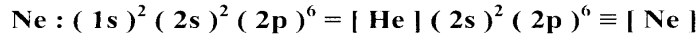
وتبقى مجاميع f (حيث  $l = 1$ ) فقد وضعت في أسفل الجدول الدوري وإن كل مجموعة في الجدول الدوري تنتهي بغاز نبيل له غلاف مشبع ، ويعتبر الترتيب الإلكتروني لهذا الغاز النبيل الأساس للمجموعة الثانية .

وهكذا نكتب الإلكترونات الخارجية فقط ( ما لم تكن هناك شذوذ ) ولنأخذ بعض الأمثلة :



حيث إن [He] يعرف على أساس أنه غلاف  $n = 1$  مشبع .





ويوجد بعض الاستثناءات نتيجة للسلوك الشاذ كما هو الحال مع Cu في العناصر الانتقالية التي تمتلك الترتيب الإلكتروني :  $[\text{Ar}] (4s)^1 (3d)^{10}$  وينبغي أن لا يثير هذا دهشتنا طالما أنه يتطلب العديد من القربيات في إيجاد ترتيب المستويات الطاقة .

كما أن العناصر التي تقع في نفس المجموعة ولكنها في دورات مختلفة تمتلك توزيعات متماثلة للإلكتروناتها الخارجية ، وبما أن الأغلفة الداخلية المشبعة لها تأثيرات ثانوية على خواص العناصر لذا فإن التوزيع المتماثل للإلكترونات الخارجية سيعطي خواصا متشابهة .

### أنصاف الأقطار الذرية : Atomic Radii :

يتغير نصف القطر الذري بصورة ملحوظة عبر الجدول الدوري . فعند مقارنة أنصاف أقطار الذرات في المجموعة الواحدة نرى أنها في تزايد كلما اتجهنا نحو أسفل المجموعة .

فمثلاً : يدخل إلكترون الليثيوم الخارجي إلى غلاف دي  $n = 2$  ( هنا يدخل إلى  $2s$  ) ويدخل إلكترون البوتاسيوم الخارجي إلى  $4s$  (  $n = 4$  ) وللسيزيوم يدخل الإلكترون الخارجي إلى  $6s$  .

وكما مر سابقاً كلما زادت قيمة  $n$  فإن منطقة أقصى احتمالية لإيجاد إلكترون ستكون أبعد وأبعد من النواة وهكذا فإن معدل الحجم للذرة المحددة بمنطقة أقصى احتمالية سيزداد بزيادة  $n$  .

أما ضمن دورة معلومة : ( لـ  $n = 2, n = 3$  ) فإن نصف القطر يتناقص بصورة غير منتظمة خلال الدورة . أما لـ  $n = 4$  فإن العناصر الانتقالية تعوق هذا التغير . وعندما يتم ملء أوربيتالات  $d$  فإن نصف القطر بصورة عامة سيتناقص ففي كل حالة يوجد اتجاهان :

إن إضافة إلكترونات ضمن دورة معينة سيتسبب في زيادة الشحنة النووية هذه الزيادة الأخيرة تحاول سحب الإلكترونات باتجاه النواة وبذلك تؤدي إلى تقليص نصف القطر .

وبنفس الوقت إن الإلكترونات الإضافية تزيد من تنافر إلكترون - إلكترون وبالتالي سيؤدي إلى زيادة في حجم الذرة وإن الموازية بين هذين الاتجاهين هي التي تحدد السلوك الملحوظ لتغير نصف القطر ضمن الدورة .

#### طاقة التأين : Ionization Energy :

تقيس طاقة التأين القوة التي بها يرتبط الإلكترون بذرة . وهي تكافئ الطاقة اللازمة لإزالة الإلكترون من قيمة معلومة لـ  $n$  إلى  $n = \infty$  . والذرة تمتلك عدة طاقات تأين حيث توجد طاقة تأين لكل إلكترون موجود .

ويتضح لنا من قيم السالبة الكهربائية ما يلي :

( أ ) تظهر طاقة التأين الثانية أكبر من الأولى والثالثة أكبر من الثانية وهكذا .

(ب) في حالة الترتيبات المتشابهة للغلاف الخارجي ( مثل الصوديوم والليثيوم حيث يوجد إلكترون واحد في الغلاف الخارجي ) تتناقص طاقة التأين كلما زاد العدد الذري .

(ج) تمتلك الغازات النبيلة قيماً عالية من طاقة التأين .

(د) تزداد طاقة التأين بصورة حادة عندما يتضمن هذا التأين مع غلاف ثانوي جديد فمثلاً في حالة البريليوم **Be** نلاحظ أن طاقة التأين الثاني وهو إزالة الإلكترون الثاني من الغلاف **2s** تساوي **18.2eV** . أما طاقة التأين الثالث أي التأين الذي يتضمن غلاف ثانوي جديد هو **1s** فتساوي **153.8eV** .

#### الألفة الإلكترونية : **Electron Affinity** :

وهي الطاقة التي تتحرر عندما تربط ذرة ما إلكترونًا لها (  $A + e^- \rightarrow A^-$  ) ويتضح لنا من قيم الألفة الإلكترونية للعناصر أن العناصر التي تحتوي أغلفتها الخارجية على سبعة إلكترونات ( كالهالوجينات ) تمتلك أعلى ألفة إلكترونية وذلك لحاجتها لإلكترون لتصل إلى غلاف خارجي مشبع .

\* \* \*



## الباب السادس

### الطرق التقريبية في ميكانيكا الكم

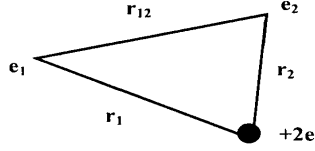
لقد بينا سابقاً كيفية حل معادلات شرودنجر لأنظمة سهلة جداً بيد أنها ذات أهمية كيميائية . أما في الأنظمة الأكثر تعقيداً أي الأنظمة المتعددة الإلكترونات مثلاً فبإمكاننا أن نبني معادلات شرودنجر لها ولكن لا يمكننا عادة حل هذه المعادلات بصورة مضبوطة وذلك لوجود حدود التناثر في طاقة الجهد ولهذا فنحن مضطرون في الرجوع إلى طرق تقريبية .

وهناك طريقتان رئيسيتان للتقريب تستخدمان لهذا الغرض أن إحدى هاتين الطريقتين هي تلك التي تستخدم نظرية التغير **variation theory** أساساً لها وتسمى طريقة التغير . أما الثانية فتسمى طريقة الاضطراب **Perturbation theory** .

#### طريقة الاضطراب :

تعتبر هذه الطريقة مفيدة لإيجاد دالات تقريبية لأنظمة ما عندما تكون على معرفة مضبوطة للدالات الموجية لأنظمة مشابهة .

فهناك العديد من الحالات التي فيها تكون المعادلات لنظام ما ( ما عدا بعض الحدود القليلة ) مشابهة لتلك الممكن حلها بصورة مضبوطة وكمثال على ذلك نأخذ ذرة الهيليوم، إن طاقة الجهد  $V$  لهذا النظام هي :



نموذج ذرة الهيليوم

$$V = -\frac{2e^2}{r_1} - \frac{2e^2}{r_2} + \frac{e^2}{r_{12}}$$

وتصبح معادلة شرودنجر كالاتي :

$$\frac{\hbar^2}{2m_1} \nabla_1^2 \psi + \frac{\hbar^2}{2m_2} \nabla_2^2 \psi + \left[ E + \frac{2e^2}{r_1} + \frac{2e^2}{r_2} - \frac{e^2}{r_{12}} \right] \psi = 0 \quad \dots (131)$$

وبعدم وجود الحد  $\frac{e^2}{r_{12}}$  يمكننا كتابة المعادلة (131) كما يلي :

$$\frac{\hbar^2}{2m_1} \nabla_1^2 \psi + V_1 \psi = E_1 \psi_1$$

$$\frac{\hbar^2}{2m_2} \nabla_2^2 \psi + V_2 \psi = E_2 \psi_2 \quad \dots (132)$$

وهنا تكون :

$$E = E_1 + E_2, \quad \psi = \psi_1 \psi_2$$

ولكننا لا نستطيع عمل هذا بسبب وجود الحد  $\frac{e^2}{r_{12}}$  لذا ظهرت الحاجة

إلى طريقة مختلفة تعالج مثل هذه المسائل ، وطريقة الاضطراب هي إحدى الطرق المستخدمة لهذا الغرض . ووفقاً لهذه الطريقة نكتب المؤثر الهاملتوني للنظام كالاتي :

$$\hat{H} = \hat{H}^0 = \lambda \hat{H}' + \lambda^2 \hat{H}'' + \dots \quad \dots (133)$$

حيث  $\hat{H}^0$  هو المؤثر الهاملتوني للحالة التي يمكن إيجاد الحل لها بصورة مضبوطة (  $\hat{H}^0$  هو مؤثر ذرة الهيدروجين الهاملتوني لحل مسألة ذرة الهليوم ) بواسطة المعادلة التالية :

$$\hat{H}_n^0 \psi_n^0 = E_n^0 \psi_n^0 \quad \dots (134)$$

حيث  $E_n^0$  هي المستويات الطاقية غير المضطربة وإن  $\psi_n^0$  تمثل الدالات الموجية غير المضطربة المناظرة أما  $\hat{H}'$ ,  $\hat{H}''$  فهي حدود التصحيح في حين  $\lambda$  تمثل عاملا متغيرا ( باراميتير ) يتغير من صفر إلى واحد وذلك بالاعتماد على مقدار الاضطراب ونكتب الطاقة  $E_n$  كالآتي :

$$E_n = E_n^0 + \lambda E_n^1 + \lambda^2 E_n^2 + \dots \quad \dots (135)$$

حيث  $E_n^1, E_n^2$  هي حدود تصحيح الطاقة ، وكذلك نكتب الدالات الموجية بالشكل التالي :

$$\psi_n = \psi_n^0 + \lambda \psi_n^1 + \lambda^2 \psi_n^2 + \dots \quad \dots (136)$$

وسنهتم هنا بتصحيحات الرتبة الأولى ، أي أن جميع الحدود التي تتضمن  $\lambda^2$  وما بعدها ( أي حدود  $\lambda^3$  و  $\lambda^4$  ) سنهملها .  
أي أن المعادلة المراد حلها هي :

$$\hat{H} \psi_n = E_n \psi_n \quad \dots (137)$$

وعند إدخال معادلات (133) و (135) و (136) في معادلة (137) ومن ثم نرتب الحدود نحصل على :

$$(\hat{H} \psi_n^0 - E_n^0 \psi_n^0) + \lambda (\hat{H} \psi_n^1 + \hat{H} \psi_n^2 - E_n^0 \psi_n^1) + \lambda^2 (\dots) \quad \dots (138)$$

وكما ذكرنا أعلاه نهمل  $\lambda^2$  وما بعدها . ومن ثم نجعل معاملات  $\lambda^0$  ( أن  $\lambda^0 = 1$  ) مساوية لصفر فإننا سنحصل على الحلين التاليين :

$$\hat{H} \psi_n^0 = E_n^0 \psi_n^0$$

$$\hat{H} \psi_n^0 - E_n^0 \psi_n^0 = (E_n - \hat{H}) \psi_n^0 \quad \dots (139)$$

إن المعادلة الأولى في (139) هي بوضوح تعود إلى الحالة اللامضطربة .  
كما أن المعادلة الثانية هي (139) هي حد اضطراب الرتبة الأولى  
والمطلوب هنا هو إيجاد  $\psi_n^1$  و  $E_n^1$  حيث المفروض أننا نعرف  $\psi_n^0$  و  $E_n^0$   
و  $\hat{H}^0$  و  $\hat{H}^1$  . ولإنجاز هذا نفترض أن  $\psi_n^1$  يمكن كتابتها بشكل اتحاد خطي  
لدالات ذرة الهيدروجين الموجبة اللامضطربة ، أي :

$$\psi_n^1 = \sum_j a_{jn} \psi_j^0 \quad \dots (140)$$

حيث إن  $a_{jn}$  ثوابت .

وعند الاستعانة بمعادلة (134) يمكننا كتابة التعبير التالي :

$$\hat{H}^0 \psi_n^1 = \sum_j a_{jn} [\hat{H}^0 \psi_j^0] = \sum_j a_{jn} E_j^0 \psi_j^0 \quad \dots (141)$$

والآن نعوض معادلة (141) في المعادلة الثانية من (139) لنحصل على :

$$\sum_j a_{jn} [E_j^0 - E_n^0] \psi_j^0 = (E_n^1 - \hat{H}^1) \psi_n^0 \quad \dots (142)$$

نضرب هذه المعادلة بالدالة  $\psi_n^{0*}$  ونجري التكامل لها ،

ومن ثم نحصل على :

$$\sum_j a_{jn} [E_j^0 - E_n^0] \int \psi_n^{0*} \psi_j^0 d\tau = E_n^1 \int \psi_n^{0*} \psi_n^0 d\tau - \int \psi_n^{0*} \hat{H}^1 \psi_n^0 d\tau \quad \dots (143)$$

وباستخدام خاصية التعامدية - التناسقية لدالات الحالة اللامضطربة ، أي :

$$\int \psi_n^{0*} \psi_j^0 d\tau = \begin{cases} 0 & \text{if } n \neq j \\ 1 & \text{in } n = j \end{cases} \quad \dots (144)$$

فإن المعادلة (143) ستختزل إلى الصيغة التالية :

$$E_n^1 = \int \psi_n^{0*} \hat{H}^1 \psi_n^0 d\tau = H_{nn}^1 \quad \dots (145)$$



وهذه هي طاقة اضطراب الرتبة الأولى وينبغي أن نضربها بالعامل المتغير  $\lambda$  ولأجل الحصول على  $\psi_n'$  يجب حساب الثوابت  $a_{jn}$  في معادلة (142) ولإنجاز هذا نضرب هذه المعادلة بـ  $\psi_i^*$  ومن ثم نجري التكامل ونستخدم الشرط الوارد في معادلة (144) لنحصل على :

$$a_{in} (E_i^0 - E_n^0) = - \int \psi_i^* \hat{H}' \psi_n^0 d\tau$$

أو :

$$a_{in} \frac{- \int \psi_i^* \hat{H}' \psi_n^0 d\tau}{(E_i^0 - E_n^0)} = \frac{H'_{in}}{E_n^0 - E_i^0} \quad (\text{for } i \neq n) \quad \dots (146)$$

إن هذه المعادلة تعين جميع قيم  $a_{in}$  وهي تسمى بمعاملات الامتزاج **mixing coefficients** . ما عدا تلك التي لـ  $a_{nn}$  حيث لا يمكن تعيينها بهذه الطريقة .

ولكن يمكن الحصول عليها من تطبيق شرط التناسق والنتيجة هي أن  $a_{nn}$  تساوي صفرًا . وهكذا يمكننا كتابة النتائج النهائية لـ  $E_n$  و  $\psi_n$  الصحيحة للمرتبة الأولى كما يلي :

$$E_n = E_n^0 + \lambda H'_{nn} + \lambda^2 (\dots p4) + \dots \quad \dots (147)$$

$$\psi_n = \psi_n^0 + \lambda \sum_i \frac{H'_{in}}{E_n^0 - E_i^0} \psi_i^0 + \lambda^2 (\dots) + \dots \quad \dots (148)$$

وقد وضعنا فاصلة على علامة الجمع (أي  $\sum'$ ) لنشير إلى أن الحد  $i = n$  قد أهمل وننظر الآن كيف تكون الطاقة لمسألة ذرة الهليوم : فإذا أهملنا

التنافر الإلكتروني  $\frac{e^2}{r_{12}}$  ، فإن كل إلكترون سيساهم بـ

$$E_n^0(1) = E_n^0(2) = Z^2 E_H = 4E_H$$

$$E_n = E_n^0(1) + E_n^0(2) = 2(4E_H) = 8E_H = -108.8 \text{ eV}$$

حيث (  $E_H = -13.6 \text{ eV}$  ) انظر معادلة (113) .

$$\hat{H}' = \frac{e^2}{r_{12}} \quad \text{بـ} \quad \hat{H}' \quad \text{يعطي المؤثر الهاملتومي الاضطرابي}$$

وإذا استخدمنا المستوى  $1s$  لذرة الهيدروجين لدالتنا  $\psi_n$  فإننا سنكتب

المعادلة (145) كالآتي :

$$\hat{H}'_n = \int \frac{e^2}{r_{12}} \psi_{1s,1s}^2 d\tau \quad \dots (149)$$

( إن كتابة  $1s$  مرتين في الدالة يعني أن كلا من الإلكترونين موجود

في  $1s$  ) كما أن حل هذه المعادلة يعطي :

$$E'_n = -\frac{5}{4} Z E_H = -\frac{5}{2} E_H = 34.0 \text{ eV}$$

وهكذا فإن :

$$E_n = E_n^0 + E'_n = -108.8 + 34.0 = -74.8 \text{ eV}$$

والتي هي قريبة من القيمة الحقيقية (  $-78.99 \text{ eV}$  ) .

وهذه الطريقة تستخدم للعديد من أنواع الاضطراب مثل تأثير البرم

الإلكتروني على المستويات الطاقة الإلكترونية . وأيضاً تأثير البرم النووي

على الدوران الجزيئي .

**طريقة التغير :**

وهي أكثر الطرق التقريبية استخداماً ، وسنطبقها

لاحقاً مع الجزيئات وبأخص عندما نريد حساب طاقات

الرنين للمركبات العضوية . أما الآن فسوف تقتصر معالجتنا على الذرات فقط .

والخطوة التي نقوم بها أن نضرب معادلة (137) بـ  $\psi_n^*$  ومن ثم نجري التكامل على كامل الفراغ لنحصل على :

$$\int \psi_n^* \hat{H} \psi_n d\tau = E_n \int \psi_n^* \psi_n d\tau \quad \dots (150)$$

حيث  $E_n$  تمثل الطاقة المحصل عليها من دالة موجية غير مضبوطة (تقريبية) أما  $\hat{H}$  فهو الهاملتوني الكلي للنظام . ونكتب المعادلة أعلاه بعد ترتيبها كالتالي :

$$E_n = \frac{\int \psi_n^* \hat{H} \psi_n d\tau}{\int \psi_n^* \psi_n d\tau} \quad \dots (151)$$

هذه المعادلة ستعطي القيمة الحقيقية (المضبوطة) للطاقة إذا كانت الدالة المستخدمة هي دالة موجية مضبوطة (الفرضية الثالثة) ولكن مع ذلك إذا كانت  $\psi_n$  هي دالة تقريبية فإن قيمة  $E_n$  لن تمثل القيمة الحقيقية .

وبالواقع إن نظرية التغيير تخبرنا بأنه لأية دالة موجية نختارها

$$E_n > E_{true} \quad \text{نحن سيكون :}$$

(حيث  $E_{true}$  هي الطاقة الحقيقية) أي أنه مهما اخترنا دالة لتمثيل النظام فإن الطاقة التي نحصل عليها ستكون أكبر أو تساوي الطاقة الحقيقية .

فإذا استطعنا أن نختار دالة موجية لنظام تتضمن عامل تغيير واحد أو أكثر ، فإن القيم التي تعود لأقل طاقة سوف تعطي أحسن دالة لوصف النظام .

والآن نطبق التغير كما يلي : نختار دالة تقريبية  $\psi_n$  يمكن فتحها بدلالة دالات موجية أخرى  $\phi_i$  ( مقبولة فيزيائياً ) لنحصل على :

$$\psi_n = c_1 \phi_1 + c_2 \phi_2 + \dots = \sum_{i=1}^n c_i \phi_i \quad \dots (152)$$

( إن الدالة  $\psi_n$  هنا هي اتحاد خطي لدالات موجية مستقلة وإن  $c_1$  و  $c_2$  و هي ثوابت ) .

فإذا عرضنا هذه الدالة في معادلة (151) ومن ثم خفضنا الطاقة إلى الحد الأدنى ( وذلك بإجراء تفاضل نسبة إلى أحد عوامل التغير وجعل الناتج مساوياً لصفر ) فإننا سنحصل على تقريب جيد للطاقة بشرط استخدام المؤثر  $\hat{H}$  الصحيح للنظام .

والآن إذا استخدمنا ثلاث دالات موجية مستقلة خطياً في معادلة (152) فسوف تكتب الدالة بالشكل التالي :  $\psi_n = c_1 \phi_1 + c_2 \phi_2 + c_3 \phi_3$  وعند تعويضها في معادلة (151) نحصل على :

$$E_n = \frac{\int (c_1 \phi_1 + c_2 \phi_2 + c_3 \phi_3) \hat{H} (c_1 \phi_1 + c_2 \phi_2 + c_3 \phi_3) d\tau}{\int (c_1 \phi_1 + c_2 \phi_2 + c_3 \phi_3)^2 d\tau} \quad \dots (153)$$

أي أن :

$$\begin{aligned} & \int [c_1 c_1 \phi_1 \hat{H} \phi_1 + c_1 c_2 \phi_1 \hat{H} \phi_2 + c_2 c_2 \phi_2 \hat{H} \phi_2 + c_2 c_1 \phi_2 \hat{H} \phi_1 + \dots] d\tau \\ & \int E [c_1 c_1 \phi_1 \phi_1 + c_1 c_2 \phi_1 \phi_2 + \dots] d\tau \quad \dots (154) \end{aligned}$$

ولأجل تبسيط هذه المعادلة وتنظيمها نستخدم التعابير المختصرة بدلاً من التكاملات المنفردة وكما يلي :

$$\int \phi_i \hat{H} \phi_j d\tau \quad \dots (155)$$

$$\int \phi_i \phi_j d\tau \equiv S_{ij}$$

وبذا نكتب معادلة (154) بالصيغة التالية :

$$\begin{aligned} & [ c_1^2 H_{11} + c_1 c_2 H_{12} + c_2^2 H_{22} + c_2 c_1 H_{21} + c_1 c_3 H_{13} + c_3 c_1 H_{31} \\ & + c_3 c_2 H_{32} + c_2 c_3 H_{23} + c_3^2 H_{33} ] \\ & = E [ c_1^2 S_{11} + c_1 c_2 S_{12} + \dots ] \end{aligned} \quad \dots (156)$$

ولأجل تعيين  $c_1$  عند الحد الأدنى نجري تفاضلاً نسبة إلى  $c_1$  .

$$2c_1 H_{11} + c_2 H_{12} + c_2 H_{21} + c_3 H_{13} + c_3 H_{31} = \left( \frac{\partial E}{\partial c_1} \right)$$

$$c_1^2 S_{11} + c_1 c_2 S_{12} + \dots + E (2c_1 S_{11} + c_2 S_{12} + \dots)$$

وعندما نجعل  $\left( \frac{\partial E}{\partial c_1} \right) = 0$  فإن المعادلة أعلاه تصبح كالاتي :

$$C_1 H_{11} + c_2 H_{12} + c_3 H_{13} = E ( c_1 S_{11} + c_2 S_{12} + c_3 S_{13} ) \quad \dots (157)$$

( حيث إن :  $S_{ij} = S_{ji}$  ,  $H_{ij} = H_{ji}$  ) .

ويمكن كتابة معادلة (157) بعد ترتيبها بالشكل التالي :

$$c_1 (H_{11} - S_{11}E) + c_2 (H_{12} - S_{12}E) + c_3 (H_{13} - S_{13}E) = 0 \quad \dots (158)$$

وبنفس الطريقة نحصل على معادلتين أخريين عندما نجري التفاضل

الجزئي نسبة إلى  $c_2$  ,  $c_3$  وهما :

$$c_1 (H_{21} - S_{21}E) + c_2 (H_{22} - S_{22}E) + c_3 (H_{23} - S_{23}E) = 0 \quad \dots (159)$$

$$c_1 (H_{31} - S_{31}E) + c_2 (H_{32} - S_{32}E) + c_3 (H_{33} - S_{33}E) = 0 \quad \dots (160)$$

إن محددة **determinat** العوامل  $c_i$  يجب أن تساوي صفراً لهذا

النوع من المعادلات الآتية ، أي أن :

$$\left\{ \begin{array}{l} (H_{11} - S_{11}E) (H_{12} - S_{12}E) (H_{13} - S_{13}E) \\ (H_{21} - S_{21}E) (H_{22} - S_{22}E) (H_{23} - S_{23}E) \\ (H_{31} - S_{31}E) (H_{32} - S_{32}E) (H_{33} - S_{33}E) \end{array} \right\} = 0 \dots (161)$$

والآن نرجع إلى المثال السابق ، ذرة الهليوم : وسنهمل حد التناثر  $\frac{e^2}{r_{12}}$  كافتراض أولى، ونتصور أن كل إلكترون يتحرك حول نواة الهليوم ذى الشحنة  $Z = +2$  . وسيكون المدار  $\psi_1$  الأقل طاقة للهليوم عبارة عن حاصل ضرب مدارين  $\phi_1$  و  $\phi_2$  ( كل منهما يمثل مدار ذرة هيدروجين ) .

$$\psi_1 = \exp\left(-\frac{Zr_1}{a}\right) \exp\left(-\frac{Zr_2}{a}\right) \dots (162)$$

( إن  $\psi_1$  المعطاة هنا هي غير متناسقة ) .

وإذا عوضنا هذه الدالة في معادلة (151) فإننا سنجد أن الطاقة تساوي  $-74.8$  إلكترون فولت . وعند مقارنتها بالقيمة الحقيقية  $-79.99 \text{ eV}$  فإن نتيجتنا ستكون مقبولة إذا أخذنا بنظر الاعتبار الدالة التقريبية المستخدمة .

والخطوة اللاحقة هي تحسين الدالة الموجية باستخدام بعض عوامل التغيير وسيكون اختيارنا لـ  $Z$  عاملاً للتغيير ( ولنفترض أن  $Z$  غير ثابتة ) وسنقوم بتخفيض الطاقة  $E_1$  نسبة إلى  $Z$  لإيجاد أحسن طاقة  $E$  والقيمة الفعالة effective value .

ويبدو أن هذا الافتراض مقبول لأننا نتوقع أن وجود إلكترون إضافي سيتسبب في حجب شحنة نووية عن الإلكترون الآخر . والآن نكتب الدالة الموجية التجريبية ( والمتناسقة ) كالآتي :

$$\psi_1 = \phi_1 \phi_2 = \frac{Z^3}{\pi a^3} \exp\left(-\frac{Zr_1}{a}\right) \exp\left(-\frac{Zr_2}{a}\right) \quad \dots (163)$$

أما المؤثر الهاملتوني لذرة الهليوم فهو :

$$\hat{H} = -\frac{\hbar^2}{2m_e} (\nabla_1^2 + \nabla_2^2) - Ze^2 \left[ \frac{1}{r_1} + \frac{1}{r_2} \right] + \frac{e^2}{r_{12}} \quad \dots (164)$$

حيث  $Z$  هي الشحنة النووية الحقيقية .

وعندما يؤثر المؤثر  $\hat{H}$  على الدالة  $\psi_1$  سنحصل على :

$$\begin{aligned} \hat{H}\psi_1 &= H\phi_1\phi_2 = (\nabla_1^2 + \nabla_2^2)\phi_1\phi_2 - Ze^2 \left[ \frac{1}{r_1} + \frac{1}{r_2} \right] \\ &\phi_1\phi_2 + \frac{e^2}{r_{12}} \phi_1\phi_2 \end{aligned}$$

أو بالشكل التالي :

$$\hat{H}\psi_1 = -\frac{\hbar^2}{2m_e} (\phi_2 \nabla_1^2 \phi_1 + \phi_1 \nabla_2^2 \phi_2) - \frac{Ze^2}{r_1} \phi_1\phi_2 - \frac{Ze^2}{r_2} \phi_1\phi_2 + \frac{e^2}{r_{12}} \phi_1\phi_2 \quad \dots (165)$$

إن كلا من  $\phi_1$  و  $\phi_2$  هو أوربيتال ذرة الهيدروجين ( وقد استبدلنا فيه  $Z$  بـ  $Z'$  ) ويجب أن يحققا معادلة ذرة الهيدروجين .

$$\left. \begin{aligned} -\frac{\hbar^2}{2m_e} \nabla_1^2 \phi_1 - \frac{Z'e^2}{r_1} \phi_1 &= Z'^2 E_H \phi_1 \\ -\frac{\hbar^2}{2m_e} \nabla_2^2 \phi_2 - \frac{Z'e^2}{r_2} \phi_2 &= Z'^2 E_H \phi_2 \end{aligned} \right\} \quad \dots (166)$$

وعند تعويض (166) في معادلة (165) ومن ثم نرتب الحدود لنحصل على :

$$\hat{H}\psi_1 = 2Z'^2 E_H \phi_1\phi_2 + (Z' - Z)e^2 \left[ \frac{1}{r_2} - \frac{1}{r_1} \right] \phi_1\phi_2 + \frac{e^2}{r_{12}} \phi_1\phi_2$$

$$= 2Z'E_H\psi_1 + (Z' - Z)e^2 \left[ \frac{1}{r_1} + \frac{1}{r_2} \right] \psi_1 + \frac{e^2}{r_{12}} \psi_1 \quad \dots (167)$$

والآن نضرب هذه المعادلة بـ  $\psi_1^*$  ومن ثم نجري تكاملاً على كامل الفراغ لإيجاد  $E_1$  من معادلة (151) ، وسنهمل المقام لأنه يساوي واحدًا على اعتبار أن الدالات متناسقة :

$$\begin{aligned} E_1 &= \int \psi_1^* \hat{H} \psi_1 d\tau \\ &= \int \psi_1^* (2Z'^2 E_H) \psi_1 d\tau + (Z' - Z)e^2 \int \psi_1^* \left( \frac{1}{r_1} + \frac{1}{r_2} \right) \psi_1 d\tau + \int \psi_1^* \frac{e^2}{r_{12}} \psi_1 d\tau \quad \dots (168) \end{aligned}$$

إن الحد الأول يمكن إيجاده بسهولة لأن  $2Z'^2 E_H$  هي كمية ثابتة ، أي أن :

$$\int \psi_1^* (2Z'^2 E_H) \psi_1 d\tau = 2Z'^2 E_H \int \psi_1^* \psi_1 = 2Z'^2 E_H \quad \dots (169)$$

أما الحد الثاني فيعطي :

$$\begin{aligned} (Z' - Z)e^2 \int \psi_1^* \left( \frac{1}{r_1} + \frac{1}{r_2} \right) \psi_1 d\tau &= (Z' - Z)e^2 \int \phi_1 \phi_2 \left( \frac{1}{r_1} + \frac{1}{r_2} \right) \phi_1 \phi_2 d\tau \\ &= (Z' - Z)e^2 \int \phi_1 \phi_2 \left( \frac{1}{r_1} \right) \phi_1 \phi_2 d\tau + (Z' - Z)e^2 \int \phi_1 \phi_2 \left( \frac{1}{r_2} \right) \phi_1 \phi_2 d\tau \\ &= (Z' - Z)e^2 \int \phi_1 \left( \frac{1}{r_1} \right) \phi_1 d\tau + (Z' - Z)e^2 \int \phi_2 \left( \frac{1}{r_2} \right) \phi_2 d\tau \quad \dots (170) \end{aligned}$$

( حيث إنه في حد  $r_1$  يكون  $\int \phi_2 \phi_2 d\tau = 1$  وفي حد  $r_2$

يكون  $\int \phi_1 \phi_1 d\tau = 1$  أيضًا ) .

إن الحدين في معادلة (170) هما متماثلان ، لذا نكتب :



$$\begin{aligned}
(Z'-Z)e^2 \int \psi_1^* \left( \frac{1}{r_1} + \frac{1}{r_2} \right) \psi_1 d\tau &= 2(Z'-Z)e^2 \int \phi_1 \left( \frac{1}{r_1} \right) \phi_1 d\tau \\
&= 2(Z'-Z)e^2 \int \frac{\phi_1^2}{r_1} d\tau \\
&= -4(Z'-Z)Z'E_{II} \quad \dots (171)
\end{aligned}$$

أما الحد الأخير في معادلة (168) فقد تم حسابه عندما تطرقنا لطريقة الاضطراب .

$$\int \psi_1^* \left( \frac{e^2}{r_{12}} \right) \psi_1 d\tau = -\frac{5}{4} Z'E_{II} \quad \dots (172)$$

والآن نـدخـل المعادلات (169) و (171) و (172) فـي معادلة (168) لينتج لنا :

$$= -2Z'^2 + 4ZZ' - \frac{5}{4} Z' | E_{II} \quad \dots (173)$$

والآن ومن أجل إيجاد أحسن قيمة للنظافة نقوم بتخفيض  $E_I$  إلى الحد الأدنى وذلك بإجراء تفاضل نسبة إلى  $Z'$  أي :

$$\frac{\partial E_I}{\partial Z'} = 0 = \left[ -4Z' + 4Z - \frac{5}{4} \right] E_{II}$$

ومنها نحصل على :

$$Z' - Z = \frac{5}{16} \quad \dots (174)$$

إن هذه القيمة لـ  $Z'$  تعطي أحسن طاقة ممكنة مناظرة للدالة الموجية المختارة وعند تعويض  $Z'$  في معادلة (173) نحصل على :

$$E_I = \left[ -2 \left( Z - \frac{5}{16} \right)^2 + 4Z \left( Z - \frac{5}{16} \right) - \frac{5}{4} \left( Z - \frac{5}{16} \right) \right] E_{II} = -77.5 \text{ eV}$$

وهي قريبة من القيمة الحقيقية  $78.99 \text{ eV}$  - وأحسن من القيمة التي حصلنا عليها من طريقة الاضطراب ( وقد كانت  $-74.8 \text{ eV}$  ) .

### التركيب الجزيئي : Molecular structure :

فيما سبق لم نتطرق إلى الذرات ، والآن نستطيع الشرح ووصف كيفية اتحاد الذرات لتكوين الجزيئات . يوجد نوعان ( متطرفان ) في الترابط :

روابط نقية أيونية وأخرى نقية تساهمية فالرابطة الأيونية النقية تتطلب أن تفقد ذرة كلياً لإلكتروناتها ( أو أكثر ) ونقله ( أو نقلها ) لذرة أو ذرات أخرى مكونة أيونات . ومن المحتمل أنه لا يوجد ترابط أيوني نقي ولكن مع ذلك يوجد العديد من المركبات الأيونية ( تلك المركبات تمتلك خاصية أيونية عالية ) .

أما الترابط التساهمي النقي فيطلب أن تشارك ذرتان لإلكترونيهما ( أو أكثر ) بالتساوي ، وهذا الترابط ممكن في مركبات تسمى الجزيئات الثنائية الذرة المتجانسة مثل  $N_2$  ,  $Cl_2$  ,  $O_2$  . ولا يوجد سبب هنا للاعتقاد بأن إحدى الذرتين تمتلك قابلية جذب الإلكترونات نحوها أكبر مما للأخرى .

وتقع معظم المركبات بين هذين المتطرفين للترابط يسمى المعامل الذي يرتبط بدرجة جذب ذرة في مركب لإلكترون الترابط نحوها بالسالبية الكهربائية **electronegativity** وقد تمكن ميليكان **Muliken** من إيجاد علاقة لحساب السالبية الكهربائية (  $z$  ) من جهود التأين (  $I$  ) واللفة الإلكترونية (  $i$  ) .

$$z = \frac{1 + A}{5.6} \quad \dots (175)$$

وقد استطاع باولنك **Pauling** أيضاً حساب قيم السالبية الكهربائية وقد استخدم الفرق الطاقي (  $\Delta$  ) بين طاقة الرابطة الحقيقي وطاقة الآفة التساهمية ، وجعل الفرق الطاقي مقياساً لفرق السالبية الكهربائية بين ذرتي الرابطة ( مثل  $A - B$  ) وهكذا فمعادلة باولنك هي :

$$\sqrt{\Delta} = z_B - z_A \quad \dots (176)$$

وتساعدنا قيم السالبية الكهربائية على معرفة الخاصية الأيونية في الرابطة . وكلما كان الفرق في السالبية الكهربائية بين ذرتي المركب كلما كان المركب أكثر أيونية ، وبالتالي أكثر قطبية ) .

كما أن المعالجة الصحيحة والكاملة للجزيئات يجب أن تستند على ميكانيك الكم وأنه من غير الممكن إدراك ثباتية الرابطة التساهمية ( وكما هو الحال في  $H_2$  ) من دون ميكانيك الكم .

وبسبب الصعوبات الرياضية الناشئة من تطبيق ميكانيك الكم للجزيئات ، حاول الكيميائيون استخدام العديد من الطرق والمفاهيم التجريبية لوصف الترابط وأن الطريقة التقريبية الأكثر استخداماً في وصف التركيب الإلكتروني الجزيئي هي طريقة المدار الجزيئي .

\* \* \*

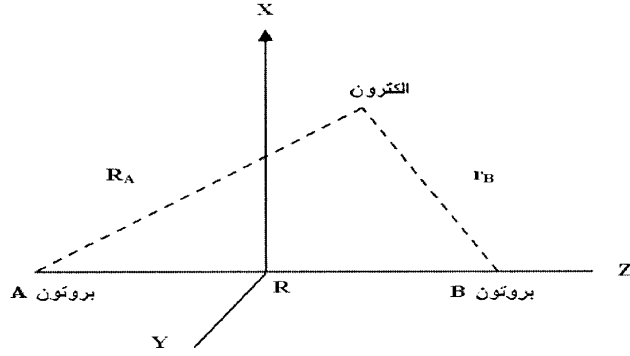


## الباب السابع

### طرق المدار الجزيئي في كيمياء الكم

( أ ) أيون جزيء الهيدروجين :  $H_2^+$  .

وهو أبسط جزيء ويحتوي على بروتونين وإلكترون واحد ، كما هو موضح في الشكل التالي :



مخطط يوضح المسافات المستخدمة في مسألة أيون جزيء الهيدروجين

إن هذا الأيون قد اكتشفه لومبسون Thompson في الأشعة الكاثودية ووجد أنه يمتلك مسافة نووية بينية ( عند التوازن ) تساوي  $1.060 \text{ \AA}$  وطاقة ربط مقدارها هو  $2.791 \text{ eV}$  .

وفي المعالجة المهمة لهذه المسألة ندون الخطوات التي غالبًا ما تستخدم :  
١- نختار دالات موجية مناسبة ( قد تتضمن بعضا من عوامل التغيير ) .

- ٢- نختار قيمة للمسافة النووية البينية ( أي المسافة بين النواتين ) .
- ٣- نحل معادلة شرودنجر لإيجاد الطاقة .
- ٤- إذا أدخلنا في الدالة عوامل تغير ، فإنه ينبغي تخفيض الطاقة إلى الحد الأدنى نسبة إلى هذه العوامل باستخدام طريقة التغير .
- ٥- نعيد ما ذكر أعلاه ولكن مع مسافات نووية بينية أخرى من أجل الحصول على مخطط لـ  $E$  مقابل المسافة النووية البينية .

والآن لنكتب المؤثر الهاملتوني لهذا الجزيء كما يلي :

$$\hat{H} = -\frac{\hbar^2}{2m_e} \nabla_e^2 - \frac{\hbar^2}{2m_A} \nabla_A^2 - \frac{\hbar^2}{2m_B} \nabla_B^2 - \frac{e^2}{r_B} + \frac{e^2}{R} \quad \dots (177)$$

وباستخدام تقريب بورن - أوبنهايمر . فإنه يمكننا فصل الحركات النووية عن الحركات الإلكترونية لمسافة نووية بينية معلومة . وهكذا فإن المسألة التي تهمننا ( أي الحركات الإلكترونية ) ستختزل المؤثر الهاملتوني إلى الصيغة التالية :

$$\hat{H} = -\frac{\hbar^2}{2m_e} \nabla_e^2 + \left\{ -\frac{e^2}{r_A} - \frac{e^2}{r_B} + \frac{e^2}{R} \right\} \quad \dots (178)$$

وعندئذ فالمعادلة المراد حلها (  $\hat{H} \psi = E \psi$  ) تكتب كالآتي :

$$\hat{H} = -\frac{\hbar^2}{2m_e} \nabla_e^2 \psi + \left\{ -\frac{e^2}{r_A} - \frac{e^2}{r_B} + \frac{e^2}{R} \right\} \psi = E \psi \quad \dots (179)$$

وكافتراض مقبول نتصور أن الدالة الموجية ( الأوربيتال الجزيئي ) لأيون جزيء الهيدروجين تتركب من أوربيتالين ذرتين من نوع  $1s$  ، نرمز لهما  $1s_A$  ,  $1s_B$  ( إن كلا منهما يمثل أوربيتال ذرة الهيدروجين وهو :

$$\left( 1s = \frac{1}{\sqrt{\pi}} \left( \frac{1}{a} \right)^{3/2} \exp \left( -\frac{r}{a} \right) \right)$$

ويعرف هذا التركيب بالاتحاد الخطي للمدارات

الذرية ( LCAO ) Linear Combination of atomic Orbitals وهكذا

نكتب  $\psi$  كما يلي :

$$\psi = \frac{1}{N} ( 1s_A + 1s_B ) \quad \dots (180)$$

( حيث N هو ثابت التماسق ) .

أما الطاقة فيمكن حسابها ( كما مر سابقاً ) من :

$$\begin{aligned} E &= \frac{\int \psi^* \hat{H} \psi d\tau}{\int \psi^* \psi d\tau} \\ &= \frac{\frac{1}{N^2} \int ( 1s_A^* \hat{H} 1s_A^* \hat{H} 1s_B + 1s_B^* \hat{H} 1s_A + 1s_B^* \hat{H} 1s_B ) d\tau}{\frac{1}{N^2} \int ( 1s_A + 1s_A^* 1s_B + 1s_B^* 1s_A + 1s_B^* 1s_B ) d\tau} \\ &= \frac{H_{AA} + H_{AB} + H_{BA} + H_{BB}}{S_{AA} + S_{AB} + S_{BA} + S_{BB}} \quad \dots (181) \end{aligned}$$

$$S_{ij} = \int 1s_i^* 1s_j d\tau, H_{ij} = \int 1s_i^* \hat{H} 1s_j d\tau \quad \text{حيث إن :}$$

ويسبب تماثل ( أو تناظر ) أيون جزيء الهيدروجين في

كلتا النواتين كما هو واضح من الشكل السابق وكذلك

لكون  $1s_B, 1s_A$  متناسقة لذا نكتب :

$$H_{AA} = H_{BB}, H_{AB} = H_{BA}, S_{AB} = S_{BA}, S_{AA} = S_{BB} = 1$$

يسمى  $S_{AB}$  بتكامل التراكيب **overlap integral** . وإن قيمته تعود إلى تراكيب أو منطقة المشاركة في الفراغ بين الذرتين  $B, A$  . وهكذا تصبح معادلة (181) كالآتي :

$$E = \frac{2H_{AA} + 2H_{AB}}{2 + 2S_{AB}} = \frac{H_{AA} + H_{AB}}{1 + S_{AB}} \quad \dots (182)$$

إن حساب كل حد في المعادلة (182) يتطلب معالجة رياضية واسعة . وسنعرض بإيجاز لبعضها هنا . فمثلاً :

$$H_{AA} = \int 1s_A^* \hat{H} 1s_A d\tau$$

نعوض فيها عن  $\hat{H}$  من معادلة (178) لنحصل على :

$$\begin{aligned} H_{AA} &= 1s_A^* \left[ \frac{\hbar^2}{2m_e} \nabla^2 + \frac{e^2}{r_A} \right] 1s_A d\tau + \int 1s_A^* \left[ -\frac{e^2}{r_B} + \frac{e^2}{R} \right] 1s_A d\tau \\ &= E_{1s} + \int 1s_A^* \left( -\frac{e^2}{r_B} \right) 1s_A d\tau + \int 1s_A^* \left( \frac{e^2}{R} \right) 1s_A d\tau \\ &= E_{1s} + J + \frac{e^2}{R} \int 1s_A^* 1s_A d\tau \\ &= E_{1s} + J + \frac{e^2}{R} \quad \dots (183) \end{aligned}$$

حيث إن  $J$  أو  $\left( \int 1s_A^* \left( -\frac{e^2}{r_B} \right) 1s_A d\tau \right)$  يمثل طاقة جذب الإلكترون من قبل البروتون  $B$  .

وإذا اقترب البروتون وذرة الهيدروجين من بعضهما فسوف يميل  $H_{AA}$  إلى جعل النظام مستقرًا مادام الحد القاني في (183) سيصبح أكثر سلبية كلما نقصت المسافة  $R$  وعلى أية حال . هذه الاستقرارية تلغي من قبل التناثر بين النوى .



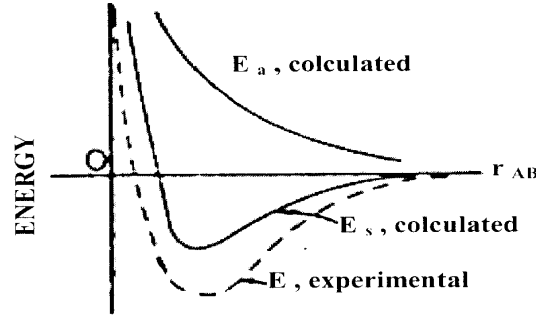
أما  $H_{AB}$  فيمكن حسابه بطريقة مشابهة لما ذكر أعلاه ، وقد وجد أنه يساوي :

$$H_{AB} = E_{1s} S_{AB} + K + \frac{e^2}{R} S_{AB} \quad \dots (184)$$

حيث إن  $K$  أو  $\left( \int 1s_A^* \left( -\frac{e^2}{r_A} \right) 1s_B d\tau \right)$  يسمى بتكامل التبادل **exchange integral** لأنه يتضمن حركة الإلكترون حول النواتين .  
والآن سيكون التعبير النهائي للطاقة ( بدلالة  $J$  و  $K$  و  $S_{AB}$  الذي يمكن حسابهم ) بعد تعويض معادلتني (183) ، (184) ، (182) كالآتي :

$$E = E_{1s} + \frac{e^2}{R} + \frac{J + K}{1 + S_{AB}} \quad \dots (185)$$

ولقد وجد أن تكامل التداخل  $K$  يكون سالباً في حين يكون  $J$  موجباً وعند حل معادلة (185) لعدد من قيم  $R$  ( المسافة النووية البينية ) فإننا سنحصل على قيم مناظرة للطاقة . ويمكن رسم هذه القيم تخطيطياً مقابل  $r_{AB}$  لنحصل على الشكل التخطيطي التالي :



منحنيات طاقة الجهد النظرية والعملية لأيون  $H_2^+$

حيث  $E_s$  تعود للطاقة المعطاة في معادلة (185) أعلاه . وكما هو واضح ظهر عندنا جزيئة مستقرة لبعض من قيم  $R$  .  
والآن عندما نختار دالة موجية أخرى ( انظر معادلة (180) ) مثل :

$$\psi = \frac{1}{N} ( 1s_A - 1s_B ) \quad \dots (186)$$

فإننا وبطريقة مشابهة لما ذكر أعلاه سنحصل على :

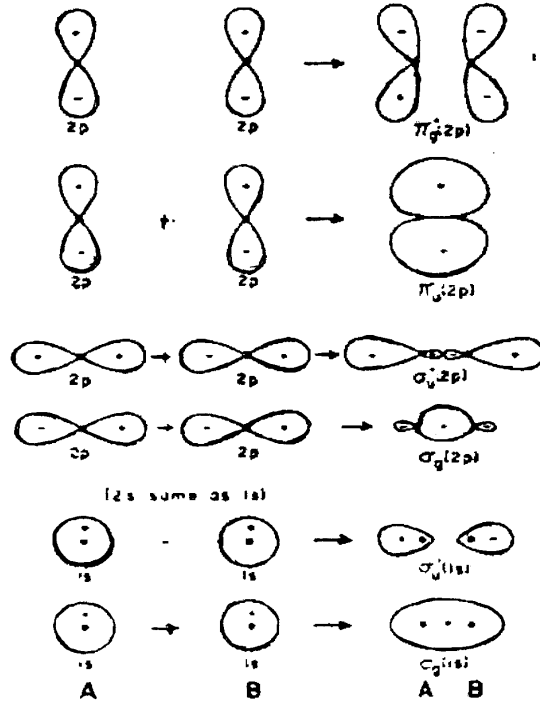
$$E_a = E_{1s} + \frac{e^2}{R} + \frac{J + K}{1 - S_{AB}} \quad \dots (187)$$

هذه الطاقة قد رسمت أيضاً في المخطط السابق وإن الرموز  $a, s$  الموجودة أسفل رمز الطاقة الكلية ( أي  $E_a, E_s$  ) تشيران إلى التماثل ( أو التناظر )  $symmetric$  ومضاد التماثل  $antisymmetric$  .

فالمعادلة (180) هي متناظرة نسبة إلى تبديل  $A, B$  في حين معادلة (186) يحدث تغير في الإشارة عند إجراء نفس التبديل ولذا فهي مضادة للتماثل . وقد حسبت  $E_s$  عند  $R = 1.32A^\circ$  ( النهاية الدنيا في المنحني ) وكانت تساوي  $1.76 \text{ eV} -$  . بينما كانت النتيجة العملية تساوي  $2.79 \text{ eV} -$  عند  $R = 1.06 R$  وكما هو واضح فإن نتيجتنا ليست جيدة .

ويمكن إجراء بعض التحسينات على الدالة المختارة وذلك بإدخال عامل التغير  $Z$  في هذه الدالة وإبناجاز هذا فقد تم الحصول على  $E_s$  عند  $R = 1.06A^\circ$  لقيمة  $Z' = 1.228$  .

ويمكن معالجة الحالات المتهيجة وهي العالية الطاقة لأيون جزيء الهيدروجين بطريقة مشابهة لما ذكرناه سابقاً في حساب طاقاتها والتوزيع الإلكتروني لكل حالة . وتدون النتائج في الشكل التالي :



الأوربيتالات الجزيئية ( المتكونة من الاتحاد الخطي للأوربيتالات الذرية ) والتوزيعات  
الاحتمالية الإلكترونية لأيون  $H_2^+$

ومما يجدر ملاحظته هو أن جميع هذه الحلول هي تقريبية . وفي هذا  
الشكل ظهرت رموز على المدارات الجزيئية ، فالمدار الجزيئي  $\sigma$  يعود إلى  
التركيب المباشر لمدارين في ذرتين .

بينما المدار الجزيئي  $\pi$  فيتكون عندما يقترب مداران ذريان من نوع  $P$  ، ويكون محوري المدارين متوازيين لبعضهما البعض وعموديين على محور الرابطة  $A - B$  .

أما الرمز  $*$  ( أو علامة النجمة ) فتشير إلى المدار المضاد الارتباط وهو المدار غير المستقر لجميع قيم وكذلك يظهر الرمز  $g$  و  $u$  وهما يشيران إلى نوع التماثل للأوربيتال نسبة إلى الانقلاب خلال النقطة الوسطى بين النواتين .

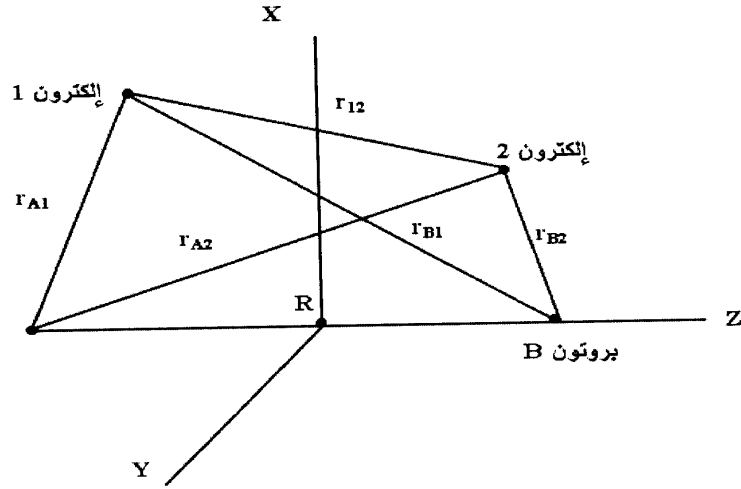
فالرمز  $g$  يشير إلى أن دالة المدار لا تتغير عندما ننجز عملية الانقلاب أي أن المدار يكون متماثلاً أما الرمز  $u$  فيدل على أن دالة المدار تغير الإشارة عندما ننجز عملية الانقلاب، أي أن المدار هو مضاد التماثل .

### ب ( جزيء الهيدروجين $H_2$ :

إن توسيع المعالجة السابقة ( مع أيون  $H_2^+$  ) لتشمل جزيء الهيدروجين أمر واضح المعالم ولكن الحسابات تزداد تعقيداً .

ففي جزيء الهيدروجين والمبين في الشكل التالي بالإضافة إلى تجاذبات إلكترون - نواة وتنافر نواة - نواة يوجد تنافر إلكترون - إلكترون .

وفي الحقيقة يعتبر الحصول على حل مضبوط أمر غير ممكن والخطوات التي يمكن اتباعها هنا تشابه تلك المتبعة مع  $H_2^+$  ( إلا أنها أكثر صعوبة ) والدالات المختارة التي سنستخدمها هنا تشابه تلك المعطاة في معادلة (180) ويوضع كل إلكترون في مدار يرمز له بـ  $\psi$  .



المسافات المستعملة في مناقشة مسألة جزيء الهيدروجين

$$\left. \begin{aligned} \psi(1) &= \frac{1}{N} [1s_A(1) + 1s_B(1)] \\ \psi(2) &= \frac{1}{N} [1s_A(2) + 1s_B(2)] \end{aligned} \right\} \dots (188)$$

أما الدالة التي نستخدمها لمعادلة شروينجر فهي تساوي حاصل ضرب الدالتين  $\psi(1)$  و  $\psi(2)$  أي أن :

$$\psi_1 = \frac{1}{N} \psi(1) \psi(2) \dots (189)$$

حيث  $N$  هو ثابت التناسق .

وعند تعويض معادلة (188) في معادلة (189) ومن ثم ترتيب الحدود نحصل على :

$$\psi_1 = \frac{1}{N^2} [1s_A(1)1s_A(2) + 1s_B(1)1s_B(2)] + \frac{1}{N^2} [1s_A(1)1s_B(2) + 1s_A(2)1s_B(1)]$$

$$= \psi_{\text{ionic}} + \psi_{\text{cov}}$$

حيث **cov.** تشير إلى الخاصية التساهمية و **ionic** إلى الخاصية الأيونية إن أول حدين في المعادلة أعلاه هما حدا الأيونية **ionic terms** . وهنا نرى أن كلا الإلكترونين على إحدى النواتين . أما الحدين الآخرين فهما حدي التساهمية **covalent terms** وهنا يتم المشاركة بالإلكترون .

إن الطاقة المحسوبة من استخدام هذه الدالة غير مرضية ، هذا لا يثير دهشتنا لأن هذه الدالة تتضمن تقلاً متساوياً من الحدود الأيونية والتساهمية فإذا أهملنا الحدود الأيونية كلياً فإننا سنحصل على قيم جيدة ومنسجمة مع النتيجة العملية .

ويمكن الحصول على نتيجة أكثر جودة عندما نضع عاملاً متغيراً  $\lambda$  في حدود الأيونية، ومن ثم نخفض الطاقة إلى الحد الأدنى بإجراء التفاضل نسبة إلى ذلك المتغير هذه الطريقة تعطي  $\lambda = 0.16$  .

إن الدالات الموجية التي اخترناها قد أعطت طاقة ربط ( أو طاقة جهد ) أقل من قيم الطاقة للذرات المنفصلة .  
أما الآن فنختار دالة موجية جديدة وكما يلي :

$$\left. \begin{aligned} \psi(1) &= \frac{1}{N} [1s_A(1) - 1s_B(1)] \\ \psi(2) &= \frac{1}{N} [1s_A(2) - 1s_B(2)] \\ \psi_{11} &= \frac{1}{N} \psi(1)\psi(2) \end{aligned} \right\} \dots (190)$$

وكما هو واضح فإن هذه الدالة الموجية ( $\psi_{11}$ ) تعطي دائماً قيماً طاقية أعلى من طاقة الذرات المنفصلة . وبذا فالجزيئة تكون غير مستقرة عندما تصف بواسطة  $\psi_{11}$  ويقال لها أوربيتال مضاد الارتباط في حين تمثل  $\psi_1$  الأوربيتال الارتباطي .

### وصف نظرية رابطة - التكافؤ لجزيئة الهيدروجين :

لقد افترضنا أعلاه بأن المدار الجزيئية قد تكونت ثم أضيفت الإلكترونات لتكوين الجزيئة . وهناك طريقة أخرى تفترض بأن كل ذرة ستحتفظ بكيانها عند تكوين الجزيئية .

أي يحصل الإلكترون (1) على الذرة A والإلكترون (2) على الذرة B أما الدالة الموجية لمثل هذا النوع فتكتب كالاتي :

$$\psi'_1 = 1s_A (1) 1s_B (2) \quad \dots (191)$$

لهذه الدالة قد أعطيت أقل طاقة مقدارها  $0.4 \text{ eV}$  - عند مسافة  $1A^\circ$  وعند مقارنتها بالنتيجة العملية  $4.745 \text{ eV}$  - عند  $0.74A^\circ$  فهو واضح أن النتيجة النظرية أعلاه غير مشجعة .

وقد أجرى تحسيناً لهذه الدالة الموجية بأخذ مبدأ المشاركة الإلكترونية بنظر الاعتبار أي :

$$\psi'_{11} = 1s_A (2) 1s_B (1) \quad \dots (192)$$

وعند توحيد  $\psi'_1$  ,  $\psi'_{11}$  نحصل على :

$$\begin{aligned} \psi'_s &= \frac{1}{N} [ \psi'_1 + \psi'_{11} ] \\ &= \frac{1}{N} [ 1s_A (1) 1s_B (2) + 1s_A (2) 1s_B (1) ] \quad \dots (193) \end{aligned}$$

هذه الدالة الموجية ( وهي تسمى بدالة هيتلر - لندن أو دالة رابطة التكافؤ ) قد أعطت أقل طاقة مقدارها  $3.14 \text{ eV}$  - عند  $0.469$  - . وهي نتيجة مقبولة عند مقارنتها بالنتيجة العملية المذكورة أعلاه . ومن عيوب الدالة الموجية  $\psi_s$  أنها تحوي حدودا تساهمية فقط ، وعند إضافة .

$$\psi_{III} = 1s_A (1) 1s_A (2)$$

$$\psi_{II} = 1s_B (1) 1s_B (2)$$

سوف يحسن من النتيجة .

### مخططات الترابط : Correlation Diagrams :

لقد استخدمنا سابقاً حل ذرة الهيدروجين في إعطاء الجدول الدوري للعناصر ، وبالرغم من كون التداخلات الإلكترونية في الذرات المتعددة الإلكترونات هي معقدة إلا أن عدد الحالات الإلكترونية هي نفس تلك المحددة لذرة الهيدروجين وأن استخدام طريقة مماثلة مع الجزيئات سيكون ذا فائدة .

فمخططات الترابط تعني عدد الحالات الإلكترونية **electronic states** في الجزيئات الثنائية الذرة مع أعداد الكم المناظرة للأوربيبتالات الجزيئية . إن الأوربيبتالات الجزيئية هذه تكون مرتبطة بالحالات الإلكترونية للذرات المنفصلة والذرات المتحدة .

ويمكننا الحصول على تصور واضح للمستويات الطاقة النسبية للمدارات الجزيئية وذلك باستخدام الذرة المتحدة . فلو تصورنا أننا بدأنا بذرتين هيدروجين ومن ثم سمحنا لهما بالاقتراب حتى الالتحام وتكوين ذرة الهيليوم .



بهذه الطريقة نستطيع ربط **correlate** الأوربيتالات الذرية الأولية في ذرات الهيدروجين مع المدارات الذرية النهائية في ذرة الهيليوم أما المدارات الجزيئية لـ  $H_2$  فإنها تقع في مكان ما على الخط الواصل بين الحالتين الأولية والنهائية عند المسافة النووية البينية الصحيحة لجزيء الهيدروجين .

فإذا تصورنا اندماج النواتين في نواة واحدة لها  $Z = 2$  وهي تعود إلى أوربيتال  $He'$  ( أيون الهليوم ) الذري ( وما ذكرنا أعلاه هو أننا لا نعني في الحقيقة يمكنها الاندماج لأن هذا غير ممكن بسبب التنافر بين النوى ) ومع ذلك يمكننا إهمال هذه التنافرات عندما نريد بناء مخططات الترابط .

وعندها سترى أن أوربيتالي  $1s$  في  $H'_2$  سيتحدان لتكوين مدار  $\sigma_g$  الجزيئي . فإذا سمحنا للنواتين بالتراكيب (  $R = 0$  ) فإننا سنحصل على مدار شبيه  $He'$  الذري الذي يمتلك خصائص  $1s$  . وسوف نرمز للمدار الذري المتحد بـ  $1s\sigma_g$  ولأوربيتال الذري المنفصل ( المستقل ) (  $1s$  )  $\sigma_a$  من أجل توضيح العلاقة بين الاثنين .

وكما هو الحال مع الجدول الدوري للعناصر حيث كان يعطينا التسلسل في ملء المدارات الذرية ، فإن مخططات الترابط تعطينا التسلسل في ملء المدارات الجزيئية .

وعندما نستخدم مبدأ البناء ( **Aufbau Principle** ) الذي مر ذكره سابقاً حيث نضيف الإلكترونات لأقل مستوى طاقي متوفر مع مراعاة عدم خرق مبدأ باولي للاستثناء ( لا يوجد إلكترونين لهما نفس البرم ويحتلان نفس الأوربيتال ) والآن لنأخذ المثال التالي :

### مثال :

اذكر تسميات الأوربيتال الجزيئي :

١- جزيئة الهليوم  $\text{He}_2$  .

٢- جزيئة النتروجين  $\text{N}_2$  .

ثم ما هي رتبة الرابطة وكذلك عدد الإلكترونات غير المزدوجة في كل منها .

### الحل :

(١) جزيئة الهليوم  $\text{He}_2$  :

يمتلك  $\text{He}_2$  أربع إلكترونات . ويدخل الإلكترون الأول إلى  $\sigma(1s)$  وببرم معلوم ( وعادة يشار لاتجاه البرم بسهم كما هو مبين أدناه ) :

ويدخل الإلكترون الثاني إلى  $\sigma(1s)$  وببرم معاكس لبرم الإلكترون الأول .

$\uparrow\downarrow \sigma^*(1s)$

$\uparrow\downarrow \sigma(1s)$

إن كل أوربيتال يسع لإلكترونين فقط لذا فإن الإلكترون الثالث والرابع سيدخلان الأوربيتال اللاحق  $(1s)$   $\sigma^*$  وستكون تسمية الأوربيتال الجزيئي بـ  $\text{He}_2$  بالشكل  $\sigma^*(1s)^2 \sigma(1s)^2$  ولا توجد إلكترونات منفردة .

$$b = \frac{N_B - N_{AB}}{2} \quad \dots (194)$$

حيث  $N_B$  عدد الإلكترونات الارتباطية  $N_{AB}$  هو عدد الإلكترونات المضادة الارتباط وبالنسبة لـ  $\text{He}_2$  تكون رتبة الأصرة :

$$b = \frac{2 - 2}{2} = 0$$

ولذلك لا يوجد ميل لـ  $\text{He}_2$  بتكوين مركب مستقر .

## ٢) جزيئة النتروجين $N_2$ :

إن عدد الإلكترونات الموجودة في الجزيئة هي 14 . وستمأ الإلكترونات الثمانية الأولى الأوربيتالات التالية :

$$\sigma (1s)^2 \sigma^* (1s)^2 \sigma (2s)^2 \sigma^* (2s)^2 .$$

وهذا سيترك ستة إلكترونات التي بدورها ستدخل الأوربيتالات الجزيئة المكونة من أوربيتالات  $p$  . فالإلكترون التاسع سيدخل في إحدى أوربيتالي  $\pi (2p)$  ويدخل الإلكترون العاشر في الآخر كما هو مبين أدناه :

-----  $\sigma^* (2p)$

-----  $\pi^* (2p)$

-----  $\sigma (2p)$

-----  $\uparrow$ ----- $\uparrow$ ---  $\pi (2p)$

ويدخل الإلكترون الحادي عشر والثاني عشر إلى أوربيتالي  $\pi (2p)$  وببرم معاكس ولم يبق سوى إلكترونين سيمأان  $\sigma (2p)$  أي :

-----  $\sigma^* (2p)$

-----  $\pi^* (p)$

----- $\uparrow\downarrow$ -----  $\sigma (2p)$

----- $\uparrow\downarrow$ ----- $\uparrow\downarrow$ ---  $\pi (2p)$

ولا توجد هنا إلكترونات منفردة ، أما رتبة الرابطة  $b$  فهي :

$$b = \frac{N_p - N_{AB}}{2} = \frac{10 - 4}{2} = 3$$

وتكون تسمية الأوربيتال الجزيئي كالآتي :

$$\sigma (1s)^2 \sigma^* (1s)^2 \sigma (2s)^2 \sigma^* (2s)^2 \pi (2p) \pi^* (2p)^2 \sigma (2p)^2$$

أما الآن فنضيف بعض الشيء عن أشكال المدارات المتكونة :

إن أبسط طريقة لتصوير هذه المدارات الجزيئية هو تقريب مدارات من بعضها البعض للتداخل ويمكن عمل هذا تخطيطيًا من دون صعوبات . ولكن بنفس الوقت توجد نقطة مهمة يجب إنجازها قبل كل شيء . هذه النقطة تتعلق بالتماثل **symmetry** .

إن الدالات المكونة للأوربيتالات الذرية والجزيئية تكون متماثلة **symmetrical** ومضادة التماثل **antisymmetrical** نسبة إلى التغير في إشارة جميع الإحداثيات .

فإذا كانت الدالة تمتلك خاصية التماثل ( أي أن :  $f(x, y, z) = f(-x, -y, -z)$  ) يعطي لها الرمز السفلي **g** ( وهو مشتق من **gerade** ) أما في حالة الدالة  $f(x, y, z) = -f(-x, -y, -z)$  فهي مضادة التماثل ويعطي لها الرمز السفلي **u** ( وهي من **ungerade** ) .

إن الدالة **s** هي دائماً موجبة ، أما دالة **p** فهي موجبة لقيم الإحداثي الموجبة وتكون سالبة لقيم الإحداثي السالبة .

وإذا جعلنا أوربيتالين يتداخلان فإننا ينبغي أن نأخذ إشارة الدالة بنظر الاعتبار كما هو مبين في الشكل نفسه . ومما نلاحظه من الشكل أن الأوربيتالات الجزيئية الارتباطية تحتوي على كثافة إلكترونية متمركزة بين النواتين .

وهذه الحالة في حالة ارتباطية لأن الإلكترون الموجود في النواتين يكون مجذوباً لكليهما . أما في حالة الأوربيتالات المضادة الارتباط ، تقع الكثافة الإلكترونية خارج الحيز الموجود بين النواتين وبالتالي فهي لا تساهم بالترابط .

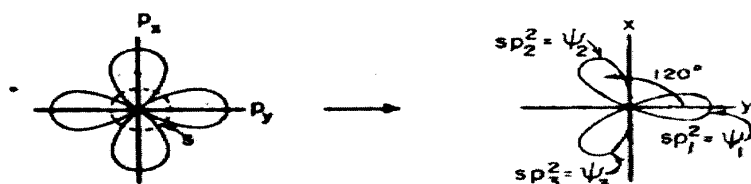
## التهجين : Hybridization :

إن امتلاك الجزيئات لأشكال محددة يعني وجود خاصية اتجاهية للروابط المتكونة حول ذرة ما . ومن الطرق التي تعالج هذه المسألة الطريقة الهندسية **geometrical approach** . وهنا ينبغي الإقرار بإمكانية الروابط التساهمية بامتلاكها خاصية اتجاهية .

وسنحاول تكوين مدارات هجينية تلائم هذه الاتجاهات . وكثيراً ما تصادق في الدراسات الكيميائية التهجين  $sp$  و  $sp^2$  و  $sp^3$  و .... وهذه الحدود تعني أننا أخذنا دالة وجعلناها تتحد ( أو تتداخل ) مع واحدة من دالات  $p$  أو اثنين أو ثلاثة منها لتعطي أوربيتالين أو ثلاثة أو أربعة مهجنة .

ولنفترض أننا نريد أوربيتالات  $sp^2$  المتكونة والتي تمتلك التوجيه المحدد الآتي :

وهنا يظهر لنا أنه توجد دالة  $p$  لم تشترك وهي العمودية على المستوى  $xy$  . وإن القواعد العامة الممكن اتباعها هي :



( ١ ) نستخدم طريقة **LCAO - MO** ( طريقة الاتحاد الخطي للمدارات الذرية **LCAO** من أجل تكوين مدارات الجزيئية **MO** ) :  $\psi = \sum c_{ji} \phi_i$  ( الأوربيتال الهجين )  $\psi$  .

٢ ) تكون المدارات الهجينية متناسقة :

$$\sum_j c_{ij}^2 = 1, \quad \sum_i c_{ji}^2 = 1$$

٣ ) تكون مساهمة  $\phi_x$  ( مدار s ) إلى جميع المدارات الهجينية هي متساوية .

٤ ) إن المدار الذري العمود على تلك المختارة للمدار الهجين سوف لا يساهم في المدار الهجين .

ولنفترض أننا استعملنا دالات 2s , 2p ( ملاحظة سنهمل الرقم 2 ) ومن أجل تبسيط الرموز نجعل :

$$\phi p_x = \phi_x$$

$$\phi p_y = \phi_y$$

$$\phi p_z = \phi_z$$

والآن نطبق القاعدة الأولى :

$$\left. \begin{aligned} \phi_1 &= C_{1s} \phi_s + C_{1x} \phi_x + C_{1y} \phi_y + C_{1z} \phi_z \\ \phi_2 &= C_{2s} \phi_s + C_{2x} \phi_x + C_{2y} \phi_y + C_{2z} \phi_z \\ \phi_3 &= C_{3s} \phi_s + C_{3x} \phi_x + C_{3y} \phi_y + C_{3z} \phi_z \\ \phi_4 &= C_{4s} \phi_s + C_{4x} \phi_x + C_{4y} \phi_y + C_{4z} \phi_z \end{aligned} \right\} \dots (195)$$

ولقد بينا أعلاه أن  $\phi_4$  هي  $\phi_z$  ( وهو يمثل دالة p غير المساهمة في المدار الهجين لذا فإن  $C_{4s} = C_{4x} = C_{4y} = 0$  وكذلك وفقاً للقاعدة ( 4 ) يكون :

$$C_{1z} = C_{2z} = C_{3z} = 0$$

وهكذا تختزل مجموعة المدارات الموجودة في معادلة (195) إلى :

$$\left. \begin{aligned} \phi_1 &= C_{1s} \phi_s + C_{1x} \phi_x + C_{1y} \phi_y \\ \phi_2 &= C_{2s} \phi_s + C_{2x} \phi_x + C_{2y} \phi_y \\ \phi_3 &= C_{3s} \phi_s + C_{3x} \phi_x + C_{3y} \phi_y \\ \phi_4 &= \phi_z \end{aligned} \right\} \dots (196)$$

وعند استخدام قاعدتي ( 3 ) و ( 2 ) نكتب الآتي :

$$C_{1s} = C_{2s} = C_{3s} \quad ( \text{وفقاً لقاعدة ( 3 ) } ) \quad \dots (197)$$

$$C_{1s}^2 + C_{2s}^2 + C_{3s}^2 = 1 \quad ( \text{وفقاً لقاعدة ( 2 ) } ) \quad \dots (198)$$

وعند حل معادلتني (197) و (198) نحصل على :

$$C_{1s} = C_{2s} = C_{3s} = 1 / \sqrt{3}$$

وعندئذ :

$$\left. \begin{aligned} \psi_1 &= \frac{1}{\sqrt{3}} \phi_s + C_{1x} \phi_x + C_{1y} \phi_y \\ \psi_2 &= \frac{1}{\sqrt{3}} \phi_s + C_{2x} \phi_x + C_{2y} \phi_y \\ \psi_3 &= \frac{1}{\sqrt{3}} \phi_s + C_{3x} \phi_x + C_{3y} \phi_y \\ \psi_4 &= \phi_z \end{aligned} \right\} \dots (199)$$

وكما هو واضح  $\psi_1$  تكون عمودية على x ( لاحظ الشكل أعلاه ) واعتماداً على قاعدة ( 4 ) فإن  $P_x$  سوف لا تساهم للأوربيتال  $\psi_1$  عندئذ يكون :

$$\psi_1 = \frac{1}{\sqrt{3}} \phi_s + C_{1y} \phi_y \quad \dots (200)$$

وباستخدام قاعدة ( 2 ) نكتب :

$$\left( \frac{1}{\sqrt{3}} \right)^2 + (C_{1y})^2 = 1 \quad \dots (201)$$

ومن هنا نحصل على :

$$C_{1y} = \sqrt{\frac{2}{3}} \quad \dots (202)$$

وعندئذ نكتب :

$$\left. \begin{aligned} \psi_{1y} &= \frac{1}{\sqrt{3}} \phi_s + \sqrt{\frac{2}{3}} \phi_y \\ \psi_2 &= \frac{1}{\sqrt{3}} \phi_s + C_{2x} \phi_x + C_{2y} \phi_y \\ \psi_3 &= \frac{1}{\sqrt{3}} \phi_s + C_{3x} \phi_x + C_{3y} \phi_y \\ \psi_4 &= \phi_s \end{aligned} \right\} \quad \dots (203)$$

ومما نلاحظه أيضاً أن  $\psi_2$  و  $\psi_3$  كلاهما يقعان بزاوية  $60^\circ$  من المحور  $y$  وهذا يعني أن مسقطي  $\psi_2$  ,  $\psi_3$  على المحور يكونان متساويين أي أن :  $C_{2y} = C_{3y}$  والآن نطبق القاعدة ( 2 ) على ثوابت  $y$  في المعادلة (203) .

$$\left( \frac{2}{\sqrt{3}} \right)^2 + C_{2y}^2 + C_{3y}^2 = \frac{2}{3} + 2C_{2y}^2 = 1$$

$$C_{2y} = C_{3y} = \pm \frac{1}{\sqrt{6}} \quad \text{ومن هنا نحصل على :}$$

$$\psi_1 = \frac{1}{\sqrt{3}} \phi_s + \sqrt{\frac{2}{3}} \phi_y \quad \text{وستكون الأوربيتالات كما يلي :}$$



$$\psi_2 = \frac{1}{\sqrt{3}}\phi_z + C_{2x}\phi_x - \frac{1}{\sqrt{6}}\phi_y \quad \dots (204)$$

$$\psi_3 = \frac{1}{\sqrt{3}}\phi_z + C_{3x}\phi_x - \frac{1}{\sqrt{6}}\phi_y$$

$$\psi_3 = \phi_z$$

ملاحظة :

كما هو واضح كما سبق تكون (  $C_{2y} = C_{3y} = -\frac{1}{\sqrt{6}}$  ) أما لإيجاد  $C_{2z}$  ,  $C_{3z}$  فيمكن إيجادها وفقاً لقاعدة ( 2 ) حيث يكون :  $C_{2x}^2 + C_{3x}^2 = 1$  . وبما أن  $\psi_2$  و  $\psi_3$  تقعان بزاوية  $30^\circ$  من المحور x فإن المسقطين سيكونان متساويين ما عدا اختلافهما بالإشارة على هذا الأساس فإن :

$$C_{2\infty} = \frac{1}{\sqrt{2}} , C_{3\infty} = -\frac{1}{\sqrt{2}}$$

وهكذا نكتب الأوربيتالات النهائية كالآتي :

$$\psi_2 = \frac{1}{\sqrt{3}}\phi_s + \sqrt{\frac{2}{3}}\phi_y$$

$$\psi_1 = \frac{1}{\sqrt{3}}\phi_s + \frac{1}{\sqrt{2}}\phi_\infty - \frac{1}{\sqrt{6}}\phi_y \quad \dots (205)$$

$$\psi_3 = \frac{1}{\sqrt{3}}\phi_s + \frac{1}{\sqrt{2}}\phi_x - \frac{1}{\sqrt{6}}\phi_y$$

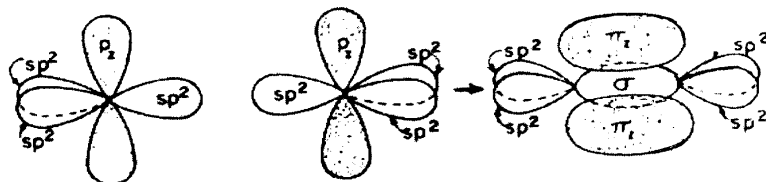
$$\psi_4 = \phi_z$$

وقبل النظر في أشكال الأوربيتالات الهجينية يمكنك التمرين على تركيب أوربيتالات هجينية أخرى .

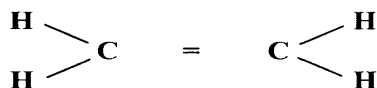
والآن نرجع لننظر في أشكال المدارات الهجينية ولنأخذ أولاً :

## ١ - النوع $sp^2$ :

إن أشكال المدارات التي غالباً ما نراها في دروس الكيمياء العضوية يمكن الحصول عليها بسهولة من المدارات الهجينية . فمثلاً إذا كان عندنا ذرتان فما تهجين من نوع  $sp^2$  وبعد تداخل هاتين الذرتين فإننا سنحصل على الصورة الجانبية التالية :



إن تراكب أوربيتالي  $sp^2$  يعطي رابطة  $\sigma$  أما التداخل الجانبي لأوربيتالي  $p_2$  العمودية على  $sp^2$  سيعطي رابطة  $\pi$  وكلا التداخلين سيعطي رابطة مزدوجة وأبسط مثال على ذلك هو الأثيلين :

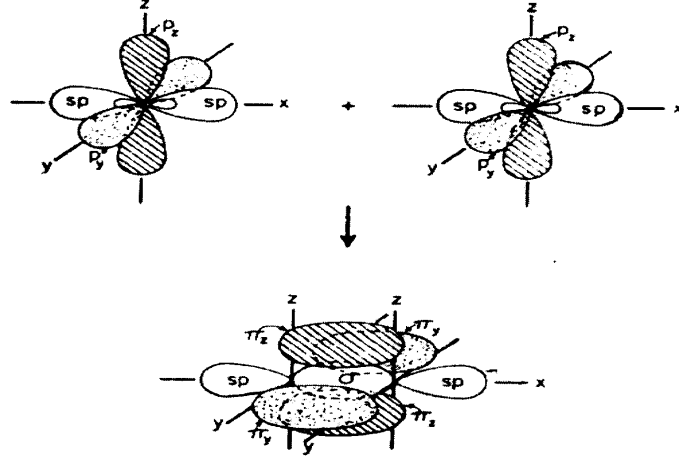


أما ذرات الهيدروجين فترتبط بالكربون وذلك عن طريق تراكب مدار الهيدروجين s مع مدار الكربون الهجين  $sp^2$  .

## ٢ - النوع $sp$ :

إن اقتراب ذرتين مهجنة من نوع  $sp$  يوضح بالشكل التالي ، إن أوربيتالي  $p_z$  يتداخلان لتكوين  $\pi_2$  ذي فص فوق المستوى  $xy$  وآخر تحته .

ونفس الشيء يحدث لمداري  $p_y$  وتكوين مدار  $\pi_y$  فوق وتحت المستوى  $xz$  . أما مداري  $sp$  المقابلة لبعضها البعض سوف تتداخل فيما بينها لتكوين رابطة  $\sigma$  .



والنتيجة هي تكون رابطة ثلاثية بين الذرتين ، كما هو الحال في الأسيتيلين  $H - C \equiv C - H$  أما ذرتا الهيدروجين فتتداخل عن طريق مدار  $s$  لكل منها مع مداري  $sp$  الهجين المتبقي لكل ذرة كربون .

### ٣- النوع $sp^3$ :

إذا استخدمت جميع أوربيتالات  $p$  الثلاثة لتكوين أوربيتال هجين مع أوربيتالات  $s$  فإن النتيجة هي  $sp^3$  وأبسط مثال على هذا النوع هو الميثان  $H - C - H$  الذي يأخذ شكلاً رباعياً السطوح tetrahedral shape .



## الباب الثامن

### نظرية أوربيتال هيكل الجزيئي في كيمياء الكم

لقد ظهرت الأهمية الكبيرة لهذه النظرية في مجال الكيمياء العضوية حيث كان الهدف هو ربط خواص الجزيئات غير المشبعة . وسوف ننظر أولاً في التقريبات الأساسية التي نحتاجها من أجل تطبيق النظرية ومن ثم سنرى كيف يتم تطبيقها على بعض الجزيئات العضوية المزدوجة المتبادلة الروابط .

إن السمة المميزة لهذه الجزيئات هي إمكانية تصنيف إلكتروناتها التكافؤية إلى طائفتين منفصلتين هما إلكترونات سجا  $\sigma$  ( وهي متمركزة بقوة في الروابط وهي تكون غير فعالة نسبياً ) .

وإلكترونات باي  $\pi$  ( فهي أكثر فعالية وتلعب دوراً رئيسياً في التفاعلات الكيميائية للجزيئات وهي غير متمركزة بل أنها متحركة فوق الهيكل الكربوني للجزيئة ) . وسوف نهتم هنا بأنظمة إلكترونات باي فقط .

وقد لوحظ أن العديد من هذه الجزيئات المتبادلة تتمتع باستقرارية عالية فمثلاً عند قياس الحرارة المتحررة من 3 مولات من السايكلوهكسين Cyclohexene لتكوين 3 مولات من السايكلوهكسان قد وجد أن  $\Delta H = - 359 \text{ kJ}$  أي أن :



أما البنزين عند هدرجته كلياً بثلاث مولات من الهيدروجين فقد وجد أن :  $\Delta H = - 206 \text{ kJ}$  . وهي بوضوح تشير إلى تحرر طاقة أقل عند هدرجة ثلاثة روابط من البنزين والفرق هو  $150 \text{ kJ}$  ويسمى هذا الفرق بطاقة اللاتمرکز **delocalization energy** وهي ثبات إضافي نتيجة لتحرك إلكترونات باي فوق كل النظام الحلقي في البنزين .

وقد سمي هذا الفرق وفقاً لنظرية رابطة - التكافؤ بطاقة التآرجح أو الرنين **resonance energy** والتآرجح أو الرنين في ميكانيك الكم يحدث عندما تتحد الدالتان الموجيتان أو أكثر التي نكتبها للنظام لإعطاء دالة موجية جديدة تكون أقرب لوصف النظام بصورة صحيحة .

فإذا كنا نستطيع كتابة الدالة الموجية الحقيقية فبال تأكيد يمكننا إيجاد الطاقة الحقيقية مباشرة وطالما أننا لا نستطيع عمل هذا ، لذا نكتب عدد من الدالات الموجية التقريبية . ونعلن بعد ذلك بأن الدالة الموجية الحقيقية هي اتحاد لجميع هذه الدالات .

أما لبناء الأوربيتالات الجزيئية فتطبق طريقة **LCAO** ذلك أننا نفترض أن الأوربيتال الجزيئي  $\psi$  يمكن كتابته بشكل اتحادات خطية :

$$\psi_1 = \sum_{\mu} a_{1\mu} \phi_{\mu} \quad \dots (206)$$

حيث  $\psi_{\mu}$  هي أوربيتالات **p** التي تساهم في نظام باي .

وباستخدام طريقة التغير سنحصل على طائفة من معادلات العوامل كما في معادلتني (159) ، (160) التي تمتلك حلاً مهماً إذا كانت المحددة التجريدية أو ما تسمى بمحدد العوامل تساوي صفراً . وبهذا نحصل على المعادلة ذات الشكل التالي :

$$\begin{vmatrix} (H_{11} - E_i S_{11}) & (H_{12} - E_i S_{12}) & \dots & (H_{1N} - E_i S_{1N}) \\ (H_{21} - E_i S_{21}) & (H_{22} - E_i S_{22}) & \dots & (H_{2N} - E_i S_{2N}) \\ \dots & \dots & \dots & \dots \\ (H_{N1} - E_i S_{N1}) & (H_{N2} - E_i S_{N2}) & \dots & (H_{NN} - E_i S_{NN}) \end{vmatrix} = 0 \quad \dots (207)$$

إن الظواهر التي تميز طريقة هيكل من طرق LCAO الأخرى هي التقريبات التالية المستخدمة لأجل تبسيط المحددة في معادلة (207) هي كما يلي :

- (١) تكون  $H_{ii}$  هي لكل ذرة كربون وتكون مساوية للتكامل الكولومي  $\alpha$  .
- (٢) تكون  $H_{ij}$  مساوية للتكامل الترابطي  $\beta$  إذا ترابطت الذرتين  $i, j$  .
- (٣) تكون  $H_{ij}$  مساوية لصفر إذا لم تتربط الذرتان  $i, j$  .
- (٤) تكون  $S_{ii}$  مساوية لواحد .
- (٥) تكون  $S_{ij}$  مساوية لصفر ( وطبيعي أن :  $i \neq j$  ) .

وسنوضح الآن كيفية استخدام هذه التقريبات لبعض من الجزيئات العضوية وهي :

**الأنيلين (  $CH_2 = CH_2$  ) :**

يوضح الشكل التالي جزيئة الأنيلين مع أوربيتالات  $2p$  التي تعتبر الطاقة الأساس لحساب طاقات إلكترونات باي .  
وبتطبيق طريقة LCAO على إلكترونات باي نحصل على :

$$\psi_i = a_{i1} \phi_1 + a_{i2} \phi_2$$

حيث  $\phi_1, \phi_2$  هما أوربيتالات  $2p$  الذريان .

أما محددة العوامل فتكون هنا ذات أبعاد  $2 \times 2$  وكالاتي :

$$\begin{vmatrix} (H_{11} - E_i S_{11}) & (H_{12} - E_i S_{12}) \\ (H_{21} - E_i S_{21}) & (H_{22} - E_i S_{22}) \end{vmatrix} = 0$$

وباستخدام تقريبات هيكل تصبح هذه المحددة كما يلي :

$$\begin{vmatrix} \alpha - E_i & \beta \\ \beta & \alpha - E_i \end{vmatrix} = 0$$

أو نكتبها بالشكل التالي :

$$\begin{vmatrix} \frac{\alpha - E_i}{\beta} & 1 \\ 1 & \frac{\alpha - E_i}{\beta} \end{vmatrix} = 0$$

وعند استخدام  $\frac{\alpha - E_i}{\beta} = x$  فسوف نكتب المحددة أعلاه بالشكل

المبسط التالي :

$$\begin{vmatrix} x & 1 \\ 1 & x \end{vmatrix} = 0$$

ومنها نحصل على :

$$x^2 - 1 = 0$$

$$x = \pm 1$$

وعلى هذا الأساس تكون :

$$E_i = \alpha \pm \beta$$

أي أن :

$$E_1 = \alpha + \beta, E_2 = \alpha - \beta$$

وبما أن من  $\alpha, \beta$  سالبتان لذا فإن  $E_1 < E_2$  .

وإذا أخذنا  $\alpha$  على أساس أنها تمثل طاقة إلكترون  $p$  المتمركز

على ذرة الكربون فإننا سنلاحظ أن  $\beta$  ستمثل طاقة الثبات لنظام باي .

انظر الشكل التالي :



$$E_2 = \alpha - \beta \quad \Psi_2 = \frac{1}{\sqrt{2}} (\phi_1 - \phi_2)$$

$$\alpha \text{ -----}$$

$$\uparrow \downarrow E_1 = \alpha + \beta \quad \Psi_1 = \frac{1}{\sqrt{2}} (\phi_1 + \phi_2)$$

$$E_\pi = 2 (\alpha + \beta)$$

حيث نرى في الشكل أن الإلكترونين قد شغلا أوربيتال  $\pi$  في الأثيلين وإن الطاقة الكلية للإلكترونات باي ( $E_\pi$ ) هي :

$$E_\pi = 2 (\alpha + \beta)$$

ويمكننا تعيين عوامل الدالتين في المعادلة :

$$\psi_i = a_{i1}\phi_1 + a_{i2}\phi_2$$

كما يلي :

نكتب أولاً معادلتين العوامل أي المعادلتين التجريديتين للأثيلين ستكون :

$$(I) \quad a_{i1} x + a_{i2} = 0$$

$$(II) \quad a_{i1} + a_{i2}x = 0$$

$$(I) \quad a_{i1} + a_{i2} = 0 \quad \text{وبالنسبة لقيمة } x = +1 \text{ تكون .}$$

أو :

$$a_{i1} = -a_{i2} \quad \dots (208)$$

والآن نجري عملية التناسق للأوربيتال الجزيئي  $\psi_i$  :

$$\int \psi_i^2 d\tau = 1$$

$$\int (a_{i1}\phi_1 + a_{i2}\phi_2)^2 d\tau = 1$$

وهذه المعادلة بعد فتحها وتطبيق شرط التعامدية - التناسقية تصبح بالشكل التالي :

$$a_{i1}^2 + a_{i2}^2 = 1$$

نعوض معادلة (208) في معادلة (209) نحصل على :

$$a_{i1}^2 + (-a_{i1})^2 = 1$$

ومنها نحصل على :

$$a_{i1} = \frac{1}{\sqrt{2}} \quad \dots (210)$$

وعند تعويض قيمة  $2_{i2}$  هذه في معادلة ( 208 ) سنحصل على

قيمة  $a_{o1}$  وهي :

$$a_{i2} = -\frac{1}{\sqrt{2}} \quad \dots (211)$$

وبالنسبة لقيمة  $x = -1$  نتبع نفس الطريقة أعلاه وسنحصل على :

$$a_{i1} = a_{i2} = \frac{1}{\sqrt{2}}$$

والآن نكتب الدالتين بصورة كاملة وكما يلي :

$$\psi_1 = \frac{1}{\sqrt{2}} \phi_1 + \frac{1}{\sqrt{2}} \phi_2 \quad (x = -1)$$

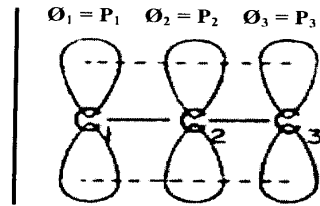
$$\psi_2 = \frac{1}{\sqrt{2}} \phi_1 + \frac{1}{\sqrt{2}} \phi_2 \quad (x = +1)$$

**شق الأليل :**

يوضح الشكل التالي أوربيتالات  $2P$  التي تعتبر الطائفة الأساس

لحساب إلكترونات باي .

وبطريقة مشابهة لتلك المستخدمة مع الأثيلين نكتب أوربيتالات الجزيئية  $\psi_i$  :



أوربيتالات  $P$  الذرية في أنظمة الأليل

$$\psi_i = a_{i1}\phi_1 + a_{i2}\phi_2 + a_{i3}\phi_3,$$

وإذا وجدت ثلاثة أوربيتالات في الطائفة الأساس فستكون عندنا ثلاث معادلات تجريدية وهذه المعادلات تعطي محددة ذات أبعاد  $3 \times 3$  صيغتها بعد استخدام تقريبات هيل كالاتي :

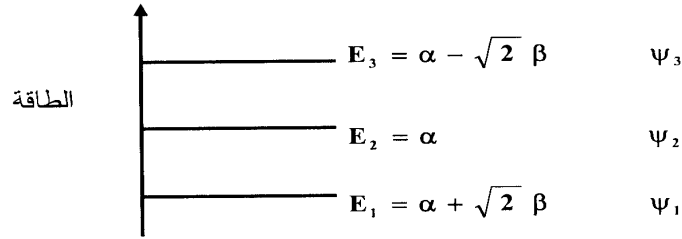
$$\begin{vmatrix} \alpha - E_i & \beta & 0 \\ \beta & \alpha - E_i & \beta \\ 0 & \beta & \alpha - E_i \end{vmatrix} = \begin{vmatrix} x & 1 & 0 \\ 1 & x & 1 \\ 0 & 1 & x \end{vmatrix} = 0$$

ومنها نحصل على :

$$x^3 - 2x = 0$$

$$x = 0, x = +\sqrt{2}, x = -\sqrt{2}$$

وهكذا سيكون عندنا :



وستكون الطاقة الكلية لإلكترونات  $\pi$  المتحركة في هذا النظام على الجزيئة هي :

$$E_\pi = 2 (\alpha + \sqrt{2} \beta) + \alpha = 3\alpha + 2\sqrt{2} \beta$$

أما إذا أردنا حساب الطاقة الكلية على أساس أن الرابطة المزدوجة متمركزة بين  $c_1$ ,  $c_2$  أو بين  $c_2$ ,  $c_3$  عندئذ سيكون عندنا إلكترونان في أوربيتال  $\pi$  (طاقتهما تساوي  $E = 2 (\alpha + \beta)$  مثمما هو الحال في الأثيلين .

والإلكترون الثالث سيكون في أوربيتال P ( أي ستكون طاقته  $E = \alpha$  ) وبالتالي فإن الطاقة الكلية في حالة التمرکز هذه هي  $E_{\pi} = E\alpha + 2\beta$  وعلى هذا الأساس يمكننا إيجاد طاقة التآرجح  $E_{res}$  كما يلي :

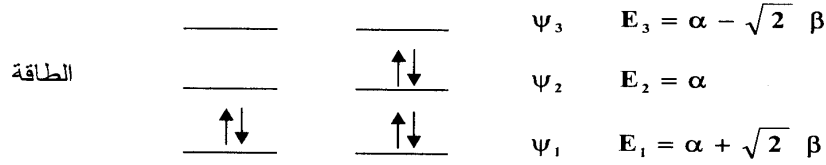
$$E_{res} = E_{\pi}' - E_{\pi}$$

$$= (3\alpha + 2\beta) - (3\alpha + 2\sqrt{2}\beta) = -0.83\beta$$

إن قيمة  $\beta$  يتم تعيينها عمليًا وقد وجدت إنها تساوي  $-75 \text{ kJ}$  . عندئذ سيكون للمول الواحد من جذر الأليل طاقة تآرجح :

$$E_{res} = (-0.83) (-75 \text{ kJ}) = 62 \text{ kJ}$$

أما إذا كان عندنا أيون الأليل الموجب  $\text{CH}_2 = \text{CH}^+ - \text{CH}_2$  فهذا سيكون عندنا إلكترونات في أوربيتالات  $\psi_1$  ولا يوجد أي إلكترون في أوربيتال P على ذرة الكربون في حين مع أيون الأليل السالب  $\text{CH}_3 = \text{CH}^- \text{CH}_2$  يدخل إلكترونان إلى  $\psi_1$  وإلكترونان إلى P كما هو مبين أدناه :



الأيون السالب      الأيون الموجب

وبنفس الطريقة المذكورة أعلاه يمكنك إيجاد طاقة التآرجح .

## الباب التاسع

### أمثلة محلولة وأسئلة عامة

مثال ( ١ ) :

دخل فوتون الأشعة السينية ذو الطول الموجي  $150 \text{ pm}$  إلى الجزء الداخلي لذرة . وتسبب في طرد إلكترون . وقد تم قياس سرعة الإلكترون المطرود حيث كانت تساوي  $1.14 \times 10^7 \text{ ms}^{-1}$  فكم هي طاقة ربط هذا الإلكترون في الذرة .

الحل :

حساب قانون حفظ الطاقة :

$$h\nu = \phi + \frac{1}{2} mv^2$$

حيث  $h\nu$  هي طاقة الفوتون وتكتب أيضًا بالشكل  $h \frac{c}{\lambda}$  والآن :

$$(6.6 \times 10^{-34} \text{ Js}) \left( \frac{2.9 \times 10^8 \text{ ms}^{-1}}{150 \times 10^{-12} \text{ m}} \right) = \phi + \frac{1}{2}$$

$$(9.1 \times 10^{-31} \text{ kg}) (2.14 \times 10^7 \text{ ms}^{-1})$$

ومنها نحصل على :

$$\phi = 11.04 \times 10^{-16} \text{ J} = 6.9 \text{ keV}$$

مثال ( ٢ ) :

بأي عامل ستتغير سرعة إلكترون في مدار بور لذرة الهيدروجين إذا ازدادت قيمة عدد الكم الرئيسي (  $n$  ) إلى الضعف .

### الحل :

بالاعتماد على فرضيات بوهر يمكن اشتقاق معادلة إيجاد نصف القطر ( r ) للمدارات وسنكتفي هنا بذكر النتيجة :

$$r = \frac{n^2 h^2}{4\pi^2 mZe^2}$$

ومنها يتضح أن r تتناسب مع  $n^2$  ( حيث بقية الحدود جميعها ثوابت ) وبذا فإن r ستتضاعف أربع مرات إذا تضاعفت n .

ومن فرضية بوهر الخامسة (  $mvr = nh / 2\pi$  ) يمكننا أن نستنتج أن السرعة v ينبغي أن تنخفض للنصف عندما تتضاعف قيمة n .

### مثال ( ٣ ) :

إذا كان طول موجي دي بروجلي لجسيم يعطي بـ  $\lambda = \frac{h}{p}$  حيث p هو عزم الجسيم فاثبت أن مدار بوهر لذرة شبيهة الهيدروجين يمتلك محيطاً مساوياً لعدد صحيح مضروباً في طول موجي دي بروجلي للإلكترون يمتلك ذلك العزم p .

### الحل :

وفقاً لفرضية بوهر الخامسة :

$$mvr = n \frac{h}{2\pi}$$

$$2\pi r = \frac{nh}{mv} = n \frac{h}{p} \quad \text{وبعد ترتيبها تصبح :}$$

( حيث p الزخم ويساوي mv ) والآن وفقاً لفرضية دي بروجلي

$$2\pi r = n\lambda \quad \left( \lambda = \frac{h}{p} \right) \quad \text{يمكننا كتابة المحيط ( } 2\pi r \text{ ) بالشكل التالي :}$$

مثال ( ٤ ) :

من المعادلة الموجية تعطي طاقة إلكترون في صندوق ( أحادي الاتجاه ) بالصيغة التالية :

$$E_x = \frac{n^2 h^2}{8ma^2}$$

فإذا أخذنا  $a$  على أساس أنها تمثل طول رابطة كربون - كربون وعوضنا عن ثابت بلانك  $h$  وكتلة الإلكترون  $m$  بما يساويهما فإننا سنحصل على طاقة ترقية إلكترون من  $n = 1$  إلى  $n = 2$  .

وقد وجدت أنها تتناظر ضوءاً ذا طول موجي حوالي  $170 \text{ \AA}$  .  
والآن إذا طبقنا هذا النموذج على نظام يتضمن روابط مزدوجة متبادلة فإن التطويرات الرئيسية هنا هي أن إلكترون واحد من كل ذرة كربون سيشغل أقل مستويات الطاقة وبالتأكيد سيكون طول الصندوق مساوياً لـ  $xa$  حيث  $x$  هي عدد ذرات الكربون . احسب الطول الموجي للضوء الممتص واللازم لإعطاء الحالة المتهيجة الأولى لنموذج أو سلسلة متبادلة الروابط المزدوجة وتتضمن 12 ذرة كربون .

الحل :

$$E = \frac{h^2}{8ma^2} n^2$$

في حالة رابطة  $C - C$  منفردة ( أو صندوق أحادي الاتجاه وطوله  $a$  ) نكتب المعادلة أعلاه بالصيغة المبسطة التالية :

$$E = E n^2$$

وعندئذ فإن  $\Delta E$  ( الطاقة اللازمة لانتقال إلكترون من  $n = 1$  إلى  $n = 2$  ) ستكون .

$$\Delta E = A ( 2^2 - 1^2 ) = 3A$$

$$A = \Delta E / 3$$

أو :

أما في حالة السلسلة المتكونة من 12 ذرة كربون فإن إلكترونات باي الاثنا عشر الموجودة ستتملأ المستويات الست الأولى ( إلكترونان متعاكسي البرم في كل مستوى طاقي ) وبذا فإن الانتقال للحالة المثيجة الأولى سيشمل انتقال إلكترون من المستوى الطاقي الأخير أي من  $n = 6$  إلى  $n = 7$  .

وهكذا فأمامنا الآن صندوق أكبر طوله  $a'$  وهو يساوي .

$$a' = xa = 12a$$

وتصبح الطاقة لهذا النموذج كالآتي :

$$E' = A' n^2$$

حيث إن :

$$A' = \frac{h^2}{8ma'^2} n^2 = \frac{h^2 n^2}{8m(12a)^2} = \frac{A}{12^2}$$

ويمكننا أن نكتب للانتقال الإلكتروني من  $n = 6$  إلى  $n = 7$  ما يلي :

$$\Delta E' = A' (7^2 - 6^2) = 13A' = 13 \left( \frac{A}{12^2} \right) = \frac{13}{144} A$$

وبما أن  $A = \frac{\Delta E}{3}$  إذا سيكون :

$$\Delta E' = \left( \frac{13}{144} \right) \left( \frac{\Delta E}{3} \right) = 0.03 (\Delta E)$$

وطالما أنه للضوء : يتناسب الطول الموجي عكسيًا مع الطاقة

عندئذ فالطول الموجي المطلوب سيساوي  $\frac{170}{0.03}$  أنجستروم

أو 5700 أنجستروم .

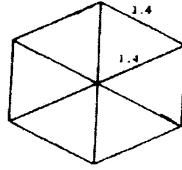


مثال ( ٥ ) :

وجد أن طاقة الحالة المستقرة لإلكترون محدد لصندوق ( أحادي الاتجاه وطوله  $1.4 \text{ A}^\circ$  ) تتناظر ضوءاً ذا طول موجي  $700 \text{ A}^\circ$  . ولناخذ البنزين على درجة التقريب على أساس أنه صندوق ثنائي الاتجاه معطياً شكل سداسي منتظم وطول الرابطة  $C - C$  فيه تساوي  $1.4 \text{ A}^\circ$  وبذا فإن جانب الصندوق سيكون  $2.8 \text{ A}^\circ$  احسب الطول الموجي للانتقال من الحالة المستقرة إلى الحالة المتهيجة الأولى في البنزين معتبراً أن الإلكترونات باي ( $\pi$ ) هي المشتركة فقط .

الحل :

كما هو مبين من الشكل أدناه :



نجد أن السداسي المنتظم يمكن تركيب من ستة مثلثات متساوية الأضلاع بحيث إن ضلع كل منها  $1.4 \text{ A}^\circ$  وأن الصندوق الذي يحوي هذا السداسي سيكون له جانب طوله  $2.8 \text{ A}^\circ$  .

إن معادلتى الطاقة لجسيم في صندوق أحادي وثنائي الاتجاه هما :

$$E_1 = \frac{h^2}{8ma^2} n^2$$

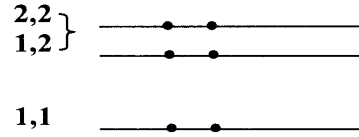
$$E_2 = \frac{h^2}{8ma^2} (n_1^2 + n_2^2)$$

ومن المعلومات المتوفرة يمكننا أن نعرف  $E_1$  للحالة حيث  $n = 1$  و  $a = 1.4 \text{ Å}$  وعندئذ فإن  $E_2$  (حالة الصندوق ثنائي الاتجاه وذو الطول  $2.8 \text{ Å}$ ) ستكون :

$$E_2 = \frac{h^2}{8m(a')^2} (n_1^2 + n_2^2) = \frac{h^2}{8m(2a)^2} (n_1^2 + n_2^2)$$

$$= \frac{E_1}{4} (n_1^2 + n_2^2)$$

أما تسلسل المستويات الطاقية فهو موضح أدناه :



ويتبين أن الإلكترونات أي الست للبنزين ستتملأ المستويات ( 1 , 1 ) و ( 2 , 2 ) و ( 1 , 2 ) وعندئذ فالانتقال الأول سيكون من المستوى ( 2 , 1 ) أو ( 1 , 2 ) إلى المستوى ( 2 , 2 ) .

$$E_{(2,1)} = \frac{E_1}{4} (2^2 + 1^2) = \frac{E_1}{4} (5)$$

$$E_{(2,2)} = \frac{E_1}{4} (2^2 + 2^2) = \frac{E_1}{4} (8)$$

$$\Delta E = \frac{E_1}{4} (8 + 5) = \frac{E_1}{4} (3)$$

وطالما أن الطول الموجي يتناسب عكسيًا مع الطاقة عندئذ فإن الطول الموجي المناظر سيكون  $700 \times \frac{3}{4}$  وتساوي  $930 \text{ Å}$  .

مثال ( ٦ ) :

إن الدالة الذاتية  $\psi$  لإلكترون 1s لذرة شبيهة الهيدروجين تعطى كالآتي :  $\psi = (\text{const}) e^{-Zr/a}$  ( حيث تشير  $\text{const}$  إلى كمية ثابتة ) وإن  $a$  هو نصف قطر مدار بوهلر الأول للهيدروجين . اثبت أن نصف القطر الذي عنده توجد أقصى احتمالية لإيجاد إلكترون 1s ( في أي اتجاه ) هي  $r_{\text{max}} = a / Z$  .

الحل :

إن احتمالية إيجاد إلكترون في وحدة حجم عند مسافة  $r$  تعطى بواسطة  $\psi^2$  ولكن الاحتمالية (  $p$  ) لإيجاده عند مسافة  $r$  بغض النظر عن الاتجاه يعطى بواسطة  $4\pi^2\psi^2$  وهذه الاحتمالية الأخيرة تكتب كالآتي :

$$P = 4\pi^2\psi^2 = (\text{const}) r^2 (e^{-Zr/a})^2$$

وعند جعل  $\frac{dP}{dr}$  تساوي صفرًا فإننا سنحصل على :

$$\frac{dP}{dr} = 0 = (\text{const}) [ 2re^{-2Zr/a} - r^2 2(Z/a)e^{-2Zr/a} ]$$

$$= (\text{const}) 2re^{-2Zr/a} (1 - Zr/a)$$

ومنها نحصل على :

$$Zr/a = 1$$

$$r = a / Z$$

أو :

مثال ( ٧ ) :

وجد أن قسيم ثابتت القوة (  $k$  ) لروابط  $C - C$  ,  $Cl - C$  ,  $HCl$  ,  $HF$  هي 10 , 5 , 3.5 , 5 ( بوحدة  $10^5 \text{ dyn / cm}$  ) على التوالي . بين كيف سيكون تسلسلها

إذا أريد ترتيبها بدلالة زيادة العدد الموجي لامتناسص  
التذبذب الأول .

( ملاحظة يمكن افتراض أن كلا من المواد أعلاه هي جزيئة ثنائية الذرة ) .

**الحل :**

إن التغير الطاقى وبالتالى العدد الموجى العائد للانتقال التذبذبى الأول

يتناسب مع  $\left(\frac{k}{\mu}\right)^{1/2}$  حيث  $\mu$  هي الكتلة المصححة .

وتقريباً نكتب الكتلة المصححة بالمول لـ  $C-C, C-Cl, HCl,$

$HF$  كالتالى :

$$\mu_{HF} = \frac{1 \times 18}{1 + 18} \approx 1$$

$$\mu_{HCl} = \frac{1 \times 36}{1 + 36} \approx 6$$

$$\mu_{Cl-C} = \frac{36 \times 12}{36 + 12} = 9$$

$$\mu_{C-C} = \frac{12 \times 12}{12 + 12} = 6$$

والآن نكتب النسبة  $\frac{k}{\mu}$  للمواد المذكورة كالتالى :

$$\frac{k_{HF}}{\mu_{HF}} = \frac{10}{1} = 10$$

$$\frac{k_{HCl}}{\mu_{HCl}} = \frac{5}{1} = 5$$

$$\frac{k_{Cl-C}}{\mu_{Cl-C}} = \frac{3.5}{9} = 0.4$$

$$\frac{k_{C-C}}{\mu_{C-C}} = \frac{5}{6} = 0.8$$

وهذا فإن التسلسل وفقاً لزيادة العدد الموجى سيكون :

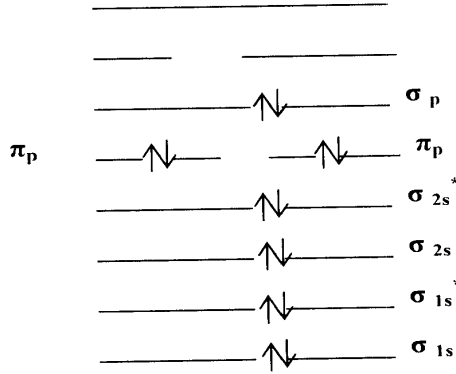
$C-Cl, C-C, HCl, HF$

→ زيادة العدد الموجى

مثال ( ٨ ) :

ارسم مخطط الأوربيتال الجزيئي لـ  $\text{CN}^-$  وضع الإلكترونات في الأوربيتالات المناسبة وأعطي رتبة الرابطة وعدد الإلكترونات غير المزدوجة.

الحل :



يمتلك أيون  $\text{CN}^-$  أربعة عشر إلكترونًا .

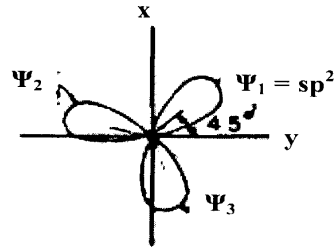
أما رتبة الرابطة  $p$  فهي :

$$P = \frac{N_B - N_{AB}}{2} = \frac{10 - 4}{2} = 3$$

ولا يوجد إلكترونات غير مزدوجة .

مثال ( ٩ ) :

ما هي الدالات الضرورية لوصف الأوربيتال  $\text{SP}^2$  الهجين وأن  $\psi_4 = P_z$  وهو عمودي على الأوربيتال  $\text{SP}^2$  الهجين .



الحل :

$$\psi_1 = \frac{1}{\sqrt{3}} \phi_s + c_{1x} \phi_x + c_{1y} \phi_y$$

$$\psi_2 = \frac{1}{\sqrt{3}} \phi_s + c_{2x} \phi_x + c_{2y} \phi_y$$

$$\psi_3 = \frac{1}{\sqrt{3}} \phi_s + c_{3x} \phi_x + c_{3y} \phi_y$$

$$c_{1x} = c_{1y}$$

$$\frac{1}{3} + c_{1x}^2 + c_{1y}^2 = 1$$

ومنها نحصل على :

$$c_{1x} = \frac{1}{\sqrt{3}} = c_{1y}$$

$$\psi_1 = \frac{1}{\sqrt{3}} \phi_s + \frac{1}{\sqrt{3}} \phi_x + \frac{1}{\sqrt{3}} \phi_y$$

$$\psi_2 = \frac{1}{\sqrt{3}} \phi_s + c_{2x} \phi_x + c_{2y} \phi_y$$

$$\psi_3 = \frac{1}{\sqrt{3}} \phi_s + c_{3x} \phi_x + c_{3y} \phi_y$$

$$c_{2y} = c_{3x}$$

$$c_{3y} = c_{2x} \quad \tan 15^\circ = \frac{c_{2x}}{-c_{2y}} = 0.268$$

إذا :

$$c_{2x} = -0.268 c_{2y}$$

$$\frac{1}{\sqrt{3}} + (-0.268 c_{2y})^2 + c_{2y}^2 = \phi_y$$

ومنها نحصل على :

$$\begin{aligned} c_{2y} &= -0.789, & c_{2x} &= -0.268 c_{2y} = 0.211 \\ c_{3x} &= -0.789, & c_{3y} &= 0.211 \end{aligned}$$

وتصبح الدالات كالآتي :

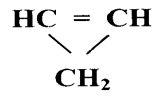
$$\psi_1 = \frac{1}{\sqrt{3}} \phi_s + \frac{1}{\sqrt{3}} \phi_x + \frac{1}{\sqrt{3}} \phi_y$$

$$\psi_2 = \frac{1}{\sqrt{3}} \phi_s + 0.211 \phi_x - 0.789 \phi_y$$

$$\psi_3 = \frac{1}{\sqrt{3}} \phi_s - 0.789 \phi_x + 0.211 \phi_y$$

مثال ( ١٠ ) :

أنجز حساب هيكل على السايكلوبروبين .



الحل :

$$\begin{vmatrix} \alpha - E & \beta & \beta \\ \beta & \alpha - E & \beta \\ \beta & \beta & \alpha - E \end{vmatrix} = 0$$

وإذا عوضنا عن  $\frac{\alpha - E}{\beta}$  بـ  $x$  فتصبح المحددة بالشكل التالي :

$$\begin{vmatrix} x & 1 & 1 \\ 1 & x & 1 \\ 1 & 1 & x \end{vmatrix} = 0$$

وحلها يعطي :

$$x = 1, x = 1, x = -2$$

$$\text{—————} \uparrow \text{—————} \quad E_2 = E_3 = \alpha - \beta \quad \text{for } x = 1$$

$$\text{—————} \updownarrow \text{—————} \quad E_1 = \alpha + 2\beta \quad \text{for } x = -2$$

\* \* \*



## أسئلة عامة

- ١- يبعث الصوديوم ضوءاً أصفر ذا طول موجي 550 nm فما هو عدد الفوتونات التي يبعثها في كل ثانية إذا كانت قدرته تساوي واط واحد ( واط واحد = جول بالثانية ) ؟  
 الجواب :  $( 2.7 \times 10^{18} \text{ s}^{-1} )$  .
- ٢- ظهر الخط الطيفي ذا أكبر طول موجي في سلسلة معينة في الطيف الذري للهيدروجين عند 656.3 nm فما هي السلسلة ؟  
 ( حيث إن :  $R_H = 109677 \text{ cm}^{-1}$  ) .  
 ( الجواب : سلسلة بالمر ) .
- ٣-  $\psi(r) = N \exp(-r/a)$  حيث  $a$  هو نصف قطر مدار بور الأول لذرة الهيدروجين فأوجد ثابت التناسق  $N$  .  
 ( الجواب :  $( N = \left( \frac{1}{\pi a^3} \right)^{1/2} )$  )
- ٤- صندوق مكعب بطول  $10 \text{ Å}$  ويحتوي على جانبه 8 إلكترونات . طبق نظرية جسيم في صندوق البسيطة لحساب  $\Delta E$  لأول حالة متهيجة في مثل هذا النظام .  
 ( الجواب :  $\Delta E = 1.13 \text{ eV}$  ) .
- ٥- إذا كانت طاقة الحالة المستقرة للإلكترون في صندوق ( أحادي الاتجاه وطوله  $3 \text{ Å}$  ) هي حوالي  $100 \text{ kcal mol}^{-1}$  والمطلوب هو لأي حجم ( أو لأي طول ) من صندوق ثلاثي الاتجاه ستكون طاقة الحالة المستقرة مساوية لمعدل الطاقة الحركية  $\left( E_{\text{kin}} = \frac{3}{2} RT \right)$  للإلكترون عند  $25^\circ \text{C}$  .  
 ( الجواب :  $54 \text{ Å}$  ) .

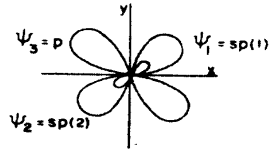
٦- إذا كانت قيمتا ثابت القوة للرابطين  $D - Cl$  ,  $H - Cl$  حوالي متساويتين وإن تردد الامتصاص للانتقال من  $v = 0$  إلى  $v = 1$  لـ  $HCl$  يحدث عند  $2890 \text{ cm}^{-1}$  فاحسب تردد الامتصاص لنفس النوع من الانتقال ولكن مع  $D - Cl$ .

( الجواب :  $2080 \text{ cm}^{-1}$  ) .

٧- ركب مخطط الأوربيتال الجزيئي لـ  $NO$  ومن ثم عين رتبة الأصرة وعدد الإلكترونات غير المزدوجة وأي من  $NO$  أو  $NO^+$  يكون أكثر استقراراً .

( الجواب : رتبة الرتبة هي 2.5 وعدد الإلكترونات غير المزدوجة هو واحد ) .

٨- ركب أوربيتالات  $sp$  الهجينة من  $2s$  ,  $2p$  للشكل التالي :



٩- أنجز حساب هيكل للبيوتاديين .

\* \* \*

## المصطلحات العلمية

Borwnian motion	الحركة البراونية
Collision diameter	قطر التصادم
Compression factor	عامل الانضغاطية
Critical temperature	درجة الحرارة الحرجة
Diffusion coefficient	معامل الانتشار
Effusion	اندفاع
Hard spheres	كرات صلبة
Ideal gas	غاز مثالي
Mean free path	معدل المسار الحر
Mole fraction	الكسر المولي
Molecular collision	التصادم الجزيئي
Partial pressure	الضغط الجزيئي
Real gas	غاز حقيقي
Reduced temperature	درجة الحرارة المختزلة
Self-diffusion coefficient	معامل الانتشار الذاتي
Speed	انطلاق ( سرعة لا اتجاهية )
Thermal conductivity	الإيصالية الحرارية
Thermal motion	الحركة الحرارية
Transport properties	الخصائص الانتقالية
Vector quantity	كمية متجهة
Velocity	سرعة اتجاهية
Viscosity	اللزوجة
Activated complex theory	نظرية المعقد الفعال ( المعقد المنشط )
Activation energy	طاقة التنشيط
Ative centers	مراكز نشطة

Apparent rate constant	ثابت السرعة الظاهري
Autocatalytic reactions	تفاعلات مخفزة ذاتيًا
Branching chain	التفاعل المتسلسل المتشعب
Catalysis	تحفيز
Catalytic poisons	مسممات التحفيز
Chain-carrier	حامل السلسلة
Chain reactions	التفاعلات المتسلسلة
Chemisorption	امتزاز كيميائي
Collision theory	نظرية التصادم
Complex reactions	التفاعلات المعقدة
Consecutive reactions	التفاعلات المتعاقبة
Degeneracy	انحلال
Dielectric constant	ثابت العزل الكهربائي
Diffusion-controlled reaction	تفاعلات الانتشار السائد
Dilatometer	جهاز قياس التمدد
Elementary reaction	التفاعل الأساسي ( الأولى )
Encounter	مواجهة
Energized molecule	جزيئة طاقية
Flow method	طريقة الجريان
Free-radical chains	سلاسل الجذور الحرة
Frequency factor	عامل التردد
Half-life	عمر النصف
Head – on collision	تصادم رأسي
Heterogeneous reaction	تفاعل غير متجانس
Homogeneous reaction	تفاعل متجانس
Inhibitor	مانع

Intermediate compound	مركب وسطي
Loosely bound complex	معقد ضعيف الترابط
Moment of inertia	عزم القصور الذاتي
Overall order	الرتبة الكلية
Parallel reactions	التفاعلات المتوازية
Promoters	معززات
Pseudo order	الرتبة الكاذبة
Rate constant	ثابت السرعة
Rate-determining-step approximation	طريقة الخطوة المحددة للسرعة
Reaction coordinate	إحداثي التفاعل
Reaction mechanism	ميكانيكية التفاعل
Reaction molecularity	جزيئية التفاعل
Relaxation method	طريقة التراخي
Reversible reactions	التفاعلات المتعاكسة
Solvent cage effect	تأثير القفص المذيب
Specific catalysis	تحفيز نوعي
Static method	طريقة الركود
Steady – state approximation	طريقة الحالة المستقرة
Steric factor	عامل فراغي
Symmetry number	عدد التماثل ( أو التناظر )
Threshold energy	طاقة العتبة
Tightly bound complex	معقد قوي الترابط
Transition state	حالة انتقالية
Transmission coefficient	معامل النفاذية
Trial method	طريقة المحاولة
Turnover number	عدد التحولي
Zero – order	الرتبة صفر

Angular velocity	السرعة الزاوية
Bound layer	الطبقة الارتباطية
Boyant force	قوة الطفو
Centripetal acceleration	تعجيل الجذب الأرضي
Colloidal electrolytes	الإلكتروليتات الغروية
Dispersed phase	الحالة المتشتتة
Donan equilibrium	توازن دونان
Drift speed	السرعة الانتقالية
Electric mobilities of ions	الانتقالات الكهربائية للأيونات
Electrolysis	التحلل الكهربائي
Electro-Osmotic pressure	الضغط الأزموزي الكهربائي
Equivalent conductance	التوصيل المكافئ
Intrinsic viscosity	اللزوجة الذاتية
Ionic product of water	الحاصل الأيوني للماء
Ionic strength	الشدة الأيونية
Irreversible processes	العمليات غير العكسية
Jumping mechanism	ميكانيكية القفز
Lyophilic colloids	غرويات ميالة للمذيب
Lyophobic colloids	غرويات كارهة للمذيب
Molar conductance	التوصيل المولاري
Moving – boundary method	طريقة الحد الفاصل المتحرك
Partial specific volume	الحجم الجزئي النوعي
Primary hydration number	عدد التميؤ الأولى
Reduced viscosity	اللزوجة المختزلة
Relative viscosity	اللزوجة النسبية
Reynolds number	عدد رينولد

<b>Sedimentation coefficient</b>	معامل الركود
<b>Semipermeable membrane</b>	غشاء شبه نفاذ
<b>Sparingly soluble salts</b>	أملاح شحيحة الذوبان
<b>Specific resistance</b>	المقاومة النوعية
<b>Stern potential</b>	جهد ستيرن
<b>Streamline flow</b>	الجريان الانسيابي
<b>Transference number</b>	العدد الانتقالي
<b>Turbulent flow</b>	الجريان المضطرب
<b>Amalgam electrode</b>	قطب مملغم
<b>Autoprotolysis</b>	تفكك بروتوني ذاتي
<b>Concentration cells</b>	خلايا تركيزية
<b>Deflection</b>	انحراف
<b>Electro chemical cells</b>	خلايا كهروكيميائية
<b>Electrolyte cells</b>	خلايا إلكتروليتيّة
<b>Electromotive force</b>	القوة الدافعة الكهربائية
<b>Exchange current density</b>	كثافة تيار التبادل
<b>Galvanic cell</b>	خلية جلفانية
<b>Gas electrode</b>	قطب الغاز
<b>Glass electrode</b>	قطب الزجاج
<b>Liquid junction potential</b>	جهد التقاء السائل
<b>Mean activity</b>	معدل الفعالية
<b>Membrane equilibrium</b>	توازن غشائي
<b>Null point</b>	نقطة الخمود
<b>Over voltage</b>	الفولتية الإضافية
<b>Potentiometer</b>	جهاز قياس الجهد
<b>Reduction-oxidation electrode</b>	قطب أكسدة - اختزال

Reference electrode	قطب موجي
Salt bridge	جسر ملحي
Solubility product	حاصل الإذابة
Terminals	أطراف توصيل
Transfer coefficient	معامل الانتقال
Working battery	بطارية تشغيل
Average value	معدل القيمة
Binding energy	طاقة الربط
Black body radiation	أشعة الجسم الأسود
Bohr orbit	مدار بوهر
Bond order	رتبة الرابطة
Bonding orbital	أوربيتال ترابطي
Conservative system	نظام محافظ
Coordinate system	نظام إحداثي
Coulomb integral	تكامل كولومبي
Delocalization energy	طاقة اللاتمركز
Determinant	المحددة
Diatomic molecules	جزيئات ثنائية الذرة
Effective nuclear charge	الشحنة النووية الفعالة
Eigen function	دالة ذاتية
Electron correlation	الترابط الإلكتروني
Free particle	جسيم حر
Hamiltonian operator	مؤثر هاميلتوني
Harmonic oscillator	المهتز التوافقي
Heisenberg uncertainty principle	قاعدة اللادقة لهيزنبرك
Hermitian operator	مؤثر هيرميتي



Huckel molecular orbital theory	نظرية الأوربيتال الجزيئي لهيكل
Hybrid orbitals	أوربيتالات هجينية
Lagrangian function	دالة لاجرنج
Linear combination	اتحاد خطي
Many-electron atoms	ذرات متعددة الإلكترونات
Node	عقدة
Normalization	عملية تناسق
Overlap integral	تكامل التداخل
Pauli exclusion principle	مبدأ باولي للاستثناء
Perturbation method	طريقة الاضطراب
Photoelectric effect	التأثير الكهروضوئي
Postulates	فرضيات
Rigid rotator	دوار صلد
Valence-bond theory	نظرية رابطة - التكافؤ
Variation method	طريقة التغيير
Speed	انطلاق
Thermal conductivity	إيصالية حرارية
Molecular collision	تصادم جزيئي
Brownian motion	حركة براونية
Thermal motion	حركة حرارية
Transport properties	خصائص انتقالية
Critical temperature	درجة الحرارة الحرجة
Reduced temperature	درجة الحرارة المختزلة
Velocity	سرعة اتجاهية
Partial pressure	ضغط جزئي
Compression factor	عامل الانضغاطية

<b>Real gas</b>	غاز حقيقي
<b>Ideal gas</b>	غاز مثالي
<b>Collision diameter</b>	قطر التصادم
<b>Hard spheres</b>	كرات صلدة
<b>Mole fraction</b>	كسر مولي
<b>Vector quantity</b>	كمية متجهة
<b>Viscosity</b>	لزوجة
<b>Diffusion coefficient</b>	معامل الانتشار
<b>Self-diffusion coefficient</b>	معامل الانتشار الذاتي
<b>Mean free path</b>	معدل المسار الحر
<b>Reaction coordinate</b>	إحداثي التفاعل
<b>Chemisorption</b>	امتزاز كيميائي
<b>Degeneracy</b>	انحلال
<b>Solvent cage effect</b>	تأثير القفص المذيب
<b>Catalysis</b>	تحفيز
<b>Specific catalysis</b>	تحفيز نوعي
<b>Head-on-collision</b>	تصادم رأسي
<b>Elementary reaction</b>	تفاعل أساسي
<b>Heterogeneous reaction</b>	تفاعل غير متجانس
<b>Homogeneous reaction</b>	تفاعل متجانس
<b>Chain reaction</b>	تفاعل متسلسل
<b>Branching chain</b>	تفاعل متسلسل متشعب
<b>Diffusion – controlled reactions</b>	تفاعلات الانتشار السائد
<b>Consecutive reactions</b>	تفاعلات متعاقبة
<b>Reversible reactions</b>	تفاعلات متعاكسة
<b>Parallel reactions</b>	تفاعلات متوازية

Outocatalytic reactions	تفاعلات محفزة ذاتيًا
Complex reactions	تفاعلات معقدة
Rate constant	ثابت السرعة
Apparent rate constant	ثابت السرعة الظاهري
Dielectric constant	ثابت العزل الكهربائي
Energized molecule	جزيئة طاقية
Reaction molecularity	جزيئة التفاعل
Dilatometer	جهاز قياس التحدد
Transition state	حالة انتقالية
Chain – carrier	حالة السلسلة
Zero – order	رتبة صفر
Pseudo – order	رتبة كاذبة
Overall order	رتبة كلية
Free – radical chains	سلاسل الجذور الحرة
Activation energy	طاقة التنشيط
Threshold energy	طاقة العتبة
Relaxation method	طريقة التراخي
Flow method	طريقة الجريان
Steady-state approximation	طريقة الحالة المستقرة
Rate-determining-step approximation	طريقة الخطوة المحددة للسرعة
Static method	طريقة الركود
Trail method	طريقة المحاولة
Steric factor	عامل فراغي
Frequency factor	عامل التردد
Turnover number	عدد التحول
Symmetry number	عدد التماثل
Moment of inertia	عزم القصور الذاتي

Half – life	عمر النصف
Inhibitor	مانع
Encounter	مواجهة
Active centers	مراكز نشطة
Intermediate compound	مركب وسطي
Transmission coefficient	معامل النفاذية
Promoters	معززات
Loosely bound complex	مقعد ضعيف الترابط
Tightly bound complex	مقعد قوي الترابط
Reaction mechanism	ميكانيكية التفاعل
Collision theory	نظرية التصادم
Activated complex theory	نظرية المعقد الفعال
Sparingly soluble salts	أملاح شحيحة الذوبان
Electric mobilities of ions	انتقالات كهربائية للأيونات
Centripetal acceleration	تعجيل الجذب الأرضي
Electrolysis	تحلل كهربائي
Donan equilibrium	توازن دونان
Equivalent conductance	توصيل كهربائي
Molar conductance	توصيل مولاري
Streamline flow	جريان انسيابي
Turbulent flow	جريان مضطرب
Stern potential	جهد ستيرن
Ionic product of water	حاصل الأيوني للماء
Dispersed phase	حالة متشتتة
Partial specific volume	حجم جزء نوعي
Drift speed	سرعة انتقالية

Angular velocity	سرعة زاوية
Ionic strength	شدة أيونية
Bound layer	طبقة ارتباطية
Moving-boundary method	طريقة الحد الفاصل المتحرك
Electro-osmotic pressure	ضغط أزموزي كهربائي
Transference number	عدد انتقالي
Primary hydration number	عدد التميؤ الأولي
Reynold's number	عدد رينولد
Irreversible processes	عمليات غير عكسية
Lyophobic colloids	غرويات كارهة للمذيب
Lyophilic colloids	غرويات ميالة للمذيب
Semipermeable membrane	غشاء شبه نفاذ
Boyant force	قوة الطفو
Intrinsic viscosity	لزوجة ذاتية
Reduced viscosity	لزوجة مختزلة
Relative viscosity	لزوجة نسبية
Sedimentation coefficient	معامل الركود
Specific resistance	مقاومة نوعية
Jumping mechanism	ميكانيكية القفز
Terminals	أطراف توصيل
Deflection	انحراف
Working battery	بطارية تشغيل
Autoprotolysis	تفكك بروتوني ذاتي
Membrane equilibrium	توازن غشائي
Potentiometer	مجهاد
Salt bridge	جسر ملحي

Liquid junction potential	جهد التقاء السائل
Solubility product	حاصل الإذابة
Electrolyte cells	خلايا إلكتروليتيّة
Concentration cells	خلايا تركيزية
Electrochemical cells	خلايا كهروكيميائية
Galvanic cell	خلية جلفانية
Over voltage	فولتية إضافية
Reduction-oxidation electrode	قطب أكسدة - اختزال
Glass electrode	قطب الزجاج
Gas electrode	قطب الغاز
Reference electrode	قطب مرجعي
Amalgam electrode	قطب مملغم
Electromotive force	قوة دافعة كهربائية
Exchange current density	كثافة تيار التبادل
Transfer coefficient	معامل الانتقال
Mean activity	معدل الفعالية
Null point	نقطة الخمود
Black body radiation	أشعة الجسم الأسود
Bonding orbital	أوربيتال تأصري
Hybrid orbitals	أوربيتالات مهجنة
Photoelectric effect	تأثير كهروضوئي
Electron correlation	ترابط إلكتروني
Overlap integral	تكامل التداخل
Coulomb integral	تكامل كولومبي
Free particle	جسيم حر
Diatomic molecules	جزيئات ثنائية الذرة

<b>Eigen function</b>	دالة ذاتية
<b>Lagrangian function</b>	حالة لاجرند
<b>Rigid rotator</b>	دوار صلد
<b>Many-electron atoms</b>	ذرات متعددة الإلكترونات
<b>Bond order</b>	رتبة الرابطة
<b>Effective nuclear charge</b>	شحنة نووية فعالة
<b>Binding energy</b>	طاقة الربط
<b>Delocalization energy</b>	طاقة اللاتمرکز
<b>Perturbation method</b>	طريقة الاضطراب
<b>Variation method</b>	طريقة التغير
<b>Node</b>	عقدة
<b>Normalization</b>	عملية تناسق
<b>Postulates</b>	فرضيات
<b>Heisenberg uncertainty principle</b>	قاعدة اللادقة لهاينزبرج
<b>Pauli exclusion principle</b>	مبدأ بولي للاستثناء
<b>Determinant</b>	محددة
<b>Bohr orbit</b>	مدار بوهر
<b>Average value</b>	معدل القيمة
<b>Harmonic oscillator</b>	مهتز توافقي
<b>Hamiltonian operator</b>	مؤثر هاميلتوني
<b>Hermitian operator</b>	مؤثر هيرميتي
<b>Coordinate system</b>	نظام إحداثي
<b>Conservative system</b>	نظام محافظ
<b>Valence-bond theory</b>	نظرية رابطة التكافؤ
<b>Huckel molecular orbital theory</b>	نظرية الأوربيتال الجزيئي للهيكل

\* \* \*

## الملاحق

الملحق ( ١ )

الجزء ( أ ) :

بعض التكاملات الشائعة :

$$\int_0^{\infty} x^n e^{-Ax^2} dx = I_n$$

n	0	1	2	3	4	5	6
$I_n$	$\frac{1}{2} \left( \frac{\pi}{A} \right)^{1/2}$	$\frac{1}{2A}$	$\frac{1}{4} \left( \frac{\pi}{A^3} \right)^{1/2}$	$\frac{1}{2A^2}$	$\frac{3}{8} \left( \frac{\pi}{A^5} \right)^{1/2}$	$\frac{1}{A^3}$	$\frac{15}{16} \left( \frac{\pi}{A^7} \right)^{1/2}$

$$\int_0^{\infty} x^n e^{-Ax^2} dx = \frac{n-1}{2A} \int_0^{\infty} x^{n-2} e^{-Ax^2} dx$$

$$\int \frac{xdx}{A+Bx} = \frac{X}{B} - \frac{A}{B^2} / n (A+Bx)$$

$$\int \frac{dx}{x(A+Bx)} = - \frac{1}{A} / n \frac{A+Bx}{x}$$

الجزء ( ب ) :

معادلة ماكسويل - بولتزمان لتوزيع السرعة الجزيئية :

نرمز لمركبات السرعة الجزيئية ( u ) molecular velocity الثلاثة

بالرموز x و y و z . وهذه ترتبط بالانطلاق speed (c)

بالعلاقة التالية :

$$c^2 = x^2 + y^2 + z^2$$

... ( 1 )



أما الآن فهدفنا هو إيجاد دالة تعرفنا على كيفية توزيع الجزيئات نسبة إلى السرعة هذه الدالة نرمز لها  $F ( x, y, z, )$  وتدعى بدالة التوزيع **Distribution function** أما شكل هذه الدالة فنتبع ما يلي :

١- وفقًا لافتراض ماكسويل الأول بأن الدالة  $F$  تعتمد فقط على الطاقة الحركية  $E_k$  أي أن :

$$F ( x, y, z ) = f ( E_k ) \quad \dots ( 2 )$$

وبما أن الطاقة الحركية تساوي :

$$E_k = \frac{1}{2} m ( x^2 + y^2 + z^2 ) \quad \dots ( 3 )$$

عندئذ يمكننا أن نحصل بعد ربط معادلتنا (2) , (3) على ما يلي :

$$F ( x, y, z ) = F ( x^2 + y^2 + z^2 )$$

وهذا يعني أن  $F$  هي دالة لمجموع مربعات مركبات السرعة الثلاثة .

٢- أما الافتراض الثاني فيفيد بأن مركبات السرعة الثلاث مستقلة بعضها عن البعض الآخر : أي أن .

$$F ( x^2 + y^2 + z^2 ) = f (x) f (y) f (z) \quad \dots ( 4 )$$

والآن نحتاج إلى دالة تلبي القيد المذكور في معادلة (4) .

وفي الواقع يوجد فقط دالة أسية تفي بالغرض ( وذلك لأنه يمكن أن نقول  $e^{a+b+c} = e^a e^b e^c$  شكلها هو :

$$f (x) f (y) f (z) = K^3 \exp [ - A ( x^2 + y^2 + z^2 ) ] \quad \dots ( 5 )$$

حيث  $A, K$  هي ثوابت .

أما قيمة الثابت  $K$  فيمكن إيجادها كما يلي :

نأخذ حالة أحادية الاتجاه :

$$f(x) = K \exp [ - A x^2 ] \quad \dots (6)$$

أما الاحتمالية الكلية المركبة السرعة  $x$  أن تقع في المدى  $-\infty \leq x \leq +\infty$  يجب أن تساوي واحد ، أي أن :

$$\int_{-\infty}^{+\infty} f(x) dx = 1 \quad \dots (7)$$

نعوض (6) في (7) :

$$\int_{-\infty}^{+\infty} K \exp ( - A x^2 ) dx = 1$$

$$\int_{-\infty}^{+\infty} \exp ( - A x^2 ) dx = K \left( \frac{\pi}{A} \right)^{1/2} = 1$$

وعندئذ فإن ،

$$K = \left( \frac{A}{\pi} \right)^{1/2} \quad \dots (8)$$

وبذا يمكن كتابة معادلة (5) بالشكل التالي :

$$f(x)f(y)f(z) = \left( \frac{A}{\pi} \right)^{1/2} \exp [ - A ( x^2 + y^2 + z^2 ) ] \quad \dots (9)$$

هذه المعادلة تعطي الدالة المعروفة بدالة توزيع السرعة لماكسويل .

وبقى لدينا أن نحسب قيمة  $A$  ويتم ذلك حسب ما يلي :

إن معدل قيمة أي متغير يعطي بواسطة التكامل على كل الفراغ لذلك المتغير مضروباً في دالة التوزيع ( هذا هو تعريف عام ) وبتعبير رياضي إذا كان المتغير مربع مركبة السرعة ( أي  $x^2$  ) نكتب :

$$\bar{x}^2 = \int_{-\infty}^{+\infty} x^2 (x) dx \quad \dots (10)$$

وباستخدام معادلتني (6) , (8) نكتب معادلة (10) كما يلي :

$$\bar{x}^2 = \left( \frac{A}{\pi} \right)^{1/2} \int_{-\infty}^{+\infty} x^2 \exp ( - A x^2 ) dx \quad \dots (11)$$

إن التكامل لهذه المعادلة معروف قيمته ( اطلع على الملحق I ) .

$$\int_{-\infty}^{+\infty} x^2 \exp (-Ax^2) dx = \frac{1}{2} \left( \frac{\pi}{A^3} \right)^{1/2} \quad \dots (12)$$

وهكذا تكون معادلة (11) كما يلي :

$$\bar{x}^2 = \frac{1}{2} \left( \frac{A}{\pi} \right)^{1/2} \left( \frac{\pi}{A^3} \right)^{1/2} = \frac{1}{2A} \quad \dots (13)$$

وبما أن معدل مربع السرعة  $\bar{u}^2$  يساوي  $(\bar{x}^2 + \bar{y}^2 + \bar{z}^2)$  لذا نكتب الآتي :

$$\bar{u}^2 = \frac{1}{2A} + \frac{1}{2A} + \frac{1}{2A} = \frac{3}{2A}$$

ومن معادلة النظرية الحركية للغازات ( لاحظ الفصل الأول ) نحصل على :

$$\begin{aligned} PV &= \frac{1}{3} Nm \bar{u}^2 \\ &= \frac{1}{3} Nm \left( \frac{3}{2A} \right) = \frac{1}{2} \frac{Nm}{A} \end{aligned} \quad \dots (14)$$

أما المعادلة العامة للغاز المثالي ( لمول واحد ) فهي :

$$PV = RT = NkT \quad \dots (15)$$

( حيث  $R$  ثابت الغاز يساوي عدد أفوكادرو  $N$  مضروباً في ثابت بولتزمان  $K$  ) وبمساواة معادلتى (14) , (15) نحصل على :

$$\begin{aligned} \frac{1}{2} \frac{Nm}{A} &= NkT \\ A &= \frac{m}{2kT} \end{aligned} \quad \dots (16)$$

وهكذا يمكن أن نكتب معادلة (9) كما يلي :

$$f(x)f(y)f(z) = \left( \frac{m}{2\pi kT} \right)^{3/2} \exp \left[ \frac{-m(x^2 + y^2 + z^2)}{2kT} \right] \quad \dots (17)$$

أما لإيجاد عدد الجزيئات التي تأخذ قيما من السرعة ضمن مدى صغير للسرعة فيمكن إيجاده بدلالة كسر الجزيئات

fraction of molecules  $\frac{dN_{(x,y,z)}}{N}$  الذي يعرف كما يلي :

$$\frac{dN_{(x,y,z)}}{N} = f(x)f(y)f(z) dx dy dz \quad \dots (18)$$

وعند ربط معادلتني (17) , (18) نحصل على :

$$\frac{dN}{N} = \left[ \frac{m}{2\pi kT} \right]^{3/2} \exp \left[ \frac{-m(x^2 + y^2 + z^2)}{2kT} \right] dx dy dz \quad \dots (19)$$

هذه هي معادلة توزيع بولتزمان - ماكسويل للسرعة .

وعندما نريد التعبير عن كسر الجزيئات بدلالة الانطلاق ( السرعة الاتجاهية ) فنستخدم العلامتين الآتيتين :

$$c^2 = x^2 + y^2 + z^2$$

$$dx dy dz = 4\pi c^2 dc$$

أي أن معادلة (19) تصبح :

$$\frac{dN_{(c)}}{N} = 4\pi \left[ \frac{m}{2\pi kT} \right]^{3/2} c^2 \exp \left[ \frac{-mc^2}{2kT} \right] dc \quad \dots (20)$$

الملحق ( ٢ )

الجزء ( أ ) :

حل المعادلة :

$$\frac{d[B]}{dt} = k_1 [A]_0 e^{-k_1 t} - [B]$$

$$\frac{d[B]}{dt} = k_2 [B] = k_1 [A]_0 e^{-k_1 t} \quad \dots (1)$$

من أجل حل هذه المعادلة نضرب جميع الحدود فيها بعامل التكامل integration factor ( وهنا يكون  $e^{k_2 t}$  ) وسينتج :

$$\frac{d[B]}{dt} e^{k_2 t} + k_2 [B] e^{k_2 t} = k_1 [A]_0 e^{-k_1 t} e^{k_2 t}$$

إن الطرف الأيسر من المعادلة أعلاه يمثل المشتقة لحاصل ضرب عامل التكامل  $e^{k_2 t}$  والمتغير  $[B]$  أي أن :

$$\frac{d}{dt} [B] e^{k_2 t} + [B] e^{k_2 t} = \frac{d}{dt} ([B]) e^{k_2 t}$$

وعندئذ نكتب معادلة ( 2 ) بالشكل التالي :

$$\frac{d}{dt} ([B]) e^{k_2 t} = k_1 [A]_0 e^{(k_2 - k_1)t}$$

والآن نجري التكامل لهذه المعادلة ، حيث سنحصل على :

$$[B] e^{k_2 t} = k_1 [A]_0 \left\{ \frac{1}{(k_2 - k_1)} e^{(k_2 - k_1)t} \right\} + \text{constant } t \quad \dots (4)$$

هذا وأن قيمة ثابت التكامل ( constant ) يمكن إيجادها باستخدام الشروط البدائية  $[B] = [B]_0 = 0$  عند  $t = 0$  وعندئذ تكون قيمة الثابت :

$$\text{const } t = \frac{k_1 [A]_0}{(k_2 - k_1)}$$

وبذا ستأخذ المعادلة (4) الصيغة التالية :

$$[B] e^{k_2 t} = k_1 [A]_0 \left\{ \frac{e^{(k_2 - k_1)t}}{(k_2 - k_1)} + \frac{k_1 [A]_0}{(k_2 - k_1)} \right\}$$

أو بعد ترتيبها ستكون :

$$[B] = \frac{k_1 [A]_0}{(k_2 - k_1)} \{ e^{-k_1 t} - e^{-k_2 t} \} \quad \dots (5)$$

الجزء ( ب ) :

معادلة أرينيوس :

وهي علاقة تجريبية توضح اعتمادية سرعة التفاعل على درجة الحرارة وأن صيغة هذه العلاقة قد أعطيت كالآتي :

إن أرينيوس في إيجاده لمعادلته المذكورة أعلاه جاء نتيجة لاعتقاده بوجود تشابه مع اعتمادية ثابت توازن متعاكس على درجة الحرارة ولنرى الآن كيفية اشتقاق معادلة أرينيوس . ونبدأ أولاً بكتابة معادلة اعتمادية ثابت التوازن ( المعبر عنه بدلالة وحدات التركيز ) لتفاعل متعاكس على درجة الحرارة وهي :

$$\frac{d \ln K_c}{dT} = \frac{\Delta U^0}{RT^2} \quad \dots (1)$$

حيث  $\Delta U^0$  تشير إلى التغير في الطاقة الداخلية المولارية القياسية للتفاعل أما إذا كان ثابت التوازن معبراً عنه بدلالة الضغط فنكتب معادلة (1) بالشكل التالي :

$$\frac{d \ln K_p}{dT} = \frac{\Delta H^0}{RT^2}$$

حيث  $\Delta H^0$  تمثل التغير في الانتالبي وهي ترتبط بـ  $\Delta U^0$  بالعلاقة التالية :

$$\Delta H^0 = \Delta U^0 + \Delta |v| RT$$

حيث  $\Delta |v|$  يمثل عدد مولات المواد الناتجة من التفاعل مطروحاً منها عدد مولات المواد المتفاعلة في معادلة التفاعلة المتوازنة .

وبذا نكتب :

$$K_p = K_c (RT)^{\Delta |v|}$$

والآن نرجع إلى المعادلة ( 1 ) :

$\Delta U^0$  لتفاعل غازي ( مثالي ) تساوي الفرق بين طاقة التنشيط للتفاعل الأمامي  $(E_a)_1$  والعكسي  $(E_a)_{-1}$  أي أن :

$$\Delta U^0 = (E_a)_1 - (E_a)_{-1} \quad \dots (2)$$

أما  $K_c$  ثوابت توازن التفاعل المتعاكس فتعطي ( انظر معادلة - 94

2 ) كما يلي :

$$K_c = \frac{K_1}{k_{-1}} \quad \dots (3)$$

وعند تعويض معادلتني ( 2 ) , ( 3 ) في معادلة ( 1 ) ينتج لنا :

$$\frac{d}{dt} \left( \ln \frac{k_1}{k_{-1}} \right) = \frac{(E_a)_1 - (E_a)_{-1}}{RT^2} \quad \dots (4)$$

أو تكتب بعد ترتيبها بالشكل التالي :

$$\frac{d \ln K_1}{dT} - \frac{(E_a)_1}{RT^2} = \frac{d \ln k_{-1}}{dT} - \frac{(E_a)_{-1}}{RT^2} \quad \dots (5)$$

ويمكن فصل معادلة (5) إلى معادلتين تعبران عن التفاعل الأمامي

والعكسي وكما يلي :

$$\frac{d \ln K_1}{dT} = \frac{(E_a)_1}{RT^2} + 1 \quad (6)$$

$$\frac{d \ln K_{-1}}{dT} = \frac{(E_a)_{-1}}{RT^2} + 1 \quad \dots (7)$$

حيث الثابت I وجد بأنه يساوي صفرًا . وعندئذ يمكن أن نكتب بصورة عامة العلاقة بين ثابت السرعة k ودرجة الحرارة T بالشكل التالي :

$$\frac{d \ln k}{dT} = \frac{E_a}{RT^2} \quad \dots (8)$$

وعند إجراء التكامل لهذه المعادلة (معتبرين أن  $E_a$  لا تعتمد على درجة الحرارة) نحصل على :

$$\ln k = -\frac{E_a}{RT} + c \quad \dots (9)$$

حيث c هو ثابت التكامل . وقد عبر أرينيوس عن ثابت التكامل هذا بالمقدار  $\ln A$  . وأطلق على A بـ عامل التردد frequency factor . وعندئذ يمكن كتابة معادلة (9) بالصيغة التالية :

$$\ln k = \ln A - \frac{E_a}{RT} \quad \dots (10)$$

أو بالصيغة الآتية :

$$k = Ae^{-E_a/RT} \quad \dots (11)$$

\* \* \*



### الملحق ( ٣ )

اشتقاق معادلة توازن دونان :

نأخذ نظاماً يحتوي على محلولين مفصولين بواسطة غشاء شبه نفاذ . هذان المحلولان يحتويان على أيونات عند تراكيز مختلفة . والأيونات الموجودة في المحلولين هي  $K^+$  ,  $Cl^-$  وكذلك جزيئات المذيب ( الماء ) وإضافة إلى ذلك يوجد في أحد المحلولين أيون غروي موجب الشحنة  $p^z+$  لا يمكنه النفاذ خلال الغشاء الفاصل بين المحلولين . مثل هذه الحالة ستؤدي إلى نشوء جهد عبر الحاجز . وعند الوصول إلى التوازن فإنه يجب أن يكون :

$$\left. \begin{aligned} \bar{\mu}(K^+) &= \bar{\mu}(K^+)' \\ \bar{\mu}(Cl^-) &= \bar{\mu}(Cl^-)' \\ \bar{\mu}(H_2O) &= \bar{\mu}(H_2O)' \end{aligned} \right\} \quad \dots (1)$$

حيث  $\bar{\mu}$  تمثل الجهد الكهروكيميائي **Electrochemical Potential**

وهو يساوي .

$$\bar{\mu}(i) = \bar{\mu}(i) + z(i)F\phi \quad \dots (2)$$

$\mu(i)$  : هو الجهد الكيميائي **chemical potential** لأيون  $i$  وهو يعطى

بالمعادلة ( 4 ) أدناه :

$z(i)$  : هي شحنة الأيون ذو النوع  $i$  :

$F$  : هو ثابت فرادي :

$\phi$  : هو الجهد الكهربائي **electrical potential** .

وإذا كانت فعاليات ( التي يرمز لها بالرمز  $a$  ) جزيئات

الماء مختلفة على جانبي الغشاء فسوف ينشأ ضغط أزموزي عبر

الغشاء . هذا الضغط يرمز له عادة بالرمز  $\pi$  وهو يعطى بالمعادلة التالية :

$$\pi = \frac{RT}{\bar{V}(\text{H}_2\text{O})} \ln \frac{a(\text{H}_2\text{O})'}{a(\text{H}_2\text{O})} \quad \dots (3)$$

ونكتب تعريف الجهد الكيميائي  $\mu(i)$  بالمعادلة التالية :

$$\mu(i) = \mu^0(i) + RT \ln a(i) \quad \dots (4)$$

حيث  $\mu^0(i)$  تمثل الجهد الكيميائي القياسي . وعند تعويض معادلة (4) في (2) نحصل على :

$$\bar{\mu}(i) = \mu^0(i) + RT \ln a(i) + z(i)F\phi \quad \dots (5)$$

وبصورة مشابهة نكتب معادلة لمحللول الجهة الثانية من الغشاء وكما يلي :

$$\mu(i)' = \mu^0(i)' + RT \ln a(i)' + z(i)F\phi' \quad \dots (6)$$

وبما أن الجهد الكيميائي القياسي هو نفسه في كل جانب من جانبي الغشاء ، أي أن :

$$\mu^0(i) = \mu^0(i)' \quad \dots (7)$$

نكتب الفرق في الجهد الكهروكيميائي وذلك بطرح معادلة (5) من (6) .

$$\begin{aligned} \Delta\bar{\mu}(i) &= RT \ln a(i) + z(i)F\phi' - RT \ln a(i) - z(i)F\phi \\ &= RT \ln \frac{a(i)'}{a(i)} + z(i)F(\Delta\phi) \end{aligned} \quad \dots (8)$$

( حيث إن  $\Delta\Phi = \phi' - \phi$  ) .

ونظراً لكون العملية هنا هي عكسية ، لذا عند درجة حرارة ثابتة يكون :

$$\Delta\bar{\mu}(i) = \bar{V}(i)\Delta P = \bar{V}(i)\pi \quad \dots (9)$$

حيث  $\Delta P$  هو الفرق في الضغط وهو يمثل الضغط الأزموزي  $\pi$  وعند توحيد معادلتين (8) و (9) نصل إلى :

$$\bar{V}(i)\pi = RT \ln \frac{a(i)'}{a(i)} + z(i)F\Delta\phi \quad \dots (10)$$

أو :

$$\Delta\phi = \frac{\pi \bar{V}(i)}{z(i)F} - \frac{RT}{z(i)F} \ln \frac{a(i)'}{a(i)} \quad \dots (11)$$

وبالنسبة لأيونات  $K^+$  ( $z = 1$ ) تصبح المعادلة كالآتي :

$$\Delta\phi = \frac{\pi \bar{V}(K^+)}{F} - \frac{RT}{F} \ln \frac{a(K^+)'}{a(K^+)} \quad \dots (12)$$

ونفس الشيء بالنسبة لأيونات  $Cl^-$  ( $z = -1$ ) يكون :

$$\Delta\phi = \frac{\pi \bar{V}(Cl^-)}{F} + \frac{RT}{F} \ln \frac{a(Cl^-)'}{a(Cl^-)} \quad \dots (13)$$

وإذا عوضنا عن  $\pi$  من معادلة (3) في المعادلتين (12) , (13)

نحصل على :

$$\Delta\phi = \frac{RT \bar{V}(K^+)}{F \bar{V}(H_2O)} \ln \frac{a(H_2O)'}{a(H_2O)} - \frac{RT}{F} \ln \frac{a(K^+)'}{a(K^+)} \quad \dots (14)$$

$$\Delta\phi = \frac{RT \bar{V}(Cl^-)}{F \bar{V}(H_2O)} \ln \frac{a(H_2O)'}{a(H_2O)} + \frac{RT}{F} \ln \frac{a(Cl^-)'}{a(Cl^-)} \quad \dots (15)$$

وإذا عوضنا عن  $\frac{\bar{V}(K^+)}{\bar{V}(H_2O)}$  بـ  $r^+$  وعن  $\frac{\bar{V}(Cl^-)}{\bar{V}(H_2O)}$  بـ  $r^-$  عندئذ نكتب المعادلتين (14) و (15) كالآتي :

$$\Delta\phi = \frac{RT}{F} \ln \left[ \left\{ \frac{a(H_2O)'}{a(H_2O)} \right\}^{r^+} \left\{ \frac{a(K^+)'}{a(K^+)} \right\} \right]$$

$$= \frac{RT}{F} \ln \left[ \left\{ \frac{a(H_2O)'}{a(H_2O)} \right\}^{r-} \left\{ \frac{a(Cl^-)}{a(Cl^-)'} \right\} \right] \quad \dots (16)$$

وإذا كان المحلول مخففاً فإنه كتقريب يمكن اعتبار  $a(H_2O) \approx a(H_2O)'$  وعليه تختزل المعادلة (16) للصيغة التالية :

$$\Delta\phi = \frac{RT}{F} \ln \frac{a(K^+)}{a(K^+)'} = \frac{RT}{F} \ln \frac{a(Cl^-)}{a(Cl^-)'} \quad \dots (17)$$

ومنها نحصل على :

$$a(K^+)a(Cl^-) = a(K^+) ' a(Cl^-)' \quad \dots (18)$$

وإذا كان المحلول مخففاً لدرجة يمكن اعتبار معامل الفعالية مساوياً إلى واحد فحينئذ يكون  $a \approx c$  (حيث  $c$  هو التركيز) ويكون :

$$C(K^+)C(Cl^-) = C(K^+) ' C(Cl^-)' = (C')^2 \quad \dots (19)$$

إن كلا من معادلتني (18) و (19) تعرف بشرط توازن دونان .

\* \* \*

## الملحق ( ٤ )

### الجزء ( أ ) :

#### فعاليات الإلكتروليتات : Activities of Electrolytes :

من أجل التبسيط نأخذ محلولاً يتكون من مذيب غير إلكتروليتي ( مثل الماء ، أو الكحول ) وإلكتروليت منفرد يعطي نوعين من الأيونات في المحلول ( مثل  $\text{Na}_2\text{SO}_4$  ) وليس (  $\text{KAl}(\text{SO}_4)_2$  ) وليكن الإلكتروليت  $i$  له الصيغة  $\text{M}_{v+}\text{X}_{v-}$  وهو يعطي الأيونات  $\text{M}^{z+}$  و  $\text{X}^{z-}$  في المحلول .

$$\text{M}_{v+}\text{X}_{v-} = v_+ \text{M}^{z+} + v_- \text{X}^{z-} \quad \dots (1)$$

( حيث  $z$  تمثل الشحنة أما  $v$  فهي عدد الأيونات في الصيغة الكيميائية للإلكتروليت ) فمثلاً نكتب للإلكتروليتين  $\text{Ba}(\text{NO}_3)_2$  و  $\text{BaSO}_4$  الآتي :

$$\text{Ba}(\text{NO}_3)_2 \quad \text{M} = \text{Ba}, \quad \text{X} = \text{NO}_3; v_+ = 1, v_- = 2; z_+ = 2, z_- = -1$$

$$\text{BaSO}_4 \quad \text{M} = \text{Ba}, \quad \text{X} = \text{SO}_4; v_+ = 1, v_- = 1; z_+ = 2, z_- = -2$$

وعندما تكون  $z_+ = 1$  و  $|z_-| = 1$  فسيكون عندنا إلكتروليت من نوع :

إلكتروليت أحادي : أحادي التكافؤ ( 1 : 1 electrolyte ) وإذا سيكون :

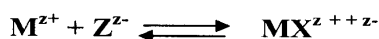
$$\text{Ba}(\text{NO}_3)_2 \quad \text{إلكتروليت ثنائي : أحادي التكافؤ} \quad 2 : 1 \text{ electrolyte}$$

$$\text{Na}_2\text{SO}_4 \quad \text{إلكتروليت أحادي : ثنائي التكافؤ} \quad 1 : 2 \text{ electrolyte}$$

$$\text{MgSO}_4 \quad \text{إلكتروليت ثنائي : ثنائي التكافؤ} \quad 2 : 2 \text{ electrolyte}$$

غالبًا ما نرى أن البعض يذكرون بأن أملاح مثل  $\text{NaCl}$  ,  $\text{MgCl}_2$  ,  $\text{CuSO}_4$  و تظهر في محلول مائي على هيئة أيونات فقط ، والحقيقة أن هذه الصورة غير صحيحة والذي يحدث ( ما عدا الإلكتروليتات من نوع إلكتروليت أحادي : أحادي التكافؤ ) هو إمكانية الاتحاد ( بمقدار لا بأس به )

بين الأيونات المختلفة الشحنة في المحلول وتكون الأزواج الأيونية . وإن التوازن لتكوين الأزواج الأيونية في المحلول يعبر عنه كالآتي :



فمثلاً لمحلول  $Ca(NO_3)_2$  يمكن أن نكتب التوازن التالي :



والآن لنرجع إلى الإلكتروليت  $i$  ذي الصيغة  $M_{v+} X_{v-}$  الذي يعطي في المحلول الأيونات  $M^{z+}$  ,  $X^{z-}$  .

ولتكن  $a_+$  و  $m_+$  و  $\gamma$  فعالية ومولارية ومعامل الأيون الموجب  $M^{+z}$  على التوالي . وكذلك الحال تكون  $a_-$  ,  $m_-$  و  $\gamma_-$  فعالية ومولارية ومعامل فعالية الأيون السالب  $X^{z-}$  . وإن العلاقة بين هذه الكميات تعطي كالتالي :

$$a_+ = \gamma_+ \left( \frac{m_+}{m^0} \right)$$

$$a_- = \gamma_- \left( \frac{m_-}{m^0} \right)$$

( وحيث :  $m^0 \equiv 1 \text{ mol kg}^{-1}$  ) .

$$(a_+) (a_-) = \gamma_+ \left( \frac{m_+}{m^0} \right) \gamma_- \left( \frac{m_-}{m^0} \right)$$

وبالنسبة لـ  $M_{v+} X_{v-}$  تصبح هذه المعادلة كالآتي :

$$(a_+)^{v+} (a_-)^{v-} = (\gamma_+)^{v+} \left( \frac{m_+}{m^0} \right)^{v+} (\gamma_-)^{v-} \left( \frac{m_-}{m^0} \right)^{v-} \quad \dots (2)$$

حيث  $m_+$  ,  $m_-$  واتحاد معاملات الفعالية  $(\gamma_+)$  ,  $(\gamma_-)$

يمكن تحديدها عملياً في حين لا يمكن قياس كل من  $\gamma_+$  ,  $\gamma_-$  بسهولة على انفراد .

لذا ندخل كمية جديدة تعرف بمعدل معامل الفعالية الأيونية  $(\gamma_{\pm})$

activity coefficient mean ionic ولإلكتروليت  $M_{\nu+}X_{\nu-}$  .

تعطي  $\gamma_{\pm}$  كما يلي :

$$(\gamma_{\pm})^{\nu_+ + \nu_-} \equiv (\gamma_+)^{\nu_+} (\gamma_-)^{\nu_-} \quad \dots (3)$$

فمثلاً لـ  $BaCl_2$   $\gamma_{\pm}$  .

$$(\gamma_{\pm})^3 = (\gamma_+) (\gamma_-)^2$$

أو :

$$(\gamma_{\pm}) = (\gamma_+)^{1/3} (\gamma_-)^{2/3}$$

وإذا رمزنا للمجموع  $\nu_+ + \nu_-$  بـ  $\nu$  فسوف تصبح معادلة (3) كالآتي :

$$(\gamma_{\pm})^{\nu} \equiv (\gamma_+)^{\nu_+} (\gamma_-)^{\nu_-} \quad \dots (4)$$

والمعادلة (2) تظهر بالشكل التالي :

$$(a_{\pm})^{\nu} (a_-)^{\nu_-} = (\gamma_{\pm})^{\nu} \left( \frac{m_+}{m^0} \right)^{\nu_+} \left( \frac{m_-}{m^0} \right)^{\nu_-} \quad \dots (5)$$

والآن ما هي المولالية  $m_i$  لإلكتروليت  $i$  ؟

المولالية  $m_i$  تعطي بالمعادلة :

$$m_i = \frac{n_i}{w_A} \quad \dots (6)$$

حيث يحضر المحلول من إذابة  $n_i$  مول من الإلكتروليت في كتلة  $w_A$

من مذيب ما هي علاقة كل من  $m_+$  ,  $m_-$  و  $m_i$  ؟

لنكن  $\alpha$  تمثل الجزء من أيونات  $M^{z+}$  التي لا تتحد مع أيونات  $M^{z-}$

لتكوين الأزواج الأيونية . ومن ومعادلة (1) يتبين ما يلي :

١- في حالة عدم تكوين أزواج أيونية تصبح عدد مولات  $M^{z+}$  مساوية

إلى  $\nu_+ n_i$  .

٢- أما في حالة وجود أزواج أيونية فإن عدد مولات  $M^{z+}$  في المحلول (يرمز لها  $n_+$ ) تعطي بـ :

$$n_+ = \alpha v_+ n_i \quad \dots (7)$$

وعندئذ فإن جزءا من عدد المولات الكلية  $v_+ n_i$  لـ  $M$  في المحلول يظهر بشكل  $M^{z+}$  والجزء الآخر يظهر في الأزواج الأيونية  $MX^{z++z-}$ . وإذا فعدد مولات الزوج الأيوني (الذي يرمز لها بـ  $n_{IP}$ ) تعطي كما يلي :

$$n_{IP} = v_+ n_i - n_+ = v_+ n_i - \alpha v_+ n_i = (1 - \alpha) v_+ n_i$$

٣- إن جزءا من عدد المولات الكلية  $v_- n_i$  لـ  $X$  في المحلول يظهر بشكل أيونات  $X^{z-}$  والجزء الآخر في الأزواج الأيونية. وعندئذ نستطيع أن نكتب عدد مولات  $Z^{z-}$  في المحلول (ونرمز لها بـ  $n_-$ ) كالاتي :

$$n_- = v_- n_i - n_{IP} = [v_- - (1 - \alpha) v_+] n_i \quad \dots (8)$$

وعند قسمة كل من معادلتا (7) و (8) على كتلة المذيب  $W_A$  نحصل على :

$$\frac{n_+}{W_A} = m_+ = \alpha v_+ \frac{n_i}{W_A} = \alpha v_+ m_i \quad \dots (9)$$

$$\frac{n_-}{W_A} = m_- = [v_- - (1 - \alpha) v_+] \frac{n_i}{W_A} = [v_- - (1 - \alpha) v_+] m_i \quad \dots (10)$$

وإذا عوضنا عن  $m_-$  (من معادلة (9)) وعن  $m_+$  (من معادلة (10)) في معادلة (5) فسوف ينتج لنا :

$$(a_+)^{v+} (a_-)^{v-} = (\gamma_{\pm})^v (\alpha v_+)^{v+} [v_- - (1 - \alpha) v_+]^{v-} \left( \frac{m_i}{m^o} \right)^v \quad \dots (11)$$



وإذا افترضنا عدم تكوين أزواج أيونية ( أي عدم حدوث اتحاد  $M^{z+}$  مع  $X^{z-}$  ) فإن  $\alpha$  سوف تساوي 1 وفي هذه الحالة تختزل المعادلة (11) إلى الصيغة التالية :

$$(a_+)^{v+} (a_-)^{v-} = (\gamma_{\pm})^v (v_+)^{v+} (v_-)^{v-} \left( \frac{m_i}{m^0} \right)^v \quad \dots (12)$$

وبطريقة مشابهة لمعادلة (3) نحدد  $v_{\pm}$  كما يلي :

$$(v_{\pm})^{v++v-} \equiv (v_+)^{v+} (v_-)^{v-} \quad \text{أو :}$$

$$(v_{\pm})^v \equiv (v_+)^{v+} (v_-)^{v-} \quad \dots (13)$$

وباستخدام هذه العلاقة يمكننا إعادة كتابة معادلة (12) بالشكل التالي :

$$(a_+)^{v+} (a_-)^{v-} = \left( v_{\pm} \gamma_{\pm} \frac{m_i}{m^0} \right)^v \quad \dots (14)$$

والآن نرجع لمعادلة الفعالية  $\gamma_i$  للأيونوليت  $i$  بالمعادلة التالية :

$$\gamma_i \equiv (v_{\pm})^{-1} (\alpha v_+)^{v+/v} [v_- - (1-\alpha)v_+]^{v-/v} \gamma_{\pm} \quad \dots (15)$$

وعند التعويض عن  $\gamma_{\pm}$  من معادلة (15) في معادلة (11) سنحصل على :

$$(a_+)^{v+} (a_-)^{v-} = \left( \gamma_{\pm} \gamma_i \frac{m_i}{m^0} \right)^v \quad \dots (16)$$

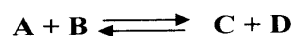
ومما يلاحظ إنه في حالة عدم وجود الزوج الأيوني ( حيث  $\alpha = 1$  )

تأخذ المعادلة (15) الصيغة التالية :  $\gamma_i = \gamma_{\pm}$  for  $\alpha=1$

الجزء ( ب ) : علاقة التغير في الطاقة الحرة المولارية القياسية لجبس

$\Delta G^0$  بالقوة الدافعة الكهربائية القياسية  $E_{\text{cell}}^0$  .

لنأخذ التفاعل التالي :



فعندما يخفض التفاعل كمية المادة A بمقدار  $d\zeta$  فإنه سيقبل كمية المادة B ويزيد كل من المادتين C و D بنفس المقدار ( أي بمقدار  $d\zeta$  ) .

التغير في كمية المادة A :  $d\zeta$  - ( نقصان ) .

التغير في كمية المادة B :  $d\zeta$  - ( نقصان ) .

التغير في كمية المادة C :  $d\zeta$  + ( زيادة ) .

التغير في كمية المادة D :  $d\zeta$  + ( زيادة ) .

والسؤال المطروح هو : ما هو التغير في دالة جيبس (  $dG$  ) لنظام يحدث فيه التغير المذكور أعلاه ؟

الجواب هو أنه عند درجة حرارة وضغط ثابتين فإن التغير في  $G$  يمكن كتابته بدلالة الجهود الكيميائية (  $\mu$  ) والتغير في المقادير (  $dn$  ) للمواد الموجودة في هذا النظام :

$$dG = \mu_A dn_A + \mu_B dn_B + \mu_C dn_C + \mu_D dn_D \quad (\text{وعند } T \text{ و } p \text{ ثابتين})$$

وعندئذ لمثالنا الحالي نكتب :

$$dG = -\mu_A d\zeta - \mu_B d\zeta + \mu_C d\zeta + \mu_D d\zeta \quad (\text{عند } T \text{ و } p \text{ ثابتين})$$

$$\left( \frac{dG}{d\zeta} \right)_{p,T} = -\mu_A - \mu_B + \mu_C + \mu_D \quad \text{أو :}$$

وبما أن :

$$\mu_A = \mu_A^O + RT \ln a_A$$

$$\mu_B = \mu_B^O + RT \ln a_B$$

$$\mu_C = \mu_C^O + RT \ln a_C$$

$$\mu_D = \mu_D^O + RT \ln a_D$$

لذا تصبح معادلة (1) بالشكل التالي :

$$\left( \frac{dG}{d\xi} \right)_{p,T} \equiv \Delta G = -(\mu_A^0 + RT \ln a_A) - (\mu_B^0 + RT \ln a_B)$$

$$(\mu_C^0 + RT \ln a_C) + (\mu_D^0 + RT \ln a_D) \quad \dots (2)$$

وعند التوازن  $\left[ \left( \frac{dG}{d\xi} \right)_{p,T} = 0 \right]$  حيث يكون تصبح المعادلة أعلاه كالآتي :

$$-(\mu_C^0 + \mu_D^0 - \mu_A^0 - \mu_B^0) = RT \ln \frac{a_C a_D}{a_A a_B} \quad \dots (3)$$

حيث يشير الرمز السفلي e إلى حالة التوازن .  
تعرف دالة جيبس المولارية القياسية  $\Delta G^0$  للتفاعل كالآتي :

$$\Delta G^0 = G^0 (\text{النواتج}) - G^0 (\text{للمواد المتفاعلة}) = (\mu_C^0 + \mu_D^0) - (\mu_A^0 + \mu_B^0)$$

أما ثابت التوازن K لهذا التفاعل فيعطى بـ :

$$K = \frac{a_C a_D}{a_A a_B}$$

عندئذ يعد استخدام هذين التعريفين تأخذ المعادلة (3) الصيغة التالية :

$$-\Delta G^0 = RT \ln K \quad \dots (4)$$

وندون أدناه جدولاً لقيم طاقات الحرة لتكوين المركبات والأيونات .

\* \* \*

قيم مختارة للطاقات الحرة لتكوين المركبات والأيونات عند درجة حرارة  
25°C وضغط 1 جو .

Substance	$G_f^\circ$	substance	$G_f^\circ$
$Ag^+ (aq)$	77.111	$OH^- (aq)$	-157.30
$Ag_2^0 (s)$	-10.82	$H_2O (g)$	-228.596
$AgCl (s)$	-109.72	$H_2O (l)$	-237.192
$AgBr (s)$	-95.939	$I_2 (g)$	19.4
$Ba^{2+} (aq)$	-560.7	$HI (g)$	1.30
$BaCl_2 (s)$	-810.9	$Fe_2O_3 (s)$	-741.0
$BaSO_4 (s)$	-1353	$Fe_3O_4 (s)$	-1014.
$Br^- (aq)$	-102.82	$NO (g)$	86.688
$Br_2 (g)$	3.14	$NO_2 (g)$	51.840
$HBr (g)$	-53.22	$NO_3^- (aq)$	-110.5
$C (diamond)$	2.866	$NH_3 (g)$	-16.64
$CO (g)$	-137.27	$NH_3 (aq)$	-26.16
$CO_2 (g)$	-394.38	$NH_4^+ (aq)$	-79.50
$CO_3^{2-} (aq)$	-528.10	$Na^+ (aq)$	-261.87
$CH_4 (g)$	-50.79	$NaOH (s)$	577.0
$HCO_3^- (aq)$	-587.06	$NaCl (s)$	-384.03
$CH_3OH (g)$	-161.9	$NaBr (s)$	-517.6
$C_2H_2 (g)$	209.0	$Na_2SO_4 (s)$	-1266.8
$C_2H_4 (g)$	68.124	$Na_2SO_4 \cdot 10H_2O (s)$	-3643.97
$C_2H_6 (g)$	-32.89	$Na_2CO_3 (s)$	-1048.
$C_3H_8 (g)$	-23.49	$S (g)$	-851.9
$C_6H_6 (g)$	129.66	$SO_2 (g)$	182.3
$Ca^{2+} (aq)$	-533.04	$SO_3 (g)$	-300.4
$Cl^- (aq)$	-131.17	$SO_4^{2-} (aq)$	-370.4
$F^- (aq)$	-276.5	$H_2S (g)$	-741.99
$HF (g)$	-271.	$H_2S (g)$	-33.02
$H^+ (aq)$	0.00	$H_2SO_4 (aq)$	-741.99

الملحق ( ٥ )

الجزء ( أ ) :

Physical Constants بعض الثوابت الفيزيائية

الثابت	الرمز	القيمة	الوحدات
ثابت الغاز	R	8.3143	$\text{J K}^{-1} \text{mol}^{-1}$
		1.987	$\text{cal K}^{-1} \text{mol}^{-1}$
		82.06	$\text{cm}^3 \text{atm K}^{-1} \text{mol}^{-1}$
		0.08206	$\text{dm}^3 \text{atm K}^{-1} \text{mol}^{-1}$
عدد أفوكادروا	N	$6.023 \times 10^{23}$	$\text{molecule mol}^{-1}$
ثابت فرداي	F	$9.6487 \times 10^3$	$\text{C (coulomb) mol}^{-1}$
ثابت بلانك	h	$6.6256 \times 10^{-34}$	$\text{J s}$
ثابت بولتزمان	k	$1.3805 \times 10^{-23}$	$\text{J molecule}^{-1} \text{K}^{-1}$
سرعة الضوء	c	$2.9979 \times 10^8$	$\text{ms}^{-1}$
شحنة إلكترون	e	$1.602 \times 10^{-19}$	C
كتلة إلكترون	$m_e$	$9.109 \times 10^{-31}$	kg
سماحية الفراغ	$\epsilon_0$	$8.8542 \times 10^{-12}$	$\text{kg}^{-1} \text{m}^{-3} \text{s}^4 \text{A}^2$
ثابت الحد الأرضي	g	$6.6720 \times 10^{-11}$	$\text{N m}^2 \text{kg}^{-2}$

الجزء ( ب ) :

some common conversion factors : بعض عوامل التحويل الشائعة :

$$\begin{aligned} 1 \text{ meter ( m )} &= 10^2 \text{ centimeters ( cm )} && \text{المسافة} \\ &= 10 \text{ decimeters ( dm )} && \text{( length )} \\ &= 10^{10} \text{ angstrom ( A}^{\circ} \text{)} \end{aligned}$$

---

$$1 \text{ m}^2 = 10^4 \text{ cm}^2 = 10^2 \text{ dm}^2 = 10^{20} \text{ A}^{\circ 2} \quad \text{( Area ) المساحة}$$

---

$$1 \text{ m}^3 = 10^6 \text{ cm}^3 = 10^3 \text{ dm}^3 = 10^3 \text{ liter} \quad \text{( volume ) الحجم}$$

---

$$1 \text{ Newton ( N = kg ms}^{-2} \text{ )} = 1 \times 10^5 \text{ ( dyn ( g cms}^{-2} \text{ ) ) ( Force )}$$

---

$$1 \text{ J ( kg m}^2 \text{ s}^{-2} \text{ )} = 1 \text{ N m} = 1 \times 10^7 \text{ erg ( dyn cm = g cm}^2 \text{ s}^{-2} \text{ )}$$

الشغل والطاقة

$$\begin{aligned} &= 1 \text{ Volt Coulomb ( VC )} \\ \text{( Work \& } &= 2.389 \times 10^{-4} \text{ kcal} \\ \text{Energy )} &= 2.2778 \times 10^{-7} \text{ kilowatt hours ( kW.hr )} \end{aligned}$$

---

$$\begin{aligned} 1 \text{ kg m}^{-3} &= 10^{-3} \text{ kg dm}^{-3} = 10^{-6} \text{ kg cm}^{-3} && \text{( density ) الكثافة} \\ &= 10^{-3} \text{ g cm}^{-3} = 10^{-3} \text{ kg liter}^{-1} \end{aligned}$$

---

$$\begin{aligned} 1 \text{ atmosphere ( atm جو )} &= 1.01325 \times 10^5 \text{ N m}^{-2} \text{ ( pressure )} \\ &= 1.01325 \times 10^6 \text{ dyn cm}^{-2} \\ &= 760 \text{ mm Hg} \end{aligned}$$

---

## المراجع

- ١- (( أسس الكيمياء الفيزياء )) أ.د. محمد مجدي واصل - دار الفجر للنشر والتوزيع - القاهرة ٢٠٠٤ م .
- ٢- (( الكيمياء الحركية والكهربية )) أ.د. محمد مجدي واصل - دار النشر للجامعات - القاهرة ٢٠٠٣ .
- ٣- (( أسس الكيمياء الغروية )) أ.د. محمد مجدي واصل - مجموعة النيل العربية - القاهرة ٢٠٠٦ .
- ٤- (( أسس الكيمياء التحليلية )) أ.د. محمد مجدي واصل - دار الفجر للنشر والتوزيع - القاهرة ٢٠٠٥ .
- ٥- (( كيمياء البوليمرات )) أ.د. محمد مجدي واصل - دار الفجر للنشر والتوزيع - القاهرة ٢٠٠٥ .
- ٦- (( أمثلة وأسئلة في الكيمياء الفيزيائية )) أ.د. محمد مجدي واصل - مجموعة النيل العربية - القاهرة ٢٠٠٦ .
- ٧- (( أسس الكيمياء الصناعية )) أ.د. محمد مجدي واصل - دار الفجر للنشر والتوزيع - القاهرة ٢٠٠٤ .
- ٨- (( كيمياء الحفز والسطوح )) أ.د. محمد مجدي واصل - دار النشر للجامعات - القاهرة ٢٠٠٤ .
- ٩- (( أساسيات الكيمياء العامة )) د. سمير المدني - دار الفجر للنشر والتوزيع - ١٩٩٧ م .
- ١٠- (( مبادئ الكيمياء العامة )) أ.د. محمد مجدي واصل - دار الفجر للنشر والتوزيع - القاهرة ٢٠٠٤ .
- ١١- (( تجارب في الكيمياء غير العضوية والتحليلية والفيزيائية )) أ.د. محمد مجدي واصل - دار الفجر للنشر والتوزيع - القاهرة ٢٠٠٤ .
- ١٢- (( أسس الكيمياء غير العضوية )) أ.د. محمد مجدي واصل - دار الفجر للنشر والتوزيع - القاهرة ٢٠٠٥ .

- ١٣- ((أسس الكيمياء الإشعاعية)) أ.د. محمد مجدي واصل - دار طبية للنشر والتوزيع - القاهرة ٢٠٠٧ .
- ١٤- ((أسس الكيمياء الكهربائية)) أ.د. محمد مجدي واصل - دار طبية للنشر والتوزيع - القاهرة ٢٠٠٧ .
- ١٥- ((أساسيات الكيمياء الفيزيائية العامة)) أ.د. محمد مجدي واصل - الدار العالمية للنشر والتوزيع - القاهرة ٢٠٠٧ .
- ١٦- ((الحرارة والديناميكا الحرارية)) مارك د. زيمانكسي - دار ماكجروهيل للنشر ١٩٨١ .
- ١٧ ((أسس كيمياء السطوح)) أ.د. محمد مجدي واصل - الأكاديمية الحديثة للكتاب الجامعي - القاهرة ٢٠٠٧ .
- ١٨- ((مبادئ الكيمياء الحفزية)) أ.د. محمد مجدي واصل - الأكاديمية الحديثة للكتاب الجامعي - القاهرة ٢٠٠٧ .
- ١٩- ((أمثلة وأسئلة في الكيمياء التحليلية)) أ.د. محمد مجدي واصل - مكتبة دار المعرفة - القاهرة ٢٠٠٧ .
- ٢٠- ((أمثلة وأسئلة في الكيمياء العامة)) أ.د. محمد مجدي واصل - مكتبة دار المعرفة - القاهرة ٢٠٠٧ .
- ٢١- ((التجارب العملية في الكيمياء التحليلية)) أ.د. حسن بن محمد السويدان - النشر العلمي والمطابع - جامعة الملك سعود ٢٠٠٦ .
- ٢٢- ((أسس الكيمياء الحركية)) أ.د. محمد مجدي واصل - دار طبية للنشر والتوزيع - القاهرة ٢٠٠٦ .
- ٢٣- ((الكيمياء التحليلية الحجمية والوزنية)) أ.د. محمد مجدي واصل - مكتبة ابن سينا للطبع والنشر والتوزيع - القاهرة ٢٠٠٧ .
- ٢٤- ((أساسيات كيمياء العناصر)) أ.د. محمد مجدي واصل - دار طبية للنشر والتوزيع - القاهرة ٢٠٠٦ .
- ٢٥- ((قاموس المصطلحات الكيميائية)) أ.د. محمد مجدي واصل - دار الفجر للنشر والتوزيع - القاهرة ٢٠٠٧ .



## المحتويات

الإهداء .....	٢
المقدمة .....	٥
الباب الأول - مقدمة في كيمياء الكم .....	٩
أولاً - مقدمة .....	٩
ثانياً - إخفاقات الفيزياء الكلاسيكية .....	٩
أ - إشعاع الجسم الأسود .....	٩
ب- التأثير الكهروضوئي .....	١٢
ج- الخطوط الطيفية للذرات .....	١٤
ثالثاً - فرضية دي بروجلي .....	١٧
رابعاً - مبدأ اللادقة .....	٢٠
خامساً - أمثلة محلولة .....	٢٤
الباب الثاني - مبادئ رياضية في كيمياء الكم .....	٣١
١- الأنظمة الإحداثية .....	٣١
٢- المحددات .....	٣٣
٣- المتجهات .....	٣٣
٤- جمع وطرح المتجهات .....	٣٤
٥- حاصل ضرب المتجهات .....	٣٦
٦- الأعداد المعقدة .....	٣٧
٧- المؤثرات .....	٣٨
٨- معادلات القيمة الذاتية .....	٣٩
دالتي لاجرنج وهاملتون .....	٤٠
الباب الثالث - الصياغة العامة لميكانيكا الكم .....	٤٩
الفرضية الأولى .....	٤٩
الفرضية الثانية .....	٥١
الفرضية الثالثة .....	٥٣

٥٤	الفرضية الرابعة
٥٦	جسيم في صندوق
٦١	المقارنة بين صورتَي ميكانيكا الكم والميكانيكا الكلاسيكية
٧٣	الباب الرابع - المهتز التوافقي في كيمياء الكم
٧٣	المهتز التوافقي
٧٧	الدوار الصلب ثنائي الجسيم
٨١	الباب الخامس - ذرة الهيدروجين والعزم الزاوي في كيمياء الكم
٨١	ذرة الهيدروجين
٩١	العزم الزاوي
٩٢	الدالات الموجية الحقيقية
٩٥	الأوربيتالات
٩٧	البرم الإلكتروني
٩٨	الترتيب الإلكتروني والجدول الدوري
١٠١	أنصاف الأقطار الذرية
١٠٢	طاقة التآين
١٠٣	الألفة الإلكترونية
١٠٥	الباب السادس - الطرق التقريبية في ميكانيكا الكم
١٠٥	طريقة الاضطراب
١١٠	طريقة التغير
١١٨	التركيب الجزيئي
١٢١	الباب السابع - طرق المدار الجزيئي في كيمياء الكم
١٢١	أ- أيون جزيء الهيدروجين
١٢٨	ب- جزيء الهيدروجين
١٣١	وصف نظرية رابطة - التكافؤ لجزيئة الهيدروجين
١٣٢	مخططات الترابط
١٣٥	جزيئة النيتروجين
١٣٧	التهجين

الباب الثامن - نظرية أوربييتال هيكل الجزيئي في كيمياء الكم	١٤٥
الأثيلين	١٤٧
شق الأليل	١٥٠
الباب التاسع - أمثلة محلولة وأسئلة عامة	١٥٣
أمثلة محلولة	١٥٣
أسئلة عامة	١٦٥
المصطلحات العلمية	١٦٧
الملاحق	١٨٠
المراجع	٢٠٣
المحتويات	٢٠٥

\* \* \*

